## ՄԵԽԱՆԻԿԱ

# МЕХАНИКА

MECHANICS

38(1)



#### ДИВЧИЧИТ UUZ ЧТВПТФВПТТТТТ ИЧИТТТТТТ В БОДБЧИЧТГ ИЗВЕСТИЯ АКАДЕМИИ НАУК АРМЯНСКОЯ ССР

Մհիտանիկա

XXXVIII, M. 6, 1985

Мехапика

УДК 539.3

#### О МОДЕЛИРОВАНИИ ОДНОГО КЛАССА КУСОЧНО-ОДНОРОДНЫХ ЗАДАЧ ТЕОРИИ УПРУГОСТИ

ВАРДАНЯН Г. С., ФРИШТЕР Л Ю.

В различных областях техники широкое распространение находят конструкции, составлениые из упругих элементов с различными физико-механическими характеристиками. Такие конструкции называются кусочно-однородными (составными) конструкциями.

При моделировании кусочно-однородных задач экспериментальным методом механики деформируемого твердого тела—методом фотоупрусости, возникают трудности, связанные с необходимостью подбора оптически чувствительных материалов с различными модулями упругости, и методического характера. Моделирование составных конструкций при заданных внешних усилиях рассмотрено в работе [1]

Рассмотрим кусочно-однородное пространственное одно- или многосвязное тело  $\Omega$ , состоящее из частей  $\Omega$  и  $\Omega_2$ , соединенных между собой по поверхности  $\Gamma$ . Части  $\Omega_1$  и  $\Omega_2$  различаются только значением модуля упругости  $\Gamma$ . Коэффициенты Пуассона и теплоного расширения для этих частей примем одинаковыми.\*

На наружной поверхности S могут быть заданы: на части S, напряжения  $f_t$  и на части  $S_a$  персмещения  $f_t$ . Кроме того, в теле могут быть заданы массовые силы  $F_t$  и температурное поле T.

Напряжения  $\sigma_{tt}$  такой кусочно-однородной задачи удовлетворяют уравнениям равновесия

$$\sum_{i} \frac{\partial z_{ij}}{\partial j} + F_{i} = 0 \tag{1}$$

Деформации від, связанные с перемещениями и соотношениями

$$2a_{ij} = \frac{\partial u_i}{\partial j} + \frac{\partial u_i}{\partial l} \tag{2}$$

удовлетворяют уравнениям неразрывности

$$\frac{\partial^{2} \mathbf{e}_{l\,l}}{\partial k \partial l} = \frac{\partial^{2} \mathbf{e}_{l\,l}}{\partial l \partial j} = \frac{\partial^{2} \mathbf{e}_{l\,l}}{\partial l \partial k} = \frac{\partial^{2} \mathbf{e}_{l\,k}}{\partial j \partial l} = 0 \tag{3}$$

При этом на поверхности S выполняются граничные условия

<sup>\*</sup> Коэффициенты теплового расширения частей также могут быть различными. Это не вызывает принципиальных трудностей

$$\sum_{i} a_{ij} n_i |_{S_a} = f_i, \quad u_i|_{S_u} = \varphi_i$$
 (4)

а на поверхности раздела Г-условия полного контакта

$$\sigma_{zI1}|_{v} = \sigma_{zI2}|_{v}; \quad u_{I1}|_{v} = u_{I2}|_{v}$$
 (5)

Деформации и напряжения связаны следующими соотношениями:

$$\mathbf{\epsilon}_{ij1} = \frac{1}{\mathcal{E}_1} [(1+\nu)\sigma_{ij1} - \hat{\mathbf{\epsilon}}_{ij} \mathbf{v} \mathbf{S}_1] + \mathbf{\epsilon}_{ij}^T$$
(6)

$$s_{1/2} = \frac{1}{E_{\pm}} [(1+\nu)\sigma_{1/2} - \delta_{1/2}S_{\pm}] + s_{1/2}^{T}$$
 (7)

Здесь

$$\epsilon_{II}^{T} = \delta_{IJ} \alpha T$$
 (8)

Остальные обозначения в соотношениях (1)—(7) общеприняты и не требуют объяснений.

Ниже рассматриваемая кусочно-однородная задача сводится к решению ряда однотипных однородных задач с дисторсиями, достаточно просто реализуемых на моделях методом "замораживания".

Введем вспомогательные задачи для отдельных частей  $\Omega_1$  и  $\Omega_2$ , обусловленные только действием температурного поля. Решения этих задач обозначим через ( $\sigma_{II}$   $u_1$ ).

Для дальнейшего изложения введем сокращенную запись соотношений (1)—(7) в виде

$$\{\sigma F; \epsilon u; S_{\sigma}f; S_{\sigma} \in \Gamma \sigma; \Gamma u; \epsilon E, \epsilon^{T}; \epsilon E, \epsilon^{T}\}$$
 (9)

Рассмотрим также кусочно-однородную задачу для тела Ω

$$\{\sigma^{(H)}F; \ \varepsilon^{(H)}u^{(H)}; \ S_{\sigma}f; \ S_{u}\varphi; \ \Gamma\sigma^{(H)}; \ \Gamma u^{(H)}; \ \varepsilon^{(H)}E_{1}\varepsilon'; \ \varepsilon^{(H)}E_{2}\varepsilon'\}$$

$$(10)$$

отличающуюся от задачи (9) только тем, что в частях  $\Omega_1$  и  $\Omega_2$  вместо температуры заданы дисторсии соответственно  $\varepsilon_{i,j}$  и  $\varepsilon_{i,j2}$ .

Очевидно, что

$$a_{ij} = a_{ij} + a_{ij}^{(H)}; \quad u_i = u_i^{(H)}; \quad \varepsilon_{ij} = \varepsilon_{ij}^{(H)}$$

$$\tag{11}$$

При этом, если температурное поле в отдельных частях  $\Omega_1$  и  $\Omega_2$  тела со свободными границами не вызывает напряжения ( $\sigma_{ij} = 0$ ), то решения задач (9) и (10) совпадают.

Далее рассмотрим соответствующую однородную задачу

$$\{\sigma^{(0)}F; \ \varepsilon^{(0)}u^{(0)} \cdot S_{\mu} \cdot S_{\mu} \circ; \ O\sigma^{(0)} \cdot Ou^{(0)}; \ \varepsilon^{(0)}E_{1}\varepsilon \cdot \varepsilon^{(0)}E_{1}\varepsilon'\}$$
 (12)

для тела  $\Omega$  при тех же воздействиях, что и в задаче (10) и неоднородную задачу несовместности

$$\{\sigma^{(H,1)}0; \ \epsilon^{(H,1)}u^{(H,1)}; \ S_{\sigma}0; \ S_{u}0; \ \Gamma_{\sigma}^{(H,1)}; \ \Gamma_{u}^{(H,1)}; \ \epsilon^{(H,1)}E_{1}0; \ \epsilon^{(H,1)}E_{2}\hat{K_{3}}^{(0)}\}$$
(13)

Здесь

$$K = 1 - \frac{E_1}{E_2}; \quad \epsilon_{ij}^{(0)} = \epsilon_{ij} - \epsilon_{ij}^{(0)}$$
 (14)

Согласно принципу сложения решения задач (10), (12) и (13) связаны следующим равенством:

$$(\mathfrak{g}^{(H)}, \mathfrak{g}^{(H)}, \mathfrak{g}^{(H)}) = (\mathfrak{g}^{(0)}, \mathfrak{u}^{(0)}, \mathfrak{g}^{(0)}) + (\mathfrak{g}^{(H,1)}, \mathfrak{u}^{(H,1)}, \mathfrak{g}^{(H,1)})$$
(15)

Теперь рассмотрим однородную задачу несовместности

$$\{\sigma^{(1)}0; \pi^{(1)}\pi^{(1)}; S_20; S_n0; 0\pi^{(1)}; 0\pi^{(1)}; \pi^{(1)}E_10; \pi^{(1)}E_n(\pi^{(0)})\}\$$
 (16)

и вторую неоднородную задачу несовместности

$$\{c^{(H,2)}0; \ \epsilon^{(H,2)}u^{(H,2)}; \ S_a0; \ S_a0; \ \Gamma_c^{(H,2)}, \ \Gamma_u^{(H,2)}; \ \epsilon^{(H,2)}E_i0; \ \epsilon^{(H,2)}E_iK_i^{(H,2)}\}$$
 (17)

где

$$\varepsilon_{ij}^{(1)} = K \varepsilon_{ij} - K \varepsilon_{ij}^{(0)} - \varepsilon_{ij}^{(1)}$$
(18)

По принципу сложения решения задач (13), (16) и (17) тоже связаны равенством

$$(\sigma_{ij}^{(H,1)}, u_{i}^{(H,1)}, \varepsilon_{j}^{(H,1)}) = (\sigma_{ij}^{(1)}, u_{i}^{(1)}, \varepsilon_{i}^{(1)}) + (\sigma_{i}^{(H,2)}, u_{i}^{(H,2)}, \varepsilon_{i}^{(H,2)})$$
(19)

Используя принцип математической индукции, получим

$$\left(\mathfrak{a}^{(H,n)}, \ u^{(H,n)}\right) = \left(\mathfrak{a}^{(n)}, \ u^{(n)}, \ \mathfrak{s}^{(n)}\right) + \left(\mathfrak{a}^{(H,n+1)}, \ u^{(H,n+1)}, \ \mathfrak{s}^{(H,n+1)}\right) \tag{20}$$

$$\{z^{(n)}0; ε^{(n)}u^{(n)}; S_{s}0; S_{u}0; O_{z}^{(n)}; O_{u}^{(n)}; ε^{(n)}E_{1}(); ε^{(n)}E_{1}K ε^{(n-1)}\}$$
 (21)  
Здесь

$$\bar{\epsilon}_{ij}^{(n-1)} = K^{n-1} \epsilon_{ij}^{i} - K^{n-1} \epsilon_{ij}^{(0)} - K^{n-2} \epsilon_{ij}^{(0)} - \dots - K \epsilon_{ij}^{(n-2)} - \epsilon_{ij}^{(n-1)}$$
 (22)

Как видно из (21), напряженно-деформированное состояние " $n^*$ -ой однородной задачи несовместности обусловлено дисторсиями в области  $\Omega_*$ , равными деформациям (22), уменьшенным в " $K^*$  раз, вызванными напряжениями предыдущей задачи в той же области.

На основания (15), (19) и рекуррентного соотношения (20) получим

$$u^{(H)}, u^{(H)}, \varepsilon_{ij}^{(M)}) = \sum_{n=0} (\varepsilon_{ij}^{(n)}, u_i^{(n)}, \varepsilon_{ij}^{(n)})$$
 (23)

Из (21) видно, что решение "n"-ой однородной задачи несовместности можно представить в виде

$$(\sigma_{ij}^{(n)}, u_i^{(n)}, \varepsilon_{ij}^{(n)}) = K^n(\widetilde{\sigma_{ij}^{(n)}}, u_i^{(n)}, \varepsilon_{ij}^{(n)})$$
 (24)

где  $(\sigma^{(n)},\ u^{(n)})$  — решение  $u^{n}$ -ой приведенной задачи несовместности

$$\{\tilde{\mathfrak{z}}^{(n)}0; \, \tilde{\mathfrak{z}}^{(n)}\mu^{(n)}; \, S_{\mathfrak{z}}0; \, S_{\mathfrak{z}}0; \, 0\tilde{\mathfrak{z}}^{(n)}; \, 0\tilde{\mu}^{(n)}; \, \tilde{\mathfrak{z}}^{(n)}E_{\mathfrak{z}}0; \, \tilde{\mathfrak{z}}^{(n)}E_{\mathfrak{z}}^{(n-1)}\}$$
 (25)

независящее от "К".

Здесь

$$\varepsilon_{ij}^{(n-1)} = \varepsilon_{ij} - \varepsilon_{ij}^{(0)} - \varepsilon_{ij}^{(1)} - \dots - \varepsilon_{ij}^{(n-2)} - \varepsilon_{ij}^{(n-1)}$$
 (26)

С учетом (24) соотношение (23) можно записать в виде

$$(\sigma_{ij}^{(H)}, \ u_{ij}^{(H)}, \ \varepsilon_{ij}^{(H)}) = \sum_{n=0}^{\infty} K^{n}(\bar{\sigma}_{i}^{(n)}, \ \bar{u}^{(n)}, \ \bar{\varepsilon}_{j}^{(n)})$$
 (27a)

иля

$$\mathbb{E}^{(H)} = \sum_{n=0}^{\infty} K^{n}(\mathbf{x}) \tag{276}$$

где через є обозначена любая компонента напряжений, перемещений или деформаций.

Используя оченилное неравенство

$$|\widetilde{\xi}^{(n)}| \leqslant |\widetilde{\xi}^{(1)}|_{\text{max}} \tag{28}$$

где  $|\overline{\xi}^{(1)}|_{max}$  наибольшее значение напряжений, перемещений или деформаций первой однородной задачи несовместности, получим, что ряд  $\sum_{n=0}^{\infty}$  мажорируется сходящимся геометрическим рядом  $\sum_{n=0}^{\infty} K^n$  (0<K<1). Следовательно, ряд  $\sum_{n=0}^{\infty} K^n$  сходится равномерно.

Вследствие сходимости ряда  $\sum_{n=0}^{\infty} K^n \, \xi^{(n)}$  его сумму можно оценить при помощи рекуррентных соотношений, выполняющихся с заданной точностью, для функциональной последовательности  $\{\xi^{(n)}\}$ .

В ряде случаев в качестве рекуррентного соотношения можно задать следующую линейную комбинацию:

$$\frac{\xi(s+1) - \xi(s+2)}{\xi(s)} = (c < 1) \tag{29}$$

В этих случаях ряд (27) суммируется и получается следующий окончательный результат:

$$\xi^{(l)} = \frac{1 - K}{1 - K - K^2 c} \frac{\tilde{\epsilon}^{(0)} + \frac{K}{1 - K + K^2 c} \tilde{\epsilon}^{(1)}}{1 - K + K^2 c} (30)$$

Для иллюстрации предложенной методики решения кусочно-однородных задач рассмотрим следующий пример.

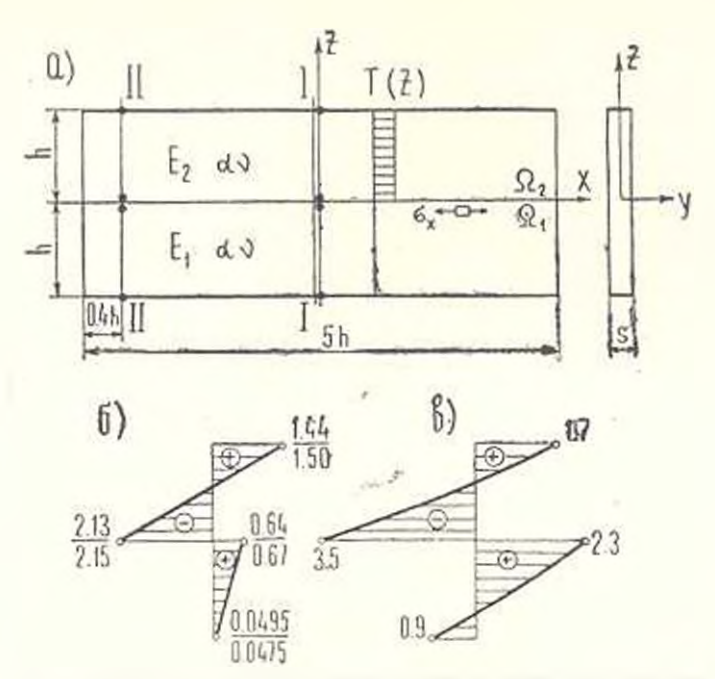
Полоса шириною 2h при отсутствии объемных и поверхностных сил находится под действием температурного поля

$$7(z) = \begin{cases} 0, & -h \le z \le 0 \\ T_0, & 0 < z \le h \end{cases}$$
 (31)

Область  $\Omega_1$  ( $-h \leqslant z \leqslant 0$ ) имеет модуль упругости  $E_1$  а область  $\Omega_2$  ( $0 \leqslant z \leqslant h$ ) имеет модуль упругости  $E_2$ .

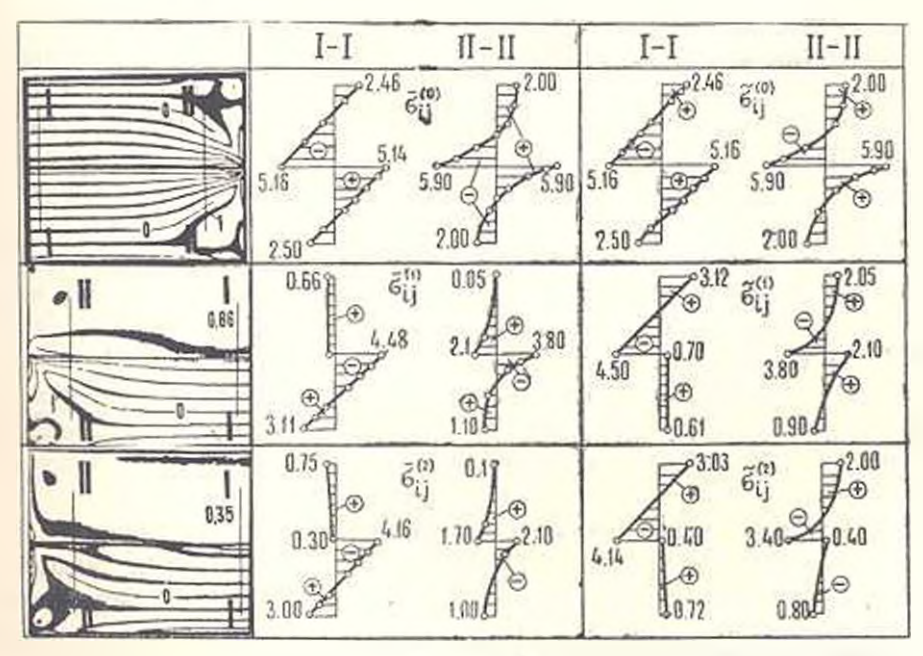
Напряжения исходной кусочно-однородной задачи согласно [2] определяются выраженнями:

в области  $\Omega_{\bullet}$ 



Фис. 1. Пример моделирования термоупругих напряжений в биметаллической пластине:

- а) схема кусочно-однородной задачи;
- б) сравление теоритических (числитель) и экспериментальных (знаменятель) значений напряжений  $\mathfrak{s}_{r,r}$  в долях  $\mathfrak{a}T_{\mathfrak{p}}E_1$  по среднему сечению  $\mathfrak{l}+\mathfrak{l}$ ;
- в) эпоры экспериментальных значений папряжений с<sub>1</sub>—с<sub>2</sub> по сечению 11—11.



Фиг. 2. Картины полос и эпюры напряжений в моделях однородных задат.

$$E_{AE} = \frac{aT_0E_1E_0}{E_1^2 + E_2^2 + 14E_1E_2} \left[ E_2 + \left(7 + \frac{12z}{h}\right)E_1 \right]$$
 (32a)

в области Ω,

$$\mathbf{E}_{xx} = \frac{\alpha T_0 E_1 E_2}{E_1^2 + E_2^2 + 14 E_1 E_2} \left[ \left( \frac{12x}{h} - 7 \right) E_2 - E_1 \right]$$
 (326)

Напряжения вспомогательных задач для отдельных частей  $\Omega_1$  и  $\Omega_2$  равны нулю ( $z_n=0$ ), а напряжения первых трех однородных задач, входящих в (27), определяются выражениями: в области  $\Omega_1$ 

$$\bar{\sigma}_{xx}^{(0)} = aT_0 E_1 \left( \frac{1}{2} + \frac{3z}{4h} \right); \quad \hat{\sigma}_{xx}^{(1)} = \frac{1}{16} aT_0 E_1; \quad \hat{\sigma}_{xx}^{(0)} = aT_0 E_1 \left( \frac{1}{32} - \frac{3z}{64h} \right) \quad (33a)$$

в области Ω,

$$\widetilde{\sigma}_{xx}^{(0)} = \alpha T_0 E_1 \left( -\frac{1}{2} + \frac{3z}{4h} \right); \quad \widetilde{\sigma}_{xx}^{(1)} = \alpha T_0 E_1 \left( -\frac{7}{16} + \frac{3z}{4h} \right)$$

$$\widetilde{\sigma}_{xx}^{(2)} = \alpha T_0 E_1 \left( -\frac{13}{32} + \frac{45z}{64h} \right)$$
(336)

Нетрудно проверить, что напряжения рассматриваемой кусочнооднородной задачи (32) связаны с напряжениями однородных задач (33) с помощью зависимости (30), то есть

$$\sigma_{xx} = \sigma^{(H)} = \frac{1 - K}{-K + K^2} \sigma_{xx}^{(0)} = \frac{K}{1 - K - K^2} \sigma_{xx}^{(1)}$$
 (34)

где

$$K = 1 - \frac{E_1}{E_1} - c = \frac{\sigma_{xx}^{(1)} - \sigma_{xx}^{(2)}}{16} - \frac{1}{16}$$
 (35)

Экспериментальную реализацию предлагаемой методики иллюстрируем на примере модслирования термоупругих напряжений в биметаллической пластине (фиг. 1) при действии температурного поля вида (31).

Решаются первые три однородные задачи иссовместности следуюшим образом:

- 1. Однородная модель из эпоксидного материала с модулем упругости  $E_1$  200 кг/см² и оптической постоянной  $\mathbf{q}^{1,0} = \mathbf{0.341}$  кг/см в высокоэластичном состоянии с заданными размерами ( $\hbar = 2$  см, s = 0.59 см) скленвалась из двух элементов. Элемент области  $\Omega_1$  вырезался из пластицы с «замороженными» деформациями при растягивающем напряжении  $\sigma = 1.97$  кг/см² в продольном направлении. Элемент области  $\Omega_2$  не деформировался. После склейки элементов и «размораживания» [3] в модели возникли напряжения  $\Xi_1^{(0)}$ .
- 2. Из предыдущей модели с «замороженными» деформациями  $\epsilon_{l}^{0}$  вырезалась область  $\Omega_{2}$ , которая склеивалась с областью  $\Omega_{1}$ , находящейся в естественном недеформированном состоянии. В результате «размораживания» в модели возникли напряжения

3 Третья задача решалась аналогично второй—склепванием области  $\Omega_2$  с «замороженными» деформациями  $\mathbb{F}_{tt}^{(t)}$  с недеформированной областью  $\Omega_1$  и последующим «размораживанием» модели.

На фит 2 приведены картины полос для исследованных трех олнородных задач и эпюры порядков полос, соответствующие напряжениям  $\sigma^{(0)}$ ,  $\sigma^{(2)}$  по среднему сечению 1—1 и напряжениям  $\sigma_1 - \sigma_2$  по сечению  $\Pi - \Pi$  на расстоянии 0.4h от торца пластины.

Заметим, что напражения  $\mathfrak{s}^{(1)}$  и  $\mathfrak{s}^{(2)}$ , определяемые экспериментально, отличаются от напражений  $\mathfrak{s}^{(1)}_{xx}$  и входящих в соотношения (34) и (35). При определении  $\mathfrak{s}^{(1)}$  и  $\mathfrak{s}^{(2)}_{xx}$  в моделях создавались дисторсии, равные соответственно  $-\mathfrak{s}^{(0)}_{xx}$  и  $-\mathfrak{s}^{(1)}_{x}$ , в то время как напряжения и  $\mathfrak{s}^{(2)}$  обусловлены дисторсиями соответственно равными  $\mathfrak{s}^{(2)}_{xx} - \mathfrak{s}^{(0)}_{xx}$  и  $\mathfrak{s}^{(2)}_{xx}$  оответственно осуществлялся по принципу сложения. Эпюры этих напряжений приведены также на фиг. 2,

Из эпюр напряжений на фиг. 2 видно, что значение с, вычисленное по формуле (35), колеблется от 0,03 до 0,07. Принимая с 0,05 и К 5/6 по формуле (34) определены экспериментальные значения напряжении кусочно однородной залачи. Эти значения показаны на эпюрах фис. 16 (знаменатели) и фиг. 1 в. На фиг. 1 б и числителе показаны теоретические значения напряжении, вычисленные по формулам (32). Максимальное расхождение теоретических и экспериментальных значений не превышает 6%.

#### ԱՌԱՉԳԱԿԱՆՈՒԹՅԱՆ ՏԵՍՈՒԹՅԱՆ ԿՏՈՐ ԱՌ ԿՏՈՐ ՀԱՄԱՍԵՌ ԽՆԳԻՐՆԵՐԻ ՄԻ ԳԱՍԻ ՄՈԴԵԼԱՎՈՐՄԱՆ ՄԱՍԻՆ

Գ. Ա. ՎԱՐԴԱՆՑԱՆ, Լ. ՑՈՒ, ՖՐԻՇՏԵՐ

#### Ամփոփում

Շարադրվում է թևևոտ-օպաիկան մեխողով առաձգականության տեսության կտոր առ կտոր համասեռ խնդիրեերի մողելավորման մեխող։

Կառը առ կառը համասեռ իւնդիրը բերվում է մի շարջ միատիպ համասեռ խնդիրների լուժման։

Դիտարկվում են օրինակներ։

### ON MODELLING OF ONE GROUP OF PIECEWISE HOMOGENEOUS PROBLEMS OF THE THEORY OF ELASTICITY

G. S. VARDANIAN, I., IUR. FRISHTER

#### Summary

The techniques of modelling of piecewise homogeneous problems of the theory of elasticity by means of photoelasticity is presented in

the paper. A piecewise homogeneous problem is redused to a number of homogeneous similar problems with distortions simulated on the models by the "freezing" method. Some examples, proving theoretically and experimentally the techniques in question, are suggested.

#### ЛИТЕРАТУРА

- Варданян Г. С., Гетрик В. И. О моделировании кусочно-однородных задач теории упругости поляризационно-оптическим методом. Материалы VIII Всесоюзной конференции по методу фотоупругости. Т. 1. Таллии: 1979, с. 33—37.
- 2 Александровский С. В. Расчет бетонных и железобетонных конструкций на температурные и влажностные воздействия (с учетом ползучести). М.: Строни ідат, 1966, с. 291—297.
- 3. Варданян Г. С., Пригоровский Н. И. Моделкрование термоупругих напряжений в поляризационно-оптическом методе. Изд. АН СССР, Механика и машиностроение, 1962, № 4, с. 146—149.

Московский инженерно-строительный институт им. В. В. Куйбышева

> Поступила в редакцию 1.1V.1983

УДК 539,375

#### АНТИПЛОСКАЯ ДЕФОРМАЦИЯ МНОГОСВЯЗНЫХ ТЕЛ С ТРЕЩИНАМИ

#### КАЛОЕРОВ С. А.

В настоящее время достаточно хорошо разработаны методы определения коэффициента интенсивности напряжений в бесконечных анизотропных телах с «тупнельными» трещинами в условиях антиплоской деформации. В работе [6] приведены решения задач теория трещии для изотропного кругового цилиндра и бесконечного тела с эллиптической или круговой полостью. В данной статье получены и исследованы комплексные потенциалы теории трещии продольного сдвига для многоснязных изотропных и анизотропных тел. Приводится решение задачи для тела с одной или двумя эллиптическими (круговыми) полостями и «тупнельной» трешиной.

§ 1. Рассмотрим анизотропное тело с цилипдрическими полостями, находящееся в условиях аптиплоской деформации или продольного сдвига. Выберем систему координат, совместив ось Ог с направлением сдвига. Пусть тело в каждой точке имеет плоскость упругой симметрии, перпендикулярную оси Ог. Сечение тела плоскостью Оху образует область S изменения переменных х, у. На тело действуют внешние усилия, приложенные к цилипдрическим поверхностям и направленные вдоль образующих. Для простоты будем считать, что объемные силы отсутствуют.

Учитывая, что при указанных условиях u=v=0, w=w(x,y)

$$a_{13} - \frac{\partial w}{\partial y} a_{44} + a_{15} + a_{15} + a_{15} + a_{25} + a_{25}$$

и вводя функцию напряжений F(x,y) ло формулам

$$= -\frac{\partial F(x, y)}{\partial y}; \quad \gamma_{x} = \frac{\partial F(x, y)}{\partial x} \tag{1.2}$$

из уравнения совместности Сен-Венана получим

$$a_{44} \frac{\partial^2 F}{\partial x^4} - 2a_{45} \frac{\partial^2 F}{\partial x \partial y} + a_{55} \frac{\partial^2 F}{\partial y^2} = 0$$
 (1.3)

Решая уравнение (1.3), находим [3, 7]

$$F(x, y) = 2 \operatorname{Re} \varphi_3(z_3) \tag{1.4}$$

где  $\varphi_3(z_3)$  -произвольная аналитическая функция, определенная в об-

ласти  $S_{a}$ , получаемой из области S яффинным преобразованием  $z_{3} = x + \mu_{3}y$ ;  $\mu_{3}$ — корень характеристического уравнения

$$a_{55}\mu^2 - 2a_{45}\mu + a_{44} = 0 \tag{1.5}$$

причем

$$p_3 = p_3 + i p_4; \quad a_3 = \frac{a_{45}}{a_{55}}; \quad p_3 = \frac{\pi}{a_{55}}; \quad x = \sqrt{a_{44}a_{55} - a_{45}^2}$$

Учитывая формулы (1.1), (1.2), (1.4), для напряжений и перемещения находим

$$\tau_{yz} = 2\text{Re}\Phi_{z}(z_{z}), \quad \tau_{xz} = -2\text{Re}[\mu_{z}\Phi_{z}(z_{z})]$$
 (1.6)

$$\mathbf{w}(x, y) = -2\operatorname{Re}[i \times \varphi_{3}(z_{3})] \tag{1.7}$$

где

$$\Phi_3(z_{\mathfrak{z}}) = \varphi_3^{\cdot}(z_{\mathfrak{z}})$$

Из условия Коши

$$\tau_{xz} \cos nx + \tau_{yz} \cos ny = Z_n$$

находим

$$2\operatorname{Re}\varphi_3(z_3) = -\int_0^s Z_n ds + c \tag{1.8}$$

Здесь с—постоянная, произвольная для одного из контуров, ограничивающих область S. Исхоля из формул (1.5), (1.8), граничные условия на контурах запишем в виде

$$2 \operatorname{Re} \left[ s_3 \varphi_3(t_3) \right] = f_3(t_3) \tag{1.9}$$

где  $s_1=1$ ,  $f_1(t_1)=-\int\limits_0^t Z_n ds+c$  в случае первой основной задачи;  $s_1=i$ ,  $f_3(t)=-w^*$  ( $w^*$ —заданное значение смещения) для второй основной задачи.

Пусть S является конечной областью, ограниченной контурами  $L_m$  ( $m=\overline{0,\ M}$ ) так, что  $L_0$  охватывает все остальные. Такими же исследованиями, как и в плоской задаче [4], для функции  $\varphi_1\left(z_1\right)$  получаем выражение

$$\varphi_3(z_3) = \sum_{m=1}^{M} A_{3m} \ln(z_3 - z_{3m}) + \varphi_{30}(z_3)$$
 (1.10)

где

$$A_{3m} = -\frac{iZ_m}{4\pi} \tag{1.11}$$

 $Z_m$ —главный вектор усилий, приложенных к контуру  $L_m$  перпендикулярно к плоскости Oxy;  $\varphi_{30}(z_3)$ —функция голоморфная в области  $S_3$ , ограниченной контурами  $L_{3m}$ , получаемыми из  $L_m$  аффинным преобразованием  $z_3 = x + \mu_3 y$ ;  $z_{3m}$ —произвольные точки внутри  $L_{3m}$ 

Если область S бесконечная ( $L_0$  уходит в бесконечность полностью), то

$$\varphi_3(z_3) = \Gamma_3 z_3 + \sum_{m=1}^{M} A_{3m} \ln(z_3 - z_{3m}) + \varphi_{30}(z_3)$$
 (1.12)

Злесь

$$\Gamma_{a} = \frac{\tau_{xx} + \mu_{3}\tau_{yx}}{\mu_{3} - \mu_{3}} \tag{1.13}$$

 $\varphi_{ab}(z_3)$  — функция, голоморфиая в области  $S_3$ , включая и точку  $z_3 = \infty$ . Если тело ортотронно и главные направления упругости совпадают с направлениями осей х, у, то

$$a_{45} = 0$$
;  $a_{44} = 1/G_{yz}$ ;  $a_{55} = 1/G_{xz}$ ;  $\mu_3 = 1/G_{55}$ ;  $\beta_3 = 1/G_{xz}/G_{55}$ ,  $\alpha = 1/1/G_{yz}/G_{xz}$  (1.14)

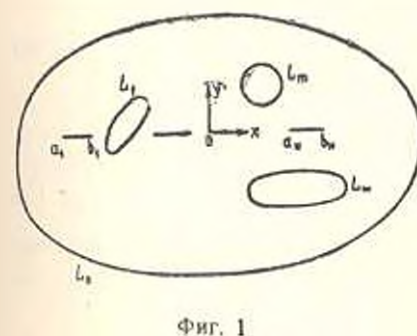
где  $G_{xx}$ ,  $G_{yx}$  модули сдвига для соответствующих направлений. В случае изотролного теля

$$a_{43} = 0; \ a_{44} = a_{53} = x = 1/G; \ \mu_3 = i; \ \varpi(x, y) = -2\text{Re} \left[ \frac{i}{G} \varphi(z) \right] \qquad \gamma_{yz} = 2\text{Re}\Phi(z)$$

$$\gamma_{xz} = -2\text{Re} i\Phi(z) \qquad (1.15)$$

§ 2. Пусть конечная многосвязная область S разрезана вдоль некоторой прямой отрезками  $a_n b_n$  (n=1,N) (следы "туннельных" трешин) (фиг. 1). Исходя из формулы (1.10), для  $\Phi_{i}(z_{i})$  имеем

$$\Phi_{3}(z_{3}) = A_{3}(z_{3}) + A_{3L}(z_{3}) + \Phi_{30}(z_{3})$$
(2.1)



FIRE
$$A_{3}(z_{3}) = \sum_{m=1}^{M} \frac{A_{3m}}{z_{3} - z_{3m}}; \quad A_{3L} = \sum_{n=1}^{N} \frac{A_{3n}^{n}}{z_{3} - z_{3n}^{0}}$$
(2.2)

$$A_{2n}^0 = -\frac{iZ^0}{4\pi}; Z_n^0 -$$
главный вектор

внешних усилий на разрезе аль, 22л - точка приложения их равнодействующей:  $\Phi_{30}(z_3) = \Phi$ ункция, к усочно-голоморфная в области S

с линией скачков L (разрезы вдоль вещественной оси при аффинном преобразовании переходят сами в себя).

yчитывая, что на разрезах, где  $z_3=t_3=t=x$ 

$$\Phi^{\pm}(t) + \overline{\Phi^{\pm}_{i}(t)} = \tau^{\pm} \tag{2.3}$$

приводя элементарные преобразования условий (2.3), получим

$$[\Phi_{30}(t) - \Phi_{30}(t)]' - [\Phi_{30}(t) - \Phi_{30}(t)]^{-} = 2p(t)$$

$$[\Phi_{30}(t) + \Phi_{30}(t)]^* + [\Phi_{30}(t) - \Phi_{30}(t)]^* = 2g(t) - 2A_3(t) - 2\overline{A}_3(t)$$
3 десь

$$p(t) = f_0^+(t) - f_0^-(t); g(t) = f_0^-(t) + f_0^-(t); f_0(t) = \tau_{yz} - A_{3L}(t) - \overline{A_{3L}(t)}$$
 (2.5) Следуя Мусхелишвили [5], введем функции

$$R_1(z_3) = \frac{\Phi_{30}(z_3) + \Phi_{30}(z_3)}{2}; \quad Q_3(z_3) = \frac{\Phi_{30}(z_3) - \Phi_{30}(z_3)}{2}$$
 (2.6)

Тогда граничные условия (2.4) примут вид

$$Q^*(t) - Q^*(t) = p(t); \quad R_3^*(t) + R_3^*(t) = g(t) - A_3(t) - \overline{A}_3(t)$$
 (2.7)

Решая краевые задачи (2.7) так же, как и в работе [1], находим

$$Q_{3}(z_{3}) = \frac{1}{2\pi i} \int_{t}^{\infty} \frac{p(t)dt}{t - z_{3}} + F_{3}(z_{3}) - \Psi_{3}(z_{3}) - \Psi_{3}(z_{3})$$

$$R_{3}(z_{3}) = \frac{1}{2\pi i X(z_{3})} \int_{t}^{\infty} \frac{X(t) |g(t) - A_{3}(t) - \overline{A}_{3}(t)| dt}{1 - z_{3}} + \frac{F_{3}(z_{3}) + \Psi_{3}(z_{3}) + \overline{\Psi}_{4}(z_{3})}{X(z_{3})}$$

$$(2.8)$$

где

$$X(z_3) = \Pi \quad | \quad \overline{(z_3 - \alpha_n)(z_1 - b_n)}$$
 (2.9)

 $\Psi_I(z_3)$  — функции, голоморфные в области, ограниченной контурами  $L_{3m}$   $(m=\overline{1,M});\; F_p(z_3)$  — функции, голоморфные внутри  $L_{30}.$ 

Из равенств (2.6) следует, что

$$Q_3(z_3) = -Q_3(z_3); \quad R_3(z_3) = \bar{R}(z_3)$$
 (2.10)

Подставляя функции (2.8) в условия (2.10), получим

$$F_1(z_3) = -F_1(z_3); \quad F_2(z_3) = F_2(z_3)$$
 (2.11)

$$\Psi_3(z_3) = \Psi_1(z_3); \quad \Psi_4(z_3) = \Psi_2(z_3)$$
 (2.12)

Учитыная равенства (2.8) — (2.12) и пычисляя интегралы от  $X(t)[A_3(t)+A_3(t)]$ , для  $\Phi_3(z_3)$  находим

$$\Phi_3(z_3) = A_{3L}(z_3) + \frac{A_3(z_3) - \overline{A_3(z_3)}}{2} + \frac{D_3(z_3)}{X(z_3)} + \frac{D_3(z_$$

$$+\frac{F_2(z_3)+\Psi_1(z_3)+\Psi_2(z_3)}{X(z_3)}+F_1(z_3)+\Psi_1(z_3)+\Psi_1(z_3)+F_1(z_3)$$
(2.13)

Злесь

$$D_{3}(z_{3}) = \sum_{m=1}^{n} \frac{A_{1m}}{2} \left[ \frac{X(z_{1m})}{z_{3} - z_{1m}} + \frac{X(z_{1m})}{z_{3} - z_{3m}} \right]$$

$$f_{3}(z_{3}) = \frac{1}{2\pi i} \int_{L} \frac{p(t)dt}{t - z_{3}} + \frac{1}{2\pi i X(z_{3})} \int_{L} \frac{X(t)g(t)dt}{t - z_{3}}$$
(2.14)

Функции  $F_1(z_3)$ ,  $F_2(z_3)$ , голоморфные внутри  $L_{20}$ , представимы в виде разложений по степеням  $z_3$ , причем в силу равенств (2.11)

$$F_1(z_3) = \sum c_k z_3^k \quad F_2(z_3) = \sum d_1 z_3^k$$
 (2.15)

где  $c_k$ ,  $d_k$ —вещественные постоянные.

Неизвестные функции  $\Psi_1(z_3)$  и  $\Psi_2(z_3)$ , а также  $F_1(z_3)$  и  $F_2(z_3)$  находятся из граничных условий на контурах  $L_m$   $(m-\overline{0},M)$  и условий голоморфиости комбинации  $X(z_3)\Psi_1(z_3)-\Psi_2(z_3)$  в точках [1].

Аналогичными исследованиями в случае бесконечной области для  $\Phi_s(z_3)$  опять получим формулу (2.13), где нужно принять

$$F_1(z_3) = ic_{30}; \quad F_2(z_3) = \sum_{k=0}^{N} d_{3N-k} z^k$$
 (2.16)

причем из условий на бесконечности находим

$$c_{30} = \frac{c_{xz}}{2\beta_3} + \frac{c_{yz}}{2\beta_3}; \ a_{30} = \frac{c_{yz}}{2}; \ a_{31} = \frac{Z - d_{30}(a_1 + b_1 + \dots + a_N + b_N)}{2}$$
 (2.17)

Z—главный нектор всех усилий, приложенных к телу. Остальные коэффициенты  $d_{3b}$  находятся из условий однозначности перемещений при полном обходе по замкнутым контурам, окружающим каждый из разрезов  $a_nb_n$ . Эти условия имеют вид

$$2\operatorname{Re} \int_{a_{n}b_{n}} \frac{\left[\Psi_{2}(t) + \Psi_{2}(t) + D_{3}(t) + F_{2}(t)\right]dt}{X(t)} + \operatorname{Re} \left[\int_{a_{n}b_{n}}^{*} \left[f_{1}^{*}(t) - f_{1}^{*}(t)\right]dt = 0\right]$$

$$(n = 1, N)$$
(2.18)

Из системы (2.18) линейных алгебраических уравнений относительно  $d_3$  находятся коэффициенты полинома  $F_2(z_3)$ . Если  $d_{31}$  вычисляется по формуле (2.17), то в системе (2.18) нужно оставлять  $\Lambda-1$  уравнение.

Если имеет место геометрическая симметрия области S относительно линии разрезов, то  $\Psi_i(z_3)$  и  $\Psi_i(z_3)$  определены в одних и тех же областях [1]. Поэтому  $\Phi_3(z_3)$  можно записать в виде

$$\Phi_{3}(z_{3}) = A_{3L}(z_{3}) + \frac{A_{3}(z_{3}) - \overline{A}_{3}(z_{3})}{2} + \frac{D_{3}(z_{3})}{X(z_{3})} + \frac{F_{2}(z_{3}) + \Psi_{2}(z_{3})}{X(z_{3})} + F_{1}(z_{3}) + \Psi_{1}(z_{3}) + f_{1}(z_{3})$$
(2.19)

причем

$$\Psi_1(z_3) = -\overline{\Psi}_1(z_3); \quad \Psi_2(z_3) = \overline{\Psi}_2(z_3)$$
 (2.20)

В этом случае для определения  $W_l(z_3)$ ,  $F_\rho(z_3)$  нужно удовлетворять граничным условиям на контурах  $L_m$  и условиям (2.11), (2.20).

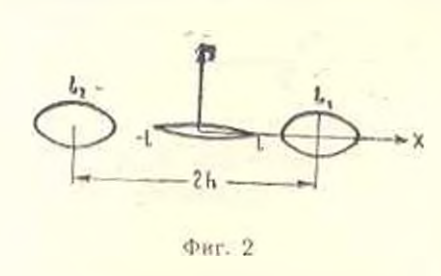
Вблизи контуров разреза фы

$$X(z_3) = \pm \sqrt{2l_k z_3^1} X^*(c \pm z_3^1), \ \Phi_3(z_3) = \frac{k_3}{2\sqrt{2z^2}} + O(1)$$
 (2.21)

$$k_{T}^{+} = \frac{2}{\sqrt{I_{h}} X^{*}(c)} \left[ D_{3}(c) + F_{2}(c) + \Psi_{2}(c) + \overline{\Psi}_{2}(c) + \frac{1}{2\pi I} \int_{c}^{c} \frac{X(t)g(t)dt}{t-c} \right]$$
(2.22)

где  $l_k$ —длина разреза; c—аффикс любого из концов;  $z_3^1$ —малая величина; O(1)—ограниченная величина; k—коэффициент интенсивности напряжений для антиплоской деформации;  $X^*(z_3)$ —это  $X(z_3)$  без множителя  $\sqrt{(z_2-a_k)(z_2-b_k)}$ . Верхине знаки относятся к правому, нижние—к левому концу разреза.

§ 3. Пусть ортотропное (в частном случае при 3 = 1 изотропное) тело, находящееся в условиях антиплоской деформации, ослаблено двумя одинаковыми продольными эллиптическими полостями и центральной прямолинейной «туппельной» трещиной между ними (фиг. 2). Как частный случай, будем рассматривать такое тело с одной правой полостью и трешиной Обозначим контуры эллиптических отверстий сечения, их полуоси, расстояние между их центрами.



алину трещины соответственно через  $L_1$ , a, b, 2h, 2l (фиг. 2). Будем предполагать, что линия трешины совпадает с главным направлением упругости. Полости и трешины свободны от усилий, на бесконечности лействуют усилия

В силу геометрической, упругой и силовой симметрии относительно осей координат

$$\Phi_{\mathfrak{g}}(z_{\mathfrak{g}}) = \overline{\Phi}_{\mathfrak{g}}(z_{\mathfrak{g}}); \quad \Phi_{\mathfrak{g}}(z_{\mathfrak{g}}) = \Phi_{\mathfrak{g}}(-z_{\mathfrak{g}}) \tag{3.1}$$

Из последних равенств следует, что  $\Psi_1(z_2)=0$ . Если, кроме того, учитывать, что p(t)=g(t)=0.  $c_{30}=d_{31}=0$ , то для  $\Phi_3(z_3)$  получим

$$\Phi_3(z_3) = \frac{d_{30}z_3}{X(z_3)} + \frac{1}{X(z_3)}$$
 (3.2)

где

$$X(z_3) = \sqrt{z_3^2 - l^2}; \quad d_{30} = p/2; \quad z_3 = x + lby$$
 (3.3)

 $Y_2(z_1)$ —функция, голоморфиая вне контуров  $L_1,\ L_2$ 

Отображая внешность единичного круга на внешности эллипсов по формулам

$$z_3 - h = R_3 \left( z_1 - \frac{m_3}{z_1} \right); \quad z_3 + h - R_3 \left( z_2 + \frac{m_3}{z_2} \right)$$
 (3.4)

где

$$R_3 = (a + \beta_3 b)/2; \quad m_3 = (a - \beta_3 b)/(a + \beta_3 b)$$

и учитывая указанную выше симметрию напряженного состояния, для функции окончательно находим

$$\Phi_{3}(z_{3}) = \frac{d_{-0}z_{3}}{X(z_{3})} - \sum_{k=1}^{\infty} \frac{b_{k}}{X(z_{k})} \left( \frac{1}{z_{k}} + \frac{r(-1)^{k+1}}{z_{k}} \right)$$
(3.5)

Здесь  $b_h$ —вещественные коэффициенты; r—постоянная, равная 0 или 1 для случаев одной или двух полостей соответственно.

Удовлетворяя граничному условию (1.9) на контуре правой полости (при этом в случае двух полостей в силу использованной симметрии граничное условие на контуре левой полости будет удовлетворяться автоматически), для определения в получаем следующую систему линейных алгебраических уравнений:

$$\sum_{k=1}^{\infty} (B_{k-1} - m_3 B_{k+1}) b_k = 0$$

$$\sum_{k=1}^{\infty} \left[ (1 - m_4) B_k - m_3 B_{k-n+1} + (1 + m_3) r (D_{kn-1} - m_3 D_{kn-1}) b_k + \sum_{k=1}^{\infty} (1 - b_k) m_1 B_{k-1} b_{n-k} - - \right]$$

$$- \sum_{k=n+2}^{\infty} m^{n-1} B_{k-1} b_n + \sum_{k=n}^{\infty} (1 - b_n^1) m_3 B_{k-n+1} b_k -$$

$$- \sum_{k=n+2}^{\infty} B_{k-n-1} b_k = -d_{30} (1 + m_1) (B_{1n-1} - m_3 B_{1n-1}) \quad (n = 1, 2, \ldots)$$
(3.6)

гле  $B_n$ ,  $B_{1n}$ ,  $D_{kn}$ —коэффициенты разложений функций  $X^{-1}(z_1)$ ,  $z_1X^{-1}(z_2)$ ,  $(-1)^{k+1}X^{-1}(z_3)[z_2(z_3)]^{-k}$  в ряды по полиномам Фабера для эллипса  $L_1$ . Они вычисляются через коэффициенты Фурье, которые в свою очередь нахолятся численным интегрированием [2].

Первое уравнение системы (3.6) представляет собой условие однозначности перемешений при обходе во замкнутому контуру, окружающему правую полость, или, все равно, что условие равенства нулю вычета функции  $\Phi_3(z_3)$  в точке  $z_3 = h$ .

После решения системы (3.6) функция (3.5) будет известной, что позволит вычислить напряжения (1.6). Для нахождения же коэффициентов интенсивности напряжений в соответствии с формулой (2.22) имеем

$$k = 2d_{10}\sqrt{I} + \sum_{k=1}^{n} \frac{2b_k}{\sqrt{I}} \left[ \frac{1}{z_1^k(\pm l)} + \frac{r(-1)^{k+1}}{z_2^k(\pm l)} \right]$$

Верхние знаки относятся к правому, нижние—к левому концу трещины.

Полагая в приведенных формулах при расчетах  $\beta_3 = 1$ , получим решение задачи для изотропного тела с круговыми (если a = b) или эллиптическими полостями.

Ниже приводятся некоторые из полученных результатов численных исследований для изотропного и ортотропного тела. Коэффициенты интенсивности напряжений даны с точностью до множителя  $p \sqrt{I}$ , напряжения—с точностью до множителя p.

В табл. 1, 2 и 3 приведены значения коэффициента интенсивности напряжений соответственно для случаев изотропного тела с

круговыми, эллиптическими полостями и ортотропного тела с круговыми полостями. При этом  $\varepsilon = l/(h-a)$ ; в табл. 2 принималось, что h/a = 1,25,  $\varepsilon = 0,5$ .

Таблица 1

1	k2		h/a									
8			Одна г	олость		Две полости						
		2	1,5	1.25	1.1	2	1,5	1.25	151			
0.001	15	1,250	1,445	1.640	1.887	1.544	2.081	2.886	4,509			
	k k k ** ** ** ** * * * * * * * * * * *	1,250	15444	1 640	1.765							
0.1	k2	1,264	1.461	1.655	1,836	1,548	2.087	2.984	4.523			
074	k,	1.239	1,431	1.629	1,821							
0,3	b.+	1,306	1,510	1,700	1.873	1.582	2,137	2,967	4,649			
0,0	P 2	1.225	1.415	1,618	1.822							
0.5	k 3	1,376	1.590	1,781	1.948	1,661	2,258	3,147	4,961			
	A.	1,222	1.412	1,621	1+836							
0.8	A *	1.647	1,899	2,110	2,292	2.045	2 823	4,006	6,455			
	A2	1,246	1 :444	1.668	1,908							
0,9	k.	1,941	2.240	2,490	2:690	2 . 486	3,489	5.032	8,169			
073	k2	1,272	1.479	1.712	1,958							

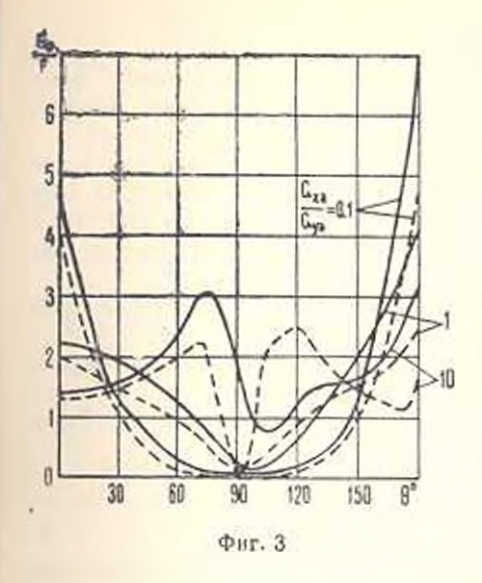
Таблица 2

ов-Ж полостой	As	b/a									
		10	5	2	1	0.5	0.2	0,1	0.01		
1	## #	1,167	1,247	1,499	1:871	2,002 1,709	2.065 1.670	2.026 1.640	1.956		
2	A =	2,010	2,313	2,703	3,141	3,315	3,179	3,031	2,845		

Таблица 3

Кол-во полостей	k <sub>3</sub>	٤	$G_{xz}/G_{yz}$							
			20	10	2	1	0.5	0.1		
1	A	0.5 0.8 0.9	1.27	1.36 1.58	1.64	1.78	1.91	2.07		
	$k_s^-$	0.5	1,24	1.31 1.37 1.38	2.26 1.53 1.59 1.63	2,49 1,62 1,67 1,71	2.71 1.68 1.72 1.77	3,17 1,71 1,74 1,79		
2	a‡	0.5 0.8 0.9	2.36 3.06 3.44	2.53 3.32 4.01	2.98 3.82 4.81	3,15 4,01 5,03	3.27 4,15 5,19	3,28 4,28 5,41		

На фиг. З изображены графики распределения нормальных напряжений № на площадках, перпендикулярных к контуру правой круговой полости для различных ортотропных материалов. При этом



считвлось, что  $\varepsilon = 0.5$ . Сплошные и штриховые линии относятся соответственно к телу с двумя и одной полостью и трешиной.

Из таблицы и графиков следует, что при сближении контуров отверстий и трещины друг с другом наблюдается большой рост концентрации напряжений и коэффициента интенсивности напряжений. Этот рост особенно значительный в случае двух полостей. С уменьшением отношения модулей сдвига  $G_{xz}/G_{yz}$  концентрация напряжений и коэффициент интенсивности напряжений растут.

#### ՃԱՔԵՐՈՎ ԲԱԶՄԱԿԱՊ ՄԱՐՄՆԻ ՀԱԿԱՀԱՐԹ ԴԵՖՈՐՄԱՑԻԱՆ

ու և ԿԱԼՈՆՐՈՎ

Ամփոփում

Ստացված է բազմակապ անիզոտրոպ կամ իզոտրոպ մարմնի համար հակահարթ դեֆորմացիայի կոմպլերս պոտենցիալի ընդհանուր արտահայտությանը։ Կոմպլերս պոտենցիալը պարունակում է փակ եզրագծերի վրա եզրային և որոշ լրացուցիչ պայմաններից որոշված երկու հոլոմորֆ ֆունկթիաներ։ Բերված է թվային հետասոտության մեկ կամ երկու խոռուներ և ճաջեր ունեցող մարմնի համար։

### ANTI-PLANE DEFORMATION OF MULTIPLY CONNECTED BODIES WITH CRACKS

S. A. KALOYEROV

Summary

The common expression of the complex potential of anti-plane deformation for the multiply connected anisotropic or isotropic body is obtained. Complex potential contains two holomorphic functions, defined on the boundary conditions on the reserved contours and some additional conditions.

Numerical investigations were carried out for the body with one or two cavities and cracks.

#### ЛИТЕРАТУРА

- Калоеров С. А. Задача теории упругости для многосвязных пластинок с отверстиями и внутренними трешинами.—Теоретическая и прикладная механик, Киев-Донецк: Вища школа, Головное изд-во, 1982. вып. 13, с. 31—42.
- 2. Космодамианский А. С., Калоеров С. А. Температурные папряжения в многосвязных пластинках.—Киев-Донецк: Виша школа, Головное пад-во, 1983. 159 с.
- 3. Лехницкий С. Г. Теория упругости анизотропного тела М.: Наука. 1977. 415 с.
- 4. Мускелишвили Н. И. Пекоторые основные задачи математической геории упругости.—М.: Наука, 1966. 707 с.
- Мускелишвили Н. И. Сингулярные интегральные уравнения.—М.: Наука, 1968.
   511 с.
- 6. Саврук М. П. Двумерные задачи упругости для тел с трещинами.—Киев: Наукова думка, 1981. 321 с.
- 7. Си Г., Либовиц Г. Математическоя теория хрупкого разрушения.—В ки.: Разрушение. М.; Мир. 1975, т. 2. с. 83—203.

Донецкий госудирственный университет

> Поступила в редакцию 14.II. 1983

## ДИЗЧИЧИХ ПОТ АРВИРАЗИРАЗИРА ИНИТЕРИТАТЬ В В СТИЯ АКАДЕМИИ НАУК АРМЯНСКОЙ ССР

Մեխանիկա

XXXVIII, № 6, 1985

Механика

УДК 539.3

К ПОСТРОЕНИЮ В ЦЕЛОМ ДВУМЕРНОЙ ТЕОРИИ КОЛЕБАНИЙ ПРОВОДЯЩЕЙ ТОНКОЙ ОБОЛОЧКИ МЕТОДОМ АСИМПТОТИЧЕСКОГО ИНТЕГРИРОВАНИЯ ТРЕХМЕРНЫХ УРАВНЕНИЙ МАГНИТОУПРУГОСТИ\*

#### САРКИСЯН С. О.

Как известио, линеаризованиме уравнения магнитоупругости для тонких пластии и оболочек [1] состоят ил грех групп уравнений. В первую группу входят трехмерные ураннения теории упругости с учетом массовых сил электромагнитного происхождения, во вторую группу входят трехмерные уравнения электродинамики для движущейся области, то есть для области, занимаемой оболочкой или пластинкой, в гретью группу входят трехмерные уравнения электродинамики для среды, окружающей пластинку или оболочку, которая считается вакуумом.

Общеизвестны фундаментальные исследования С. А. Амбарцумяна с сотрудниками [2, 3] в области магнитоупругости тонких оболочек и пластин. В этих работах асимптотическому анализу подвергалась вторая группа уравнений. В исходном приближении было обнаружено, что тангенциальные компоненты вектора напряженности возбуждаемого поля и нормальная компонента всктора напряженности возбуждаемого магнитного поля по толщине пластинки или оболочки остаются псизменными. Эти результаты были приняты в качестве гипотез и в соединении с гипотезами Кирхгоффа-Лява для тонких оболочек и пластин были сформулированы как гипотезы магнитоупругости тонких тел [1—3]. Основываясь на этих гипотезах, использованием метода осреднения в работах [2, 3] были осреднены по толщине оболочки или пластинки грехмерные уравнения первой и второй групп уравнений. Этим самым открыт огромный путь для изучения поставленных проблем в области магнигоупругости тонких тел.

Как отмечается в монографии [1], а также в работах [4—6], задача магнитоупругости в целом тем не менее остается трехмерной по причине того, что уравнения электродинамики для окружающей пластинку или оболочку среды из себя представляют трехмерные уравнения в бесконечной области с исключением области, занимаемой тонкой оболочкой или пластинкой.

<sup>\*</sup> Работа была доложена на Всесоюзном школе-семинаре «Методы малого параметра и их применение», Минск: 16—25 сентября 1982 г., и опубликована в «Тезисы лекций и кратких научных сообщений Всесоюзной школы-семенара», Изд. Института математики АН БССР, Минск: 1982, 122 с

Отметим, что существуют некоторые подходы [4—6] для окончательного приведения трехмерной проблемы магнитоупругости тонких тел к двумерной проблеме.

Возникает естественный вопрос, нельзя ли построить равномерные асимптотические разложения во всей области изучасмого явления и именно таким путем свести в целом общую трехмерную проблему магнитоупругости гонких тел к двумерной проблеме. Получаемые таким образом двумерные уравнения будут асимптотически точными в целом.

Настоящая работа посвящена изучению этой задачи. Как видно, данная работа органически связана с исследованиями [2, 3] и по существу представляет продолжение этих исследований.

При построении и изучении асимптотических разложений в области оболочки как при рассмотрении первой группы уравнений, так и второй группы уравнений магнитоупругости существению используется общеизвестный асимптотический метод А. Л. Гольденвейзера для статических задач теории оболочек [7—10],

В работах [11, 12] использованием вышеуказанного метода исследуются аналогичные задачи для статики анизотропных оболочек.

Как отмечается в работах [13, 14], область применимости асимптотического метода построения теории оболочек не ограничивается статикой. Если динамический пограничный слои регулярный [13, 14], это позноляет без существенных изменений применить вышеотмеченный асимптотический подход и получить асимптотически точные двумерные уравнения динамики тонких оболочек [13, 14].

В работах [15, 16] таким путем получены динамические двумерные уравнения для топких изотропных пластин.

В работах[17, 18] постросны асимптотически точные двумерные уравнения в целом для изучения магнитоупругих колебаний тонких пластин.

1. Рассматривается изотропная упругая оболочка постоянной толидины 2h, изготовленная из материала с конечной электропроводностью с. Оболочка находится во внешнем однородном магнитном поле с заданным вектором напряженности  $H_0 = (H_a, H_a, H_b)$ .

Отнесем срединную поверхность оболочки к линиям кривизны 2, 3 и положение любой точки определим размерными координатами 2, 3 и 7 [10, 11].

Будем исходить из основных урависний линеаризованной теории магнитоупругости [3] для трехмерной среды. Уравнения движения теории упругости с учетом массовых сил электромагнитного проистожления

$$\frac{1}{B}\partial_a(Bz_a) - k_3z_3 + \frac{1}{A}\partial_3(Az_{3a}) + k_az_{3b} + \left(1 + \frac{\gamma}{R_1}\right)\partial_3z_{a\gamma} + \frac{2z_{a\gamma}}{R_1} = \rho \frac{\partial^2 u_a}{\partial t^2} + R_a, (\alpha, \beta)$$

$$\partial_az_4 - \left(\frac{z_a}{R_1} + \frac{z_3}{R_2}\right) + \partial_az_{a\gamma} + \partial_3z_{3\gamma} + k_3z_{a\gamma} + k_az_{3\gamma} = \rho \frac{\partial^2 u_\gamma}{\partial t^2} + R_\gamma$$
(1.1)

$$\left(1+\frac{\gamma}{R_1}\right)\tau_{\alpha\beta} = \left(1+\frac{\gamma}{R_2}\right)\tau_{\beta\alpha}, \quad \vec{R} = (R_\alpha, R_\beta, R_\gamma) = \frac{\sigma}{c}\left(\vec{e} + \frac{1}{c}\frac{\partial \vec{u}}{\partial t} \times \vec{H}_0\right) \times \vec{H}_0$$

с соотношениями упругости [10].

Уравнения электродинамики в области оболочки [1]:

$$\operatorname{rot} h = \frac{4\pi}{c} \left( \vec{e} + \frac{1}{c} \frac{\partial u}{\partial t} \times \vec{H}_{c} \right) + \frac{1}{c} \frac{\partial e}{\partial t} \quad \operatorname{div} h = 0$$

$$\operatorname{rot} \vec{e} = -\frac{1}{c} \frac{\partial h}{\partial t}, \quad \operatorname{div} \vec{e} = 4\pi \rho_{0}, \quad \frac{\partial \rho_{0}}{\partial t} + a \operatorname{div} \left( \vec{e} + \frac{1}{c} \frac{\partial u}{\partial t} \times \vec{H}_{0} \right) = 0 \quad (1.2)$$

Уравиения электродинамики во висшией от оболочки области (вакуум)
[1]:

$$\operatorname{rot} h = \frac{1}{c} \frac{\partial e}{\partial t} \quad \operatorname{rot} e = -\frac{1}{c} \frac{\partial h}{\partial t}, \quad \operatorname{div} h = 0, \quad \operatorname{div} e = 0 \tag{1.3}$$

где  $u=(u_a, u_3, u_7)$ — вектор перемещения точек оболочки,  $e=(E_a, E_3, E_7)$ ,  $h=(h_a, h_3, h_7)$ ,  $\rho_0$ —компоненты индуцированного электромагнитного поля.

В данной работе стронтся итерационный процесс, позволяющий с любой асимптотической точностью удовлетворять уравнениям (1.1) (1.3), механическим и электродинамическим условиям на лицевых поверхностях оболочки  $\gamma = -h$ . Этим процессом нельзя удовлетворять всем механическим и электродинамическим граничным условиям на боковой новерхности оболочки, для полного исследования задачи рассматриваются погранслон у боковой поверхности оболочки.

2. Займемся сначала построением основного итерационного процесса в области оболочки. Основным итерационным процессом определяется такое электромагнитоупругое состояние, которое проникнуто вглубь оболочки. Введем безразмерную систему координат, а также время по формулам [10, 15]

$$a = R^{h-p\xi}, \quad \beta = R^{h-p\eta}, \quad \gamma = h\zeta = R^{h-l\zeta}, \quad \lambda = \left(\frac{h}{R}\right)^{-\frac{1}{l}} = \varepsilon^{-\frac{1}{l}} \tag{2.1}$$

$$z = \frac{t}{t_0}, \quad t_0 = z^{n-1} \frac{R}{c_0}, \quad c_0 = \sqrt{\frac{E}{\rho}}$$
 (2.2)

где R—характерный раднус кривизны оболочки,  $\lambda$ —большой параметр, p, l—целые числа,  $\omega$  характеризует изменяемость процесса во времени Введем также безразмерные величины по формулам работы [17, 18].

Преобразован уравнення (1.1)—(1.3), используя для этого (2.1), (2.2), а также указанные выше формулы из работы [17, 18], будем искать решения вновь полученных уравнений в виде

$$v_1 = \lambda^{-1/2} \sum_{i=1}^{n-1} v^{(i)}, \quad v_n = \lambda^{-1/2} \sum_{i=1}^{n-1} v^{(i)}, \quad a_n = \lambda^n \sum_{i=1}^{n-1} \lambda^{-s} \sigma_n^{(s)}; \quad \tau_{\alpha\beta} = \lambda^n \sum_{i=1}^{n-1} \lambda^{-s} \sigma_n^{(s)}; \quad (\alpha, \beta)$$

(2.3)

$$h_{\alpha} = \lambda^{x_1} \sum_{\lambda} \lambda^{-x} h_{\alpha}^{(s)}; \quad a_{\gamma} = \lambda^{x_2 + 1 + \varepsilon} \sum_{\lambda} \lambda^{-x} o^{(s)}, \quad H_{\alpha} = \lambda^{x_1} H_{\alpha 0}, \quad (\alpha, \beta, \gamma)$$

$$h_{\alpha} = \lambda^{x_1} \sum_{\lambda} \lambda^{-x} h_{\alpha}^{(s)}; \quad E_{\alpha} = \lambda^{x_2} \sum_{\lambda} \lambda^{-x} E^{(s)}; \quad (\alpha, \beta, \gamma), \quad p_0 = \lambda^{x_2} \sum_{\lambda} \lambda^{-x} o^{(s)}$$

$$(2.4)$$

Здесь представления (2.3) совпадают с соответствующими представлениями монографии [10]; c=0 при  $0 \ll r = \frac{p}{l} \ll \frac{1}{2}$ ; c=2p-l при

$$\frac{1}{2} \le \frac{p}{t} < 1$$
. Числа х, х<sub>1</sub>, х<sub>2</sub> и  $\omega$  в ходе решения уравнений (1.1)—(1.3)

выбираются таким образом, чтобы в исходном приближении получились взаимосвязанные электромагнитоупругие явления, а также, чтобы инерционные члены входили в систему уравнений исходного приближения.

Таким образом, получаем

$$x = 0, \quad x_1 = l\left(\frac{1}{2}m - 1\right), \quad x_2 = \frac{3}{2}lm - 2l - p$$
 (2.5)

при этом, в случае 
$$0 \leqslant \frac{p}{l} \leqslant \frac{1}{2} = 0$$
 (2.6)

a n cayaae 
$$\frac{1}{2} \leq \frac{p}{l} < 1 \quad \omega = \frac{2p}{l}$$
 (2.7)

Полставляя (2.3), (2.4) в уравнения (1.1), (1.2) с учетом (2.5)— (2.7), получаем последовательность систем уравнений для определения коэффициентов разложения (2.3)—(2.4). Отметим, что касается упругой части задачи, операторы в указанных уравнениях тождественно совнадают с соответствующими операторами чисто упругой задачи [10, 11]. Здесь, для экономии места, приводятся только инерционные члены и силы электромагнитного происхождения, которые будут входить в правые части уравнения движения:

$$\frac{\partial^{2} v^{(s)}}{\partial t} + R_{m}(H - H) \frac{\partial v^{(s+2lm-2l-2p)}}{\partial t} - R_{m} \left[ H_{10} \left( E^{(s+2lm-2l-p+\epsilon)} + H_{n0} \frac{\partial v^{(s+2lm-2l-2p)}}{\partial t} \right) \right]$$

$$= \frac{\partial^{2} v^{(s)}}{\partial t} + R_{m}(H_{n} + H_{n}) \frac{\partial v^{(s)}}{\partial t} - R_{n} \left[ H_{n0} \left( E^{(s+2lm-2l-p+\epsilon)} - H_{n0} \frac{\partial v^{(s+2lm-2l-p+\epsilon)}}{\partial t} \right) \right]$$

$$= -H_{20} \left( E^{(s+2lm-2l-p-\epsilon)}_{s} - H_{n0} \frac{\partial v^{(s+2lm-2l-p+\epsilon)}}{\partial t} \right)$$

$$= -H_{20} \left( E^{(s+2lm-2l-p-\epsilon)}_{s} - H_{n0} \frac{\partial v^{(s+2lm-2l-p+\epsilon)}}{\partial t} \right)$$

Последовательность систем уравнений, которые получаются из соотношений упругости, аналогичны соответствующим системам уравнений [10, 11], поэтому они здесь не приводятся.

Из второй группы уравнений, то есть из (1,2) имеем

$$\frac{1}{B} \frac{\partial h_{1}^{(s-1+p)}}{\partial \eta} \frac{\partial h_{2}^{(s)}}{\partial \zeta} - \frac{1}{r_{2}} \frac{h_{2}^{(s-1)}}{\partial z} - \frac{B\zeta}{r_{2}} \frac{\partial h_{3}^{(s-1)}}{\partial \zeta} = 4\pi R_{m} \left[ E^{(s+1s-1-p)} + \frac{1}{r_{1}} \frac{\partial v_{1}^{(s+1s-1-p)}}{\partial z} + \frac{1}{r_{2}} \frac{\partial v_{2}^{(s+1s-1-p)}}{\partial z} - H_{10} \frac{\partial v_{2}^{(s)}}{\partial z} \right] + 4\pi R_{m} \frac{1}{r_{2}} \left[ E^{(s+1s-1s-p)} + \frac{1}{r_{2}} \frac{\partial v_{2}^{(s+1s-1-p)}}{\partial z} + \frac{1}{r_{2}} \frac{\partial v_{2}^{(s+1s-1-p)}}{\partial z} - H_{10} \frac{\partial v_{2}^{(s+1s-1s-p)}}{\partial z} \right] + \left( \frac{c_{0}}{c} \right)^{2} \frac{\partial E^{(s+2s-1s-p)}}{\partial z} + \frac{1}{r_{2}} \frac{\partial v_{2}^{(s-1s-p)}}{\partial z} + \frac{1}{r_{2}} \frac{\partial v_{2}^{(s-1s-p)}}{\partial z} \right) - \frac{1}{r_{2}} \frac{\partial v_{2}^{(s-1s-p)}}{\partial z} + \frac{1}{r_{2}} \frac{\partial v_{2}^{(s-1s-p)}}{\partial z} + \frac{1}{r_{2}} \frac{\partial v_{2}^{(s-1s-p)}}{\partial z} \right] + \frac{1}{r_{2}} \frac{\partial v_{2}^{(s-1s-p)}}{\partial z} + \frac{\partial v_{2}^{(s-1s-p)}}{\partial z$$

Уравнения (2.8), (2.9) в совокупности составляют полную систему для последовательного определения всех неизвестных величин в области оболочки.

3. Рассмотрим теперь третью группу уравнений, то есть уравнения электродинамики (1.3) во внешней от оболочки области (вакуум). Займемся сначала построением основного итерационного процесса в этой области, представляющей собой бесконечную область с исключением области тонкой оболочки. Основной итерационный процесс определяет такое электродинамическое состояние, которое проникнуто вглубь во внешней от оболочки области.

Предполагается, что во инешней области электромагнитное поле в трех направлениях имеет одну и ту же изменяемость, равную изменяемости по направлениям ∝ и β для внутренней задачи. По времени для внешней задачи принимается такая же изменяемость, что и для внутренней задачи.

Итак, во внешиюю среду введем безразмерную систему координат и время соответственно

$$\alpha = R^{\chi - \rho \xi}, \quad \beta = R^{\chi - \rho \eta}, \quad \zeta_1 = R^{\chi - \rho \gamma}, \quad \gamma = \frac{f}{f_0}$$
 (3.1)

где  $t_0$  определяется из (2.2) с учетом (2.6) или (2.7).

Преобразовав уравнения (1.3), используя для этого (3.1), будем щих в (3.2), с учетом (2.5), (2.6) или (2.7) примут вид

$$E_{\alpha} = \lambda^{\alpha_1} \sum_{\lambda} \lambda^{-s} E_{\alpha}^{(s)}; \quad (\alpha, \beta, \gamma), \quad h_{\alpha} = \lambda^{\alpha_1} \sum_{\lambda} \lambda^{-s} h_{\alpha}^{(s)}; \quad (\alpha, \beta, \gamma)$$
 (3.2)

где  $x_1$  и  $x_2$  определяются соответственно из (2.5) с учетом (2.6) или (2.7).

Итак уравнения определения неизвестных коэффициентов, входящих в (3.2), с учетом (2.5)- (2.6) или (2.7) примут вид

$$\operatorname{rot} \vec{h}^{(s)} = \left(\frac{c_0}{c}\right)^2 \frac{\partial E}{\partial z}; \quad \operatorname{rot} \vec{E} = -\frac{\partial h^{(s)}}{\partial z}; \quad \operatorname{div} \vec{h}^{(s)} = 0, \quad \operatorname{div} \vec{E}^{(s)} = 0 \tag{3.3}$$

Сопоставляя (3.3) с (1.3), легко убедиться, что в асимптотических приближениях основного итерационного процесса, как и следовало ожидать, уравнения не упрощаются (они остаются без изменений).

Рассмотрим теперь, как будет выглядеть в новой системе координат (3.1) тонкая область оболочки. В первоначально выбранной размерной системе координат лицевые поверхности оболочки будут  $\mathbf{x} = \pm h$ , в системе координат (3.1) эти поверхности определяются следующим образом (как и в работах [17, 18]):

$$\zeta_1 = \pm \frac{h}{R} = \pm \varepsilon \tag{3.4}$$

Здесь, стремя  $\varepsilon \to 0$ . будем иметь  $\cdot = \pm 0$ . Это означает, что изменения компонентов электромагнитного поля по толщине—  $\frac{h}{R} = \frac{h}{R}$  по внешней от оболочки области асимптотически не влияют на внут-26

ренний или основной итерационный процесс, а саму оболочку необходимо рассматривать как математический разрез. Следовательно, для внешней задачи (основного итерационного процесса) на таком математическом разрезе необходимо задавать те значения для компонентов электромагнитного поля, которые получаются на лицевых поверхностях оболочки при рассмотрении внутренней задачи (основного итерационного процесса).

Если рассматривать основной итерационный процесс для внутренней задачи, то есть уравнения (2.9), то легко убедиться, что в общем случае по «s» любое граничное значение для компонентов электромагнитного поля на лицевых поверхностях оболочки  $l=\pm 1$  можно представить в виде суммы двух слагаемых так, что одна часть этой суммы при переходе от l=-1 к l=-1 не изменяется, а вторая часть при указанном переходе терлит разрывы.

Используя каждый раз выражения этих разрывов из внутренней задачи, при помощи тензора Грина во всем пространстве (в  $R_3$ ) для уравнений (3.3), можно написать решение уравнений (3.3) в интегральной форме следующим образом:

$$E_{s,0}^{(s)}(\xi, \eta, \zeta_1, z) = \int \int Q_{1a}(\xi - \xi_0, \eta - \eta_0, \zeta_1, z) |h^{(s)}| d\Omega + \int \int Q_{2a}(\xi - \xi_0, \eta - \eta_0, \zeta_1, z) |h_{3}^{(s)}| d\Omega; \quad (\alpha, \beta)$$
(3.5)

и аналогичные выражения для  $h^{(s)}_{\infty}$ ,  $h^{(s)}_{\infty}$ , (x, 9),  $E^{(s)}_{\infty}$ , а также

$$h_{ad}^{(i)}(\xi, \tau_0, \zeta_1, z) = \int_{\Omega} G_{2a}(\xi - \xi_0, \tau_0 - \tau_0, \zeta_1, z) |E_{\alpha}^{(i)}| d\Omega + \int_{\Omega} G_{4a}(\xi - \xi_0, \tau_0 - \tau_0, \zeta_1, z) |E_{\alpha}^{(i)}| d\Omega + \int_{\Omega} G_{4a}(\xi - \xi_0, \tau_0 - \tau_0, \zeta_1, z) |h_{\alpha}^{(i)}| d\Omega; \quad (\alpha, \beta)$$

$$(3.6)$$

н вналогичные выражения для  $h_{i,1}^{(s)},\; E^{(s)},\; (lpha,\,3),\; E^{(s)}$ 

Здесь  $\Omega$  —срединная поверхность оболочки,  $(z_0, \gamma_0) \in \Omega$ .  $(z_0, \gamma_0) \in \Omega$ . (z

$$h_{\epsilon}^{(s)}(\xi,\eta,\zeta_1,\tau) = h_{\epsilon 0}^{(s)}(\xi,\eta,\zeta_1,\tau) + h_{\epsilon 1}^{(s)}(\xi,\eta,\zeta_1,\tau), (z,p,\gamma), (h^{(s)},E^{(s)})$$
 (3.7) где  $h_{\epsilon 0}^{(s)}(\xi,\eta,\zeta_1,\tau), E^{(s)}(\xi,\eta,\zeta_1,\tau), (z,\beta,\gamma)$  при прохождении через разрез  $\zeta_1 = \pm 0, \xi, \eta \in \Omega$  не терпят разрывов, а  $h_{\epsilon 1}^{(s)}(\xi,\eta,\zeta_1,\tau), E^{(s)}(\xi,\eta,\zeta_1,\tau), (z,\beta,\gamma)$  при прохождении через указанный разрез скачкообразно изменяются.

Отметим, что в выражениях (3.5) и (3.6) функции  $Q_{i\alpha}$ , i=1, 2...5;  $(\alpha, \gamma)$  из себя представляют тензор Грина уравнений (3.3) в  $R_{a}$ .

Зная  $E_{\chi}^{(s)}$  для внешней задачи и зная  $E_{\chi}^{(s)}$  для внутренней задачи, легко определить плотность поверхностного заряда  $\chi$ , который возникает на лицевых поверхностях оболочки

$$E^{(s)+}$$
(внеш.)— $E^{(s)+}$ (внут.);  $\chi^{(s)-} = E^{(s)-}$ (внеш.)— $E^{(s)-}$ (внут.) (3.8)

4. Проведем анализ тех приближений основного итерационного процесса (2.8). (2.9), (3.5), (3.6), которые соответствуют основным допущениям классической теории оболочек [10, 8]. Рассматривая уравнения (2.8), (2.9), (3.5), (3.6), легко убедиться, что результатом классической теории оболочек, как и в [10, 11], должны соответствовать результаты, полученные асимптотическим интегрированием уравнений трехмерной задачи магнитоупругости, если ограничиться приближением до s=2l-2p-1 включительно, в частности, при пулевой изменяемости (p=0, l=1) этому будут соответствовать приближения s=0; 1.

Рассмотрим первые два приближения в случае нулевой изменяемости. Для s = 0 из соотношений (2.8), (2.9), а также из соотношений упругости [10], которые мы не приводили, имеем

$$v^{(0)} = v^{(0)}_{0}(\xi, \gamma, \tau), \ (z, \beta), \ v^{(0)}_{\gamma} = v^{(0)}_{\gamma^{0}}(\xi, \gamma, \tau), \ E^{(0)}_{\alpha} = E^{(0)}_{\alpha}(\xi, \gamma, \tau), \ (z, \beta)$$

$$h^{(0)}_{\gamma} = h^{(0)}_{0}(\xi, \gamma, \tau) \tag{4.1}$$

Условия (4.1) из себя представляют выражения известных гипотез магинтоупругости [1].

Используя (4.1), а также соответствующие силовые граничные условия на лицевых поверхностях оболочки, уравнения движения в исходном приближении приводятся к следующим уравнениям:

$$\frac{1}{AB} \frac{\partial (Bz^{(0)})}{\partial \bar{z}} - Rkz^{(0)} + \frac{1}{AB} \frac{\partial (Az^{(0)}_{2a})}{\partial z} + Rkz^{(0)} - \frac{\partial^{2}v^{(0)}}{\partial z} - R_{m}H_{z} \frac{\partial v^{(0)}}{\partial z} + R_{m}H_{z} \frac{\partial v^{(0)}}{\partial z} - R_{m} \left[ H_{z} \left( E^{(0)} + H_{z} \frac{\partial v^{(0)}}{\partial z} + R_{m}(H_{z} + H_{z}^{2}) \frac{\partial v^{(0)}}{\partial z} - R_{m} \left[ H_{z} \left( E^{(0)} + H_{z} \frac{\partial v^{(0)}}{\partial z} \right) \right] \right] - H_{z} \left( E^{(0)} - H_{z} \frac{\partial v^{(0)}}{\partial z} \right) = \frac{1}{2} P_{z}^{(0)}$$

Напряжения  $\sigma^{(0)}$ ,  $(\alpha, \beta)$ ,  $\tau^{(0)} = \tau^{(0)}$ ,  $(\alpha, \beta)$ ,  $\sigma^{(0)}$ , а также деформации  $\tau^{(0)}$ , (1, 2),  $\omega^{(0)}$  определяются аналогичными формулами из [10].

Для электродинамической части задачи получаем

$$h^{(0)} = 4\pi R_{\pi\tau} \left[ E_{0}^{(0)} + \left( H_{\pi 0} \frac{\partial v_{+0}^{(0)}}{\partial z} - H_{\pi 0} \frac{\partial v_{+0}^{(0)}}{\partial z} \right) \right] + h_{\pi 0}^{(0)} (\xi, \eta, \tau); \quad (\alpha, \beta)$$
 (4.3)

$$[h^{(0)}] = h^{(0)} + -h^{(0)} - = h^{(0)} = 2 \left[ -R \left( E^{(0)} + H_{*0} \frac{\partial v_{*0}^{(0)}}{\partial z} - H_{*0} \frac{\partial v_{*0}^{(0)}}{\partial z} \right) \right] (\alpha, \beta)$$
(4.1)

$$E^{(0)} = H_{a0} \frac{\partial v_{\beta 0}^{(0)}}{\partial \tau} - H_{\beta 0} \frac{\partial v_{\beta 0}^{(0)}}{\partial \tau} \cdot \rho_{0}^{(0)} = 0$$
 (4.5)

Так как  $[E_a^{(0)}] = 0$ ;  $(a, \beta)$ ,  $[h^{(0)}] = 0$ , то, как это следует из  $(3.6)^1$  во внешней области  $h_{a0}^{(0)}(\xi, \eta, \xi_1, \tau) = 0$ ;  $(a, \beta)$ ,  $h_1^{(0)}(\xi, \eta, \xi_1, \tau) = 0$ ;  $(a, \beta)$ ;  $E_{a1}^{(0)}(\xi, \eta, \xi_1, \tau) = 0$ ; из того, что  $h_a^{(0)}(\xi, \eta, \xi_1, \tau) = 0$  во внешней области и условий непрерывности для этой величины на лицевых поверхностях оболочки будет следовать. что в (4.3)  $h_{a0}^{(0)}(\xi, \eta, \tau) = 0$ ;  $(a, \beta)$ .

Отличные от нуля величины внешней задачи определяются из уравнений (3.5) при s = 0 с учетом (4.4).

Используя данные исходного приложения, для приближений s = 1 из (2.8), (2.9) получим

$$\sigma^{(1)} = \sigma^{(1)}_0 + \sigma^{(1)}_1 : \sigma^{(1)} = \sigma^{(1)}_0 + \sigma^{(1)}_1 : \sigma^{(1)} = \sigma^{(1)}_0 + \sigma^{(0)}_1 : (\alpha, \beta), \ \sigma^{(1)} = \sigma^{(1)}_{\tau^0} - \sigma^{(0)}_{\tau^0} + \sigma^{(0)}_1$$

$$= (1) + (1) + (1) + (2) + (3$$

$$h^{(1)} = h^{(1)} + \frac{1}{3}h^{(1)} + \frac{1}{3}h^{(1)} + \frac{1}{3}h^{(1)} = (\alpha, \beta), h^{(1)} = h^{(1)} + \frac{1}{3}h^{(1)} + \frac{1}{3}h^{(1)} = h^{(1)} = h^{(1)} + \frac{1}{3}h^{(1)} = h^{(1)} = h^{(1)}$$

$$E^{(i)} = E^{(i)} + E^{(i)} + \mathcal{I}^{2}E^{(i)}, \ (z, \beta), \ E^{(i)} = E^{(i)}_{\gamma 0} + \mathcal{I}^{(i)}_{\gamma 1}, \ \rho_{0}^{(i)} = \rho_{0}^{(i)}(z, \gamma_{0}z)$$

$$(4.7)$$

$$\frac{1}{AB} \frac{\partial (B \circ_{a0}^{(1)})}{\partial \xi} - Rk_{a} \circ_{a0}^{(1)} + \frac{1}{AB} \frac{\partial (A \circ_{a0}^{(1)})}{\partial \tau_{a}^{2}} + Rk_{a} \circ_{a0}^{(1)} - \frac{\partial^{2} v_{a0}^{(1)}}{\partial \tau^{2}} + R_{m} (H_{10}^{2} + H_{30}^{2}) \frac{\partial v_{a0}^{(1)}}{\partial \tau} -$$

$$-R_{m}\left[H_{\gamma 0}\left(\overline{E}_{\beta 0}^{(1)}+H_{\alpha 0}\frac{\partial U_{\gamma 0}}{\partial \tau}\right)-H_{\beta 0}\left(E^{(1)}-H_{\alpha 0}\frac{\partial U_{\beta 0}^{(1)}}{\partial \tau}\right)\right]+R_{m}H_{\gamma 0}\frac{\partial H_{\alpha 0}^{(0)}}{\partial \tau}; (4.8)$$

$$\frac{\sigma_{10}^{(1)}}{r_{1}} + \frac{\sigma_{10}^{(1)}}{r_{2}} = -\frac{\partial^{2} v_{70}^{(1)}}{\partial \tau^{2}} - R_{m} \left( H_{50} + H_{20}^{2} \right) \frac{\partial v_{10}^{(1)}}{\partial \tau} + R_{2} \left[ H_{50} \left( \frac{1}{E} \left( v_{1} + H_{50} \frac{\partial v_{10}^{(1)}}{\partial \tau} \right) - H_{50} \left( \frac{1}{E} \left( v_{2} + H_{50} \frac{\partial v_{10}^{(1)}}{\partial \tau} \right) \right] + \frac{1}{2} \frac{\partial h_{50}^{(0)}}{\partial \tau} - \frac{1}{2} \frac{\partial h_{50}^{(0)}}{\partial \tau} \right]$$

$$\begin{split} [h_{\alpha}^{(1)}] = & 2 \left\{ \frac{1}{A} \frac{\partial h_{\gamma 0}^{(0)}}{\partial \tau} + 4\pi R_m \left[ \overline{E}_{\beta 0}^{(1)} + \left( H_{\alpha 0} \frac{\partial v_{\gamma 0}^{(1)}}{\partial \tau} - H_{\gamma 0} \frac{\partial v_{\alpha 0}^{(1)}}{\partial \tau} \right) \right] - \right. \\ & \left. - \frac{1}{3} 4\pi R_m \frac{\partial h_{\alpha 1}^{(0)}}{\partial \tau} + \left( \frac{c_0}{c} \right)^2 \frac{\partial E_{\beta 0}^{(0)}}{\partial \tau}, \quad (\alpha, \beta) \right] \end{split}$$

$$(4.9)$$

$$[E_{\alpha}^{(1)}] = 2 \left[ \frac{1}{A} \frac{\partial}{\partial \xi} \left( H_{\alpha 0} \frac{\partial v_{\alpha 0}^{(0)}}{\partial z} - H_{\alpha 0} \frac{\partial v_{\alpha 0}^{(0)}}{\partial z} \right) - \frac{E_{\alpha 0}^{(0)}}{r_{0}} \right], \quad (\alpha, 1)$$

$$[h_{\tau}^{(1)}] = -2 \left( \frac{1}{r_{0}} + \frac{1}{r_{0}} \right) h_{\tau 0}^{(0)}$$

где  $E^{(i)}$ ,  $(\alpha, \beta)$  из себя представляют значения четной части относительно для выражений  $E^{(i)}|_{\xi=\pm i}$ ;  $(\alpha, \beta)$  (4.7).

Отметим, что для коэффициентов перед степенями в (4.6) и (4.7) получаются конкретные формулы для их вычисления, но для экономни места эти формулы здесь не приводятся. По такой же причине в уравнениях (4.8) не приведены внешние силы, они имеют аналогичный вид, как в [10, 11].

С учетом (4.9) при s=1 с помощью формул (3.5) и (3.6) определяются все искомые величины во внешней от оболочки области.

5. Представим полученные результаты через термины классической линейной теории оболочек [10]. Для этого вводим понятия усилий, моментов и компонентов смещения срединиой поверхности оболочки соответствующим образом, как в [10, 11]. Поступая, таким образом, известным способом [10, 11], сложив уравнения (4.2) и (4.8), получим

$$\frac{1}{AB}\frac{\partial BT_{s}}{\partial x} - h_{3}T_{g} + \frac{1}{AB}\frac{\partial AS_{23}}{\partial \beta} - k_{a}S_{a\beta} = 2\phi h \frac{\partial^{2}u}{\partial t^{2}} + \frac{2\phi h}{c^{2}} H \frac{\partial u}{\partial t} - \frac{2\phi h}{c^{2}} H_{1}\left(\overline{E}_{5} + \frac{1}{c}H_{\alpha}\frac{\partial w}{\partial t}\right) - \frac{4\sigma}{3}\frac{\phi^{2}h^{3}}{c^{2}}H_{1}\left[\frac{\partial E_{3}}{\partial t} + \frac{1}{c}\left(H_{0}\frac{\partial^{2}uv}{\partial t^{2}} - H_{1}\frac{\partial^{2}u}{\partial t^{2}}\right)\right] + \frac{h}{2\pi c^{2}}H_{3}\left(H_{3}\frac{\partial^{2}u}{\partial t^{2}} - H_{\alpha}\frac{\partial^{2}v}{\partial t^{2}}\right); \quad (\alpha, \beta) \qquad (5.1)$$

$$\frac{T_{1}}{R_{1}} + \frac{T_{2}}{R_{2}} = -2\phi h \frac{\partial^{2}w}{\partial t^{2}} - \frac{2\phi h}{c^{2}}\left(H_{1} + H_{1}\frac{\partial w}{\partial t} + \frac{2\phi h}{c}\left[H_{3}\left(\overline{E}_{a} + \frac{1}{c}H_{3}\frac{\partial v}{\partial t}\right) - H_{2}\left(\overline{E}_{3} - \frac{1}{c}H_{3}\frac{\partial u}{\partial t}\right)\right] + \frac{4\sigma}{3}\frac{\phi^{2}h^{3}}{c^{3}}\left\{H_{1}\left[\frac{\partial \overline{E}_{\alpha}}{\partial t} + \frac{1}{c}\left(H_{3}\frac{\partial^{2}v}{\partial t^{2}} - H_{3}\frac{\partial^{2}w}{\partial t^{2}}\right)\right] - H_{4}\left[\frac{\partial \overline{E}_{3}}{\partial t} + \frac{1}{c}\left(H_{3}\frac{\partial^{2}w}{\partial t^{2}} - H_{3}\frac{\partial^{2}w}{\partial t^{2}}\right)\right] - H_{4}\left[\frac{\partial \overline{E}_{3}}{\partial t} + \frac{1}{c}\left(H_{3}\frac{\partial^{2}w}{\partial t^{2}} - H_{3}\frac{\partial^{2}w}{\partial t^{2}}\right)\right] + \frac{1}{c}\left[\frac{\partial \overline{E}_{3}}{\partial t} + \frac{1}{c}\left(H_{3}\frac{\partial^{2}w}{\partial t^{2}} - H_{3}\frac{\partial^{2}w}{\partial t^{2}}\right)\right] + \frac{1}{c}\left[\frac{\partial \overline{E}_{3}}{\partial t} + \frac{1}{c}\left(H_{3}\frac{\partial^{2}w}{\partial t^{2}} - H_{3}\frac{\partial^{2}w}{\partial t^{2}}\right)\right] + \frac{1}{c}\left[\frac{\partial \overline{E}_{3}}{\partial t} + \frac{1}{c}\left(H_{3}\frac{\partial^{2}w}{\partial t^{2}} - H_{3}\frac{\partial^{2}w}{\partial t^{2}}\right)\right] + \frac{1}{c}\left[\frac{\partial \overline{E}_{3}}{\partial t} + \frac{1}{c}\left(H_{3}\frac{\partial^{2}w}{\partial t^{2}} - H_{3}\frac{\partial^{2}w}{\partial t^{2}}\right)\right] + \frac{1}{c}\left[\frac{\partial \overline{E}_{3}}{\partial t} + \frac{1}{c}\left(H_{3}\frac{\partial^{2}w}{\partial t^{2}} - H_{3}\frac{\partial^{2}w}{\partial t^{2}}\right)\right] + \frac{1}{c}\left[\frac{\partial \overline{E}_{3}}{\partial t} + \frac{1}{c}\left(H_{3}\frac{\partial^{2}w}{\partial t^{2}} - H_{3}\frac{\partial^{2}w}{\partial t^{2}}\right)\right] + \frac{1}{c}\left[\frac{\partial \overline{E}_{3}}{\partial t} + \frac{1}{c}\left(H_{3}\frac{\partial^{2}w}{\partial t^{2}} - H_{3}\frac{\partial^{2}w}{\partial t^{2}}\right)\right] + \frac{1}{c}\left[\frac{\partial \overline{E}_{3}}{\partial t} + \frac{1}{c}\left(H_{3}\frac{\partial^{2}w}{\partial t^{2}} - H_{3}\frac{\partial^{2}w}{\partial t^{2}}\right)\right] + \frac{1}{c}\left[\frac{\partial \overline{E}_{3}}{\partial t} + \frac{1}{c}\left(H_{3}\frac{\partial^{2}w}{\partial t^{2}} - H_{3}\frac{\partial^{2}w}{\partial t^{2}}\right)\right] + \frac{1}{c}\left[\frac{\partial \overline{E}_{3}}{\partial t} + \frac{1}{c}\left(H_{3}\frac{\partial^{2}w}{\partial t^{2}} - H_{3}\frac{\partial^{2}w}{\partial t^{2}}\right)\right] + \frac{1}{c}\left[\frac{\partial \overline{E}_{3}}{\partial t} + \frac{1}{c}\left(H_{3}\frac{\partial^{2}w}{\partial t^{2}} - H_{3}\frac{\partial^{2}w}{\partial t^{2}}\right)\right] + \frac{1}{c}\left[\frac{\partial \overline{E}_{3}}{\partial t} + \frac{1}{c}\left(H_{3}\frac{\partial^{2}w}{\partial t^{2}}$$

Соотношения упругости получаются в аналогичном виде, как в [10].

Поступая аналогичным образом с соответствующими уравнениями (3.5) при s = 0 и s = 1 и подставляя  $t_1 = 0$ , получим

$$\overline{E}_{\sigma}(\alpha,\beta,t) = \int_{\Omega} Q_{1\sigma}(\alpha-\alpha_0,\beta-\beta_0,t)[h_{\sigma}]d\Omega + \int_{\Omega} Q_{2\sigma}(\alpha-\alpha_0,\beta-\beta_0,t]h_{\sigma}]d\Omega, \quad (\alpha,\beta)$$
(5.2)

$$\overline{h}_1(\alpha,\beta,t) = \iint_{\Omega} G_{17}(\alpha - \alpha_0,\beta - \beta_0,t) [h_1] d\Omega + \iint_{\Omega} G_{27}(\alpha - \alpha_0,\beta - \beta_0,t) [h_3] d\Omega$$
 The

$$[h_{\alpha}] = 2h \left[ \frac{1}{A} \frac{\partial \bar{h}_{1}}{\partial \alpha} + 4\pi \frac{\sigma}{c} \left[ \bar{E}_{\beta} + \frac{1}{c} \left( H_{\alpha} \frac{\partial w}{\partial t} - H_{1} \frac{\partial u}{\partial t} \right) \right] + \frac{1}{c} \frac{\partial \bar{E}_{\beta}}{\partial t} - \frac{1}{c^{2}} \left[ \frac{\partial \bar{E}_{\beta}}{\partial t} + \frac{1}{c} \left( H_{\alpha} \frac{\partial^{2} w}{\partial t^{2}} - H_{1} \frac{\partial^{2} u}{\partial t^{2}} \right) \right] \right], \quad (\alpha, \beta), \quad (\alpha_{0}, \beta_{0}) \in \Omega, \quad (\alpha, \beta) \in R_{2}, \quad (5.3)$$

Уравнения (5.1)—(5.3) с учетом соотношений упругости [10] составляют замкнутую систему интегро-дифференциальных уравнений для определения основных расчетных величии. После определения указанных основных расчетных величии остальные расчетные величины будут определяться соответствующими формулами.

Отметим, что уравнения (5.1) и соответствующие соотношения упругости представляют уравнения колебания оболочки по безмоментной теории [10] с учетом сил электромагнитного происхождения. Как нам кажется, эти важные уравнения приводятся здесь впервые.

Уравнения (5.1)—(5.3) позволяют определять величины с асимптотической точностью  $O(\varepsilon^4)$ . На таком уровне точности учтены силы электромагнитного происхождения в уравнениях (5.2), а также на таком уровне точности написаны выражения (5.3) для  $[h_a]$ ,  $(\alpha, \beta)$ . Все эти факторы могут оказаться существенными в конкретных задячах магнитоупругости для тонких оболочек.

При ненулевом показателе изменяемости из систем (2.8), (2.9), (3.5), (3.6) с учетом (2.6), (2.7) следует, что при  $s \in [0, l-2p-c)$  разрешающая система имеет структуру (4.1)—(4.5), если же  $s \in [l-2p+c, 2l-2p-1]$ , то соответствующая система имеет структуру (4.7)—(4.9). Поэтому форма решений уравнений (2.8), (2.9), (3.5), (3.6) будет такой же, как при s=0; l=0; l=1.

Соответствующая система разрешающих уравнений, вытекающая из (2.8), (2.9), (3.5), (3.6), отвечающих точности  $O(\epsilon^{2-2\epsilon})$ , в терминах усилий и моментов будет

$$\frac{1}{AB} \left[ \frac{\partial BT_1}{\partial u} - \frac{\partial B}{\partial u} T_2 + \frac{\partial AS_{11}}{\partial \beta} + \frac{\partial A}{\partial \beta} S_{11} \right] + \frac{N_1}{R_1} = 2\phi h \frac{\partial^2 u}{\partial t^2} + \frac{2\phi h}{c^2} \frac{\partial u}{\partial t} - \frac{\partial u}{\partial t} - \frac{2\phi h}{c} H_1 \left( \overline{E}_{\beta} + \frac{1}{c} H_{\alpha} \frac{\partial w}{\partial t} \right) + \frac{8\pi}{3} \frac{\sigma^2 h^3}{c^3} H_1 \left[ \frac{\partial \overline{E}_{\beta}}{\partial t} + \frac{1}{c} \left( H_{\alpha} \frac{\partial^2 w}{\partial t^2} - H_1 \frac{\partial^2 u}{\partial t^2} \right) \right] + \frac{h}{2\pi c^2} H_{\beta} \left( H_{\beta} \frac{\partial^2 u}{\partial t^2} - H_{\alpha} \frac{\partial^2 u}{\partial t^2} \right); \quad (a, \beta) \tag{5.4}$$

$$\frac{T_1}{R_1} + \frac{T_2}{R_3} - \frac{1}{AB} \left( \frac{\partial BN_1}{\partial u} + \frac{\partial AN_2}{\partial \beta} \right) = -2\phi h \frac{\partial^2 w}{\partial t^2} - \frac{2\phi h}{c^3} \left( H_{\alpha}^2 + H_{\beta}^2 \right) \frac{\partial w}{\partial t} + \frac{2\phi h}{c} \left[ H_{\beta} \left( \overline{E}_{\alpha} + \frac{1}{c} H_1 \frac{\partial v}{\partial t} \right) - H_{\alpha} \left( \overline{E}_{\beta} - \frac{1}{c} H_2 \frac{\partial u}{\partial t} \right) \right] - \frac{8\pi}{3} \frac{\sigma^2 h^3}{c^3} \left\{ H_{\beta} \frac{\partial \overline{E}_{\beta}}{\partial t} + \frac{1}{c} \left( H_1 \frac{\partial^2 w}{\partial t^2} - H_2 \frac{\partial^2 w}{\partial t^2} \right) \right] - H_{\alpha} \left[ \frac{\sigma \overline{E}_{\beta}}{\partial t} + \frac{1}{c} \left( H_{\alpha} \frac{\partial^2 w}{\partial t^2} - H_1 \frac{\partial^2 u}{\partial t^2} \right) \right] \right] \tag{5.5}$$

$$\frac{1}{AB} \left[ \frac{\partial BM_1}{\partial u} - \frac{\partial B}{\partial u} M_1 + \frac{\partial AH_{21}}{\partial t} + \frac{\partial A}{\partial t} H_{11} \right] - N_1 = -\frac{2\phi h^3}{3} \frac{\partial^3 \gamma_1}{\partial t^2} - \frac{1}{c} \frac{v}{1 - v} H_{\alpha} \times \frac{\partial^2 w}{\partial t} \right] - \frac{2\phi h^3}{3c} H_1 \left[ \frac{1}{c} H_1 \frac{\partial \gamma_1}{\partial t} + \frac{1}{c} \frac{1}{c} \frac{\partial}{\partial \beta} \left( H_{\alpha} \frac{\partial w}{\partial t} - H_1 \frac{\partial w}{\partial t} \right) - \frac{\overline{E}_{\beta}}{R_2} - \frac{1}{c} \frac{v}{1 - v} H_{\alpha} \times \frac{\partial^2 w}{\partial t} \right] \right] - \frac{2\phi h^3}{3c} H_{\beta} \left\{ \frac{1}{AB} \frac{\partial}{\partial a} B \right\} \left[ \overline{E}_{\alpha} + \frac{1}{c} \left( H_1 \frac{\partial v}{\partial t} - H_3 \frac{\partial w}{\partial t} \right) \right] + \frac{31}{31} \right\}$$

$$+\frac{1}{AB}\frac{\partial}{\partial \beta}A\left[\overline{E}_{\beta}+\frac{1}{C}\left(H_{*}\frac{\partial w}{\partial t}-H_{*}\frac{\partial u}{\partial t}\right)\right] \qquad (2.3)$$

Соотношения упругости будут ныражаться аналогичными формулами [10], поэтому здесь они не принодятся.

К уравнениям движения (5.41—(5.6) следует присоединить соответствующие уравнения, вытекающие из электродинамической части задачи (2.9), (3.5) Эти уравнения и в случае ненулевой изменяемости имеют вид (5.2), (5.3).

Итак. (5.4)—(5.6), (5.2) и (5.3) будут представлять ту замкнутую систему интегро-тифференциольных урагиений, которая необходима для исследования колебаний проводящей тонкой оболочки по моментной теории.

Подставляя таким образом в полученные интегро-дифференциальные уравнения кривизны  $k_1 = 1/R_1 = k_2 = 1/R_3 = 0$ , получаем двумерные уравнения колебяния пластинок в магнитном поле.

6. Вблизи края оболочки полникает магнитоупругое состояние погранелоя, которое должно резко затухать при удалении от края вглубь оболочки. Впедение пограничного слоя дает поэможность удовлетворить граничным условиям на боковой поверхности оболочки в терминах трехмерной теории, установить граничные условия внутренией залачи и уточнить магнитоупругое состояние вблизи края.

Чтобы вблизи боковой поверхности оболочки з построить погранстви, выслем новые независимые переменные по формулам [10], а по времени изменяемость погранслоя должна соответствовать изменяемости по времени внутренней задачи, то есть для погранслоя тоже вводится безразмерное время по формуле (2.2), (2.6) или (2.7). Преобразовав уравнения (1.1)—(1.3) укизанным выше образом, будем искать решения вновь полученных уравнений в виде

$$\mathcal{L}_{i} = \lambda^{i} \Sigma^{1-i} \mathcal{L}^{(i)} \tag{6.1}$$

где  $\mathcal{L}_t$  —любое из напряжений, перемешений и компонентов возбужлаемого электромагнитного поля внутри или вне оболочки.

После подстановки (6.1) и уравнения магнитоупругости (1.1)—(1.3) мы получим непротиворечивую систему относительно 27% если

$$\mathbf{x}_{s} = \mathbf{x}_{s} = -l + p, \quad \mathbf{x}_{s} = \mathbf{x}_{s} = \frac{3}{2} l \omega - 1 + p, \quad \mathbf{x}_{\mathcal{E}_{\beta}} = \frac{3}{2} l \omega - 5l + 2p$$

$$(6.2)$$

Для упругой части задачи получаемая система аналогична системе уравнений статики оболочек [10]. Так, для определения  $v^{(a)}$  и  $v^{(a)}$  получаются уравнения плоской леформации для полуполосы, а определение  $v^{(a)}$  сводится в решению антиплоской задачи для полуполосы. Для динамических процессов, соответствующих (2.6) или (2.7), обе эти задачи имеют квазистатический хартьтер как инерционные члены, так и силы электромагнитного происхождения не входят в уравнения ряда первых приближений, а в тех приближениях, в которых они появ-

ляются, определяются через величины, известные из предыдущих приближений. Легко убедиться, что двумерным уравнениям внутренней задачи (5.4)—(5.6), отвечающим точности O(2.2.2.1), соответствуют те же граничные условия, что и в статике оболочки [10].

Определение электродинамического погранслоя для всех компонент индупированного электромагинтного поля приводится к решению одинаковой по виду системе уравнений на плоскости ( $\bar{z}_1$ ,  $\bar{z}$ ). Например, для  $h_a^{(3)}$  указанные уравнения имеют вид

$$\Delta h^{(i)} = 4 - R_m \frac{\partial}{\partial z} \left( H_{a0} \frac{\partial v_x^{(i)}}{\partial z} - H_{10} \frac{\partial v_x^{(i)}}{\partial z} \right) = R^{(i)}$$

$$(6.3)$$

$$\Delta h_{\alpha}^{(1)} := R_{\alpha}^{(3)}; \qquad \Delta = \frac{1}{A_{\alpha}^{2}} \frac{\partial^{3}}{\partial \varepsilon^{2}} + \frac{\partial^{2}}{\sigma_{\alpha}^{2}} \tag{6.4}$$

Уравнение (6.3) имеет место во внутренней области для оболочки, то есть —  $1:0 < 1< \infty$ , а уравнение (6.4) имеет место во внешней от оболочки области.

Отметим, что исследован также погранелой по времени, эти результаты будут приведены в другой работе автора.

В заключение выражаю искреннюю благодарность С. А. Амбарцумяну за обсуждение данной работы и за ценные указания.

ՄԱԳՆԻՍԱԱՌԱՉԳԱԿԱՆՈՒԹՅԱՆ ԵՌԱՉԱՓ ՀԱՎԱՍԱՐՈՒՄՆԵՐԻ ԱՍԻՄՊՏՈՏԻԿ ԻՆՏԵԳՐՄԱՆ ՄԵԹՈԴՈՎ ՀԱՂՈՐԴԻՉ ԲԱՐԱԿ ԹԱՂԱՆԹԻ ՏԱՏԱՆՈՒՄՆԵՐԻ ԱՄԲՈՂՋՈՒԹՅԱՆ ՄԵՋ ԵՐԿՉԱՓ ՏԵՍՈՒԹՅԱՆ ԿԱՌՈՒՑՄԱՆ ՎԵՐԱԲԵՐՅԱԼ

> Ս. Հ. ՍԱՐԳՍՑԱՆ Ամփովոում

Աշխատանքում կառուցվում են հավասարաչափ ասիմպտոտիկ վերլուծություններ բարակ թաղանքի մասնիստառաձգականության եռաչափ հավասարումների համար։ Այս հանապարհով բարակ թաղանքի մագնիստառաձգականության հռաչափ խնդիրը ամբողջության մեջ թերվել է երկչափ խնգրի և ստացվել են ասիմպտոտիկորեն հիշտ երկչափ ինտեղրադիֆերենցիալ հավասարումները դիտարկվող խնդրի համար։ Ուսումնասիրվում է սահմանային չերտը թաղանքի եղրային մակերևույթի մոտ։

THE CONSTRUCTION OF A TWO-DIMENSIONAL THEORY OF VIBRATION OF A CONDUCTIVE THIN SHELL BY MEANS OF ASYMPTOTIC INTEGRATION OF THREE-DIMENSIONAL EQUATIONS OF MAGNETOELASTICITY

S. O. SARKISIAN

Summary

In the paper the uniform asymptotic expansions are built for three-dimensional equations of magnetoelasticity of thin shells. In this way the

33

3 Известия All Армянской ССР, Механика, № 6

general three-dimensional problem of magnetoelasticity of thin shells is deduced to an appropriate two-dimensional problem. The exact asymptotic two-dimensional integro-differential equations are obtained for the problem under consideration. The boundary layer at the shell lateral side is investigated.

#### ЛИТЕРАТУРА

- 1. Амбарцумян С. А. Багдасарян Г. Е., Белубекян М. В. Магинтоупругость тонких оболочек и плистин. М.: Изд. Наука, 1977. 272 с.
- 2. Амбарцумян С. А., Багдасарян Г. Е., Белубекян М. В. К трехмерной задаче маинтоупругих колебании иластияхи. ПММ, 1971, т. 35, вып. 2.
- Амбарцумян С. А., Багдасарян Г. Е., Белубекян М. В. К магнитоупругости тонких оболочен и пластии.— ПММ, 1973, т. 37, пып. 1, с. 111—130.
- Белубскин М. В. К задаче колебаний токонссущих идистин.—Изв. ЛН Арм. ССР, Механика, 1975, т. 28, № 2, с. 22—30.
- Багдасарян Г. Е. К теории колебиний и устойчивости проводящих пластии в продольном магнитном поле. -Докл. АН Арм. ССР, 1975, т. 61, № 5, с. 275—282.
- Багдасарян Г. Е. О приведении трехмерной задачи матинтоупругости тонких пластии к двумерной. Ученые записки ЕГУ, сер. сстест\_ наук. 1977. № 2. с. 46—50.
- Гольденвейзер Л. Л. Построение приближенной теории оболочек при помощи всимптотического интегрирования ураниений теории упругости.—ПММ, 1963, т. 27, вып. 4, с. 593—608.
- т. 27, вып. 4, с. 593—608. 8. Гольденаейзер А. Л. О днумерных уравнениях общей линейной теории тонких упругих оболочек. В сб.: Проблемы гидродинамики и механики сплошной среды. Изд. Наука. 1968. с. 161—176.
- Гольденвейзер А. Л. Погранслой и его взаимодействие с внутрешим напряженным состоянием упругой тонкой оболочки—ПММ, 1969 т. 33. вып. б. с. 997— 1028.
- Гольденвейзер А. Л. Теория упругих тонких оболочек М. П.я. Наука, 1976
   Агаловян Л. А. О некоторых соотношениях классической лицейкой теории анизотропных оболочек и возможностях их уточнения. Изв. АН СССР. МТТ, 1972. № 1. с. 109—120.
- Агаловян Л. А. О приведении пространственной задачи теории упрусости к двумерной для орготройных оболочек и погрешностих некоторых прикладных теорий. Докл. АН Арм. ССР, 1979, т. 69, № 3. с. 151—156.
- 13 Гольденаейзер А. .Т. Асимитотический метод построения теории оболочек. В ки: Материалы 1 Всесоюзной школы по теории и численным методим расчета оболочек и пластин. Тбилиси над. ТГУ, 1975, с. 151—213.
- Гольденвейзер А. Л. Асимптотический метод и теории оболочек. Успехи механики
  Государст, научное издательство «Polish Scientific Publishers», Варшава: 1982,
  т. 5. вып. 1/2, с. 137—182.
- Гуссин-Заде М. И. Асимптотический анализ трехмерных динамических уравнений тонкой пластинки. ПММ. 1974, т. 38, вып. 6, с. 1072—1078.
- Гусейн-Заде М. И. Асимптотический анализ граничных и начильных условий в динамике тонких пластинок. ПММ, 1978, т. 42, вып. 5, с. 899—907.
- Саркисян С. О. К построению двумерной теорин колебаний проводящей тонкой пластинки конечной длины методом асимптотического интегрирования уравнений магнитоупругости.—Изв. АН Арм. ССР, Механика, 1982. т. 35. № 6. с. 34—43
- Саркисян С. О. Асимптотический анализ уравнений, граничных и начяльных условий в магнитоупругости тонких пластинок конечных размеров Механика Межрузовский сборник научных трудов (досвященный 60-летию С. А. Амбарпумяна). Ереван Изд. ЕГУ, 1982, вып. 2, с. 126—133.

Ленинаканский филиал Ереванского политехнического ин-та им. К. Маркся

Поступила в редакцию 22.XI. 1983

Մեխանիկա

XXXVIII, M 6, 1985

Механика

УДК 531 38

#### ОПТИМАЛЬНАЯ СТАБИЛНЗАЦИЯ ПОЛОЖЕНИЯ РАВНОВЕСНЯ ТВЕРДОГО ТЕЛА ПРИ ПОМОЩИ МАХОВИКОВ

#### СААКЯН Л. С.

На основании теоремы Н. Н. Красовского [1] решается звлача об оптимальной стабилизации положения равновесия твердого тела при номощи махоников. Полученный закон управления представляет собой линейную функцию скоростей и координат тела. Выясияется, что при найденном законе управления остальные положения раяновесия тела являются неустойчиными.

§ 1. Рассмотрим твердое тело с неполнижной точкой в центре масс о, по главным осям инерции которого расположены оси трех однородных симметричных маховиков. Маховики приводятся во пращение специальными двигателями. Других внешних сил, действующих на тело, нет.

Введем следующие обозначения:  $o\lambda_1 X_2 X_3$  неподпижная система координат;  $ox_1 x_2 x_3$ —подвижная система осей координат, жестко связанная с телом и совмещенная с его главными осями инерции;  $\rho_i$  —проекции абсолютной мгновенной угловой скорости врашения тела на оси  $x_1, x_2, \dots, C_i$  —моменты инерции системы относительно осей  $x_1, x_2, x_3$ ;  $T_1$ —осевые моменты инерции маховиков. — относительные угловые скорости вращения маховиков (i 1, 2, 3)

Уравнения движения системы запишем в форме трех динамических уравнений Эйлера

$$C_1 \dot{\rho}_1 + T_1 \omega_1 + (C_1 - C_2) \rho_1 \rho_2 + \rho_2 H_1 - \rho_3 H_2 = 0$$
 (1.2.3):  $H_1 = T_1 \omega_1$ , (i=1,2,3)

Уравнения, описывающие вращательное движение маховиков, без учета внутреннего трення в осях имеют вид

$$T_i(\mathbf{r}_i + \mathbf{p}_i) = -\mathbf{r}_i \quad (i = 1, 2, 3)$$
 (1.2)

где  $-u_t$ —управляющие моменты, создаваемые двигателями. Направляющие коспнусы между осями  $oX_1X_2X_1$  и  $ox_1x_2x_3$  зададим в виде таблицы (см. табл. 1) и к уравнениям (1.1) присоединим депять кинематических уравнений Пуассона

$$z_{ij} = z_{ij} z_{ij} - z_{ij} z_{ij}$$
 (1.2.3);  $ii = 1, 2, 3$  (1.3)

имея ввиду, что переменные i (i, k-1, 2, 3) связаны шестью геометрическими соотношениями

$\sum_{i=1}^{3} a_{ki} a_{li} = \frac{1}{2}$	1,	$k = l$ $k \neq l$	(k,	<i>l</i> = 1, 2.	3)	(	1.4)
--	----	--------------------	-----	------------------	----	---	------

Уравнения (1.1)—(1.3) при выключенном управлении  $(n_i = 0, i = 1, 2, 3)$  допускают следующее частное решение:

$$p_i = 0$$
,  $\alpha_{jk} = \begin{cases} 1, & i = k \\ 0, & i \neq k \end{cases}$  (i. k=1, 2, 3),  $\omega_i = \omega_i^0 = \text{const}$  (1.5)

принадлежащее семейству решений  $p_i = 0$ , где  $a_{ik}^{0}$  удовлетворяют соотношению (1.4), описывающему равновесие тели и равномерные вращения маховиков.

Рассмотрим задачу оптимальной стабилизации положения равновесия (1.5), которая состоит в следующем: требуется так подобрать  $u_{ij}$  как функции переменных  $p_{ij}$   $\alpha_{ik}$ , чтобы при достаточно малых начальных возмущениях тело асимптотически приближалось к исходному положению

$$p_i = 0, \quad \alpha_{ik} = \begin{cases} 1, & i = k \\ 0, & i = k \end{cases} \quad (i, k = 1, 2, 3)$$
 (1.6)

и, кроме того, обеспечивался минимум векоторого функционала, интегральным образом, характеризующего качество переходного процесса. При этом угловые скорости  $w_i$  маховиков могут и не достигать своих исходных значений  $w_i^*$ . Поскольку и данной задаче имеет место закон сохранения вектора-момента количества движения системы относительно точки  $v_i$  то есть G = const. то, следуя [2], можно угловые скорости  $w_i$  вращения маховиков исключить из уравнений движения, используя проекции вектора G на оси  $oX_1X_2X_3$ 

$$\sum_{i=1}^{3} (C_i p_i + H_i) \alpha_{hi} = h_k^0 = \text{const}, \ h_k^0 = T_k \omega_h^0, \quad (k = 1, 2, 3)$$
 (1.7)

Так как  $\det \|\mathbf{z}_{ki}\|_{k_{*}=1}^{3}=1$ , то но (1.7) находим

$$C_i p_i + H_i = h_1^0 z_{il} + h_0^0 z_{2i} + h_2^0 z_{3i}, \quad (i = 1, 2, 3)$$
 (1.8)

Теперь уравнения (1.1) с учетом (1.2), (1.8) принимают вид

$$(C_1 - T_1)\rho_1 = (h_1^0 a_{12} + h_2^0 a_{22} + h_3^0 a_{32})\rho_3 - (h_1^0 a_{13} + h_2^0 a_{23} + h_2^0 a_{13})\rho_2 + u_1, \quad (1.2, 3)$$
(1.9)

Угловые скорости  $\omega_i$  маховиков в полученные уравнения (1.9) явно не входят, и, следовательно, можно решить обычную задачу об оптимальной стабилизации положения разновесия (1.6).

Составим урависиня возмущенного движения, приняв для вариаций переменных следующие обозначения:

$$p_{i} = p_{i}, \ \delta_{ii} = a_{ii} - 1, \ a_{ik} = a_{ik}, \ (l+k; i, k = 1, 2, 3)$$

$$(C_{1} = T_{1})p_{1} = (h_{1}a_{12} + h_{2}b_{22} + h_{3}a_{31})p_{3} - (h_{1}a_{13} + h_{2}a_{22} + h_{3}b_{33})p_{2} + h_{2}p_{3} - h_{3}p_{2} + u_{1}, \ (1, 2, 3)$$

$$(1.10)$$

$$\delta_{11} = \alpha_{12} p_3 - \alpha_{13} p_2, \quad \alpha_{21} = \delta_{22} p_3 - \alpha_{23} p_2 \cdot p_3, \quad \alpha_{31} = \alpha_{32} p_3 - \delta_{23} p_2 - p_2, \quad (1, 2, 3)$$

$$(1.11)$$

где через  $h_t$  обозначены возмущения постоянных кинетического момента (1.7).

§ 2. Пусть на движениях системы (1.10). (1.11) требуется минимиаировать следующий функционал:

$$T = \int_{0}^{\infty} \left| C_{1} u_{1}^{2} + C_{2} p_{2}^{2} + C_{3} p_{3}^{2} + \frac{1}{4C_{1}} (n_{3} a_{32} - n_{4} a_{23} + u_{1})^{2} + \frac{1}{4C_{2}} (n_{1} a_{13} - n_{3} a_{31} + u_{2})^{2} + \frac{1}{4C_{3}} (n_{2} a_{21} - n_{1} a_{12} + u_{3})^{2} \right| dt$$

$$(2.1)$$

который, очевидно, удовлетворительно обеспечивает затухание возмущенного движения и опенивает ресурсы, затрачиваемые на формирование управляющих воздействий  $u_i$  (i=1, 2, 3). В выражении (2.1)  $n_i$  = const > 0 (i=1, 2, 3) будут определены далее.

Рассмотрим определенно-положительную функцию

$$2V = \sum_{i} (C_{i} - T_{i}) p_{i}^{2} + n_{1} (\delta_{11}^{2} + \alpha_{12}^{2} - \alpha_{13}^{2}) + n_{2} (\alpha_{21}^{2} + \delta_{22}^{2} - \alpha_{23}^{2}) + n_{3} (\alpha_{31}^{2} + \alpha_{32}^{2} + \delta_{33}^{2})$$

$$(2.2)$$

Для определения стабилизирующих воздействий  $u_i$  (i=1, 2, 3) составим выражение [1]

$$B[V; p_{1}, p_{2}, p_{3}, a_{11}, a_{12}, ..., a_{33}; u_{1}, u_{2}, u_{3}] = -\left[p_{1}(n_{1}a_{3}) - n_{2}a_{3}\right] + p_{2}(n_{3}a_{31} - n_{1}a_{13}) + p_{3}(n_{1}a_{12} - n_{2}a_{21}) - \sum_{i=1}^{3} p_{i}u_{i}\right] + C_{1}p_{1} + C_{2}p_{2} + C_{3}p_{3}^{2} + \frac{1}{4C_{1}}(n_{3}a_{32} - n_{2}a_{23} + u_{1})^{2} + \frac{1}{4C_{2}}(n_{1}a_{13} - n_{3}a_{31} + u_{2})^{2} + \frac{1}{4C_{2}}(n_{2}a_{31} - n_{1}a_{12} - u_{3})^{2} \geqslant 0$$

$$(2.3)$$

которое, согласно условиям теоремы об оптимальной стабилизации, при  $u_1 = u_2$  достигает минимума, равного пулю.

Оптимальные управляющие воздействия имеют вид:

$$u_1^0 = -2C_3p_1 + n_2\alpha_{23} - n_3\alpha_{32}, \quad u^0 = -2C_2p_2 + n_3\alpha_{31} - n_{11},$$

$$u_2^0 = -2C_3p_3 + n_1\alpha_{12} - n_2\alpha_{21}$$
(2.4)

Поскольку подыптегральное выражение в (2.1) является лишь знакопостоянной формой, то для установления факта асимптотической устойчивости невозмущенного движения (1.6) воснользуемся теоремой Барбашина и Красовского [3].

Производная функции (2.2) по времени, составленная в силу уравнении возмущенного движения (1.10), (1.11), с учетом (2.4) имеет вид

$$\bar{V} = -2(C_1 p_1^2 + C_2 p_2^2 + C_3 p_3^2) \tag{2.5}$$

то есть является знакопостоянной отринательной функцией от вариаций переменных системы, а многообразие N точек, где V=0, имсетвид

 $p_1 = p_2 = p_3 = 0$ ,  $\delta_{li}$ ,  $a_{ll}$  — произвольны. (2.6)

Покажем, что в некоторой окрестности невозмущенного движения

$$p_i = 0, \quad a_{ij} = 0, \quad a_{ij} = 0, \quad (i \neq j; \ i, j = 1, 2, 3)$$
 (2.7)

многообразие (2.6), при соответствующем выборе величии  $n_t$  в (2.4), не содержит других целых движений системы, кроме (2.7). При значениях  $p_1 = p_2 = p_3 = 0$  уравнения движения (1.10), (2.4), (1.11) принимают вид

$$n_2 a_{23} = n_3 a_{32}$$
,  $n_1 a_{34} = n_1 a_{33}$ ,  $n_1 a_{32} = n_2 a_{23}$ ,  $a_{ii} = 0$ ,  $a_{i0} = 0$ ,  $(i \neq j; i, j = 1, 2, 3)$  (2.8)

Соотношения (1.4) с учетом (2.8), записанные в вариациях переменных, имеют следующий вид:

$$\begin{split} \delta_{11}^2 + a_{12}^2 + a_{13}^2 + 2\delta_{11} &= 0, \quad a_{12}(1 + k_1 + \dots + a_{13}a_{23}) = 0 \\ + \delta_{21}^2 &= 2\delta_{22} &= 0, \quad a_{13}(1 + k_2 - \delta_{33} + k_3\delta_{11}) + k_3a_{12}a_{23} = 0 \\ + \delta_{33}^2 &= 2\delta_{33} &= 0, \quad a_{23}(1 + k_3 + \delta_{33} + k_3\delta_{23}) + k_1k_2a_{12}a_{13} = 0 \end{split}$$

где обозначено: 
$$k_1 = \frac{n_1}{n_1}$$
,  $k_2 = \frac{n_2}{n_3}$ ,  $k_3 = \frac{n_2}{n_3}$ ,  $k_2 = k_1 k_3$ .

Поскольку каждый элемент матрицы направляющих косипусов равен своему алгебранческому дополнению, то, поступая аналогично, как и выше, для величин  $\alpha_{12}, \alpha_{13}, \alpha_{13}$  будем иметь следующие соотношения:

$$\alpha_{13}(1+k_1+k_2+k_3) = k_1 \alpha_{13}(1+k_2+k_3) = k_1 \alpha_{13} \alpha_{13}(1+k_3+k_3) = k_1 \alpha_{13}(1+k_3+k_3) = k_1 \alpha_{13}(1+k_3+k_3) = k_1 \alpha_{13}(1+k_3+k_3) = k_1 \alpha_{13}(1+k_3+k_3) = k_2 \alpha_{13}(1+k_3+k_3) = k_3 \alpha_{13}(1+k_3+k_3)$$

Подставив выражения (2.10) во вторую группу уравнении (2.9), получим

$$a_{12}(k_1k_2\delta_{11} + k_2\delta_{22} + k_1\delta_{33} - k_1k_2 + \dots + k_n + 1) = 0$$

$$a_{13}(k_1k_2\delta_{11} + k_1 + k_1\delta_{12} + k_1k_2 + k_1 + k_2 + 1) = 0$$

$$a_{13}(k_1k_2\delta_{11} + k_2\delta_{22} + k_1\delta_{33} + k_1k_2 + k_1^2 + k_2 + k_1) = 0$$

$$(2.11)$$

Величины  $k_z > 0$  можно выбрать так, чтобы первые два ураниения системы (2.11) имели место только при  $z_{11} = z_{11} = 0$ . Действительно, рассмотрим соотношение

$$k_1 k_2 a_{11} + k_2 a_{12} + k_1 a_{13} + k_2 + k_3 + k_4 + k_5 + k_6 + k_6$$

Уравнение (2.12) в пространстве переменных  $\sigma_{tt}$  (t=1,2,3) определяет илоскость, которан отстоит от начала координат на расстоянии

$$h = \frac{(1 + k_1)(1 + k_2)}{\sqrt{k_1 - k_2 + k_3}} \tag{2.13}$$

Из (2.13) имеем уравнение

$$[(1+k_1)^2 - h^2(1+k_1)]k_2 - 2(1+k_1)^2 + (1-k_1)^2 - h^2k_1^2 = 0$$

на которого получим

$$-\frac{-(1+k_1)^2\pm \int h^3k_1^2(1+k_1)\left[\frac{(1+k_1)^2}{k_1}+\frac{(1+k_1)^2}{1+k_1^2}-h^3\right]}{(1+k_1)^2-h^3(1+k_1^2)} \tag{2.14}$$

Так как париации  $\delta_{n}$  (t=1,2,3) меняются в пределах  $-2 \leqslant \delta_{H} \leqslant 0$ , то при  $h^{2} > 12$  плоскость (2-12) с кубом -2 — 0 общих точек иметь не будет (12 –квадрат расстояния от вершины  $\delta_{H} = -2$  (t=1,2,3) куба до начала координат).

Следовательно, если  $k_i$  определить из условия

$$\frac{(1+k_1)^2}{k_1^2} = \frac{(1+k_1)^2}{1 + k_1^2} = h^2 > 12, \quad (0 < k_1 < 1)$$
 (2.15)

в  $k_{\rm g}$  из условия (2.11), с учетом (2.15), то есть

$$k_{\rm s} = -\frac{1}{(1+k_{\rm s})^2 - h^2(1-k_{\rm s})^2}$$
 (2.16)

то первые два уравнения (2.11) имеют место только при  $\mathbf{z}_{11} = \mathbf{z}_{11} = 0$ . Первое уравнение (2.9) при этом примет вид  $\delta_{11}^2 = 2\delta_{11} = 0$ , то есть  $\delta_{11} = 0$ , либо  $\delta_{11} = -2$ .

Из третьего соотношения (2.10) получим

$$a_{23}(k_1 + k_2 + k_3 k_{11}) = k_1 k_2 a_{12} a_{13} = 0$$

то есть  $a_{22} = 0$ , так как  $a_{11} = 0$ , либо  $a_{11} = -2$ , а  $k_1 = k_2$ . Тогда из первой группы уравнений (2.9) следуют равенства

$$\frac{\partial_{11}}{\partial_{12}} = 0$$
, то есть  $\frac{\partial_{12}}{\partial_{13}} = 0$ , либо  $\frac{\partial_{23}}{\partial_{13}} = -2$ 

Таким образом, если начальные возмущения принадлежат области  $\mathcal{C}_{10}^2+\mathcal{C}_{30}^2<4$ , то многообразие N точек, гле  $\dot{V}=0$ , при условиях (2.15). (2.16) не содержит других целых движений системы, кроме движения (2.7). Следовательно, невозмущенное движение (2.7) всимптотически устойчиво по Ляпунову [3] по отношению к ( $p_i$ ),  $\delta_{ii}$ ,  $\alpha_{ij}$ . Аналогично, как в [4], можно показать, что при наличии управляющих воздействий (2.4), за все время движения системы (1.10), (1.11), либо  $\omega=0$ , либо  $\omega\to0$  при  $t\to-\infty$ ,  $\omega$ —вектор мгновенной угловой скорости тела.

Найденным движениям системы, кроме (2.7), соответствуют положения равновесия тела, при которых

$$p_l = 0, \quad a_{lk} = \begin{cases} -1, & l = k \\ 0, & l \neq k \end{cases} \quad (i, k = 1, 2, 3)$$
 (2.17)

Покажем, что все положения равновесия тела (2.17), кроме (1.6), при управлении (2.4) пеустойчивы по Ляпунову.

Рассмотрим, например, положение равновесия

$$p_i = 0$$
,  $a_{11} = -1$ ,  $a_{22} = 1$ ,  $a_{33} = -1$ ,  $a_{1k} = 0$ ,  $(i \neq k; i, k = 1, 2, 3)$ 

Составим уравнения возмущенного движения, сохраняя за вариациями переменных принятые обозначения. Имеем

$$(C_{1} - I_{1})p_{1} = (h_{1}i_{12} + n_{2}i_{22} + n_{3}a_{32})p_{3} - (h_{1}a_{13} + h_{3}i_{33})p_{2} + n_{1}p_{1} - h_{3}p_{2} - 2C_{1}p_{1} + n_{2}a_{23} - n_{3}a_{32}, \quad (1 \ 2 \ 3)$$

$$\tilde{a}_{11} = a_{12}p_{3} - a_{13}p_{2}, \quad a_{21} = a_{22}p_{3} - a_{23}p_{2} + p_{3},$$

$$a_{21} = a_{32}p_{3} - \tilde{a}_{33}p_{2} + p_{3}$$

$$(1 \ 2 \ 3)$$

Рассмотрим функцию

$$2V_1 = \sum_{i=1}^{n} (C_i - T_i)p_i^2 - n_1(\alpha_1 + r_1)^2 - n_2(\alpha_2 - r_2)^2 - n_3(\alpha_3 + r_3)^2$$
 (2.19)

где  $\mathbf{z}_i^T = (\mathbf{z}_{i1}, \ \mathbf{z}_{i2}, \ \mathbf{z}_{i3}), \ (i=1,\ 2,\ 3), \ \mathbf{a}\ r_i + \mathbf{e}$ линичные орты подвижных осей  $ox_i \ (i=1,\ 2,\ 3).$ 

Производная по времени от функции (2.19), составленияя в силу уравнений возмушенного движения (2.18), равна

$$V_1 = -2(C_1 p_1^2 + C_2 p_2^2 + C_3 p_3^2)$$

Возьмем последовательность начальных данных  $\omega_k \to 0$ ,  $\alpha_{1h} \to -r_1$   $\alpha_{2h} \to r_2$ ,  $\alpha_{3h} \to -r_1$  так, чтобы было  $V_1 \leqslant 0$  при  $t = t_0 \geqslant 0$ . Так как функция  $V_1$  не возрастает, то при  $t \geqslant t_0$  будет  $V_1 \leqslant V_{10}$ , где  $V_{10} \to$  значение функции  $V_1$  при  $t = t_0$ . С другой стороны,  $\omega_1^2 \to 0$  при  $t \to \infty$  на яюбом движении системы (1.10), (1.11), (2.4) и тело стремится к одному из положений равновесия (2.17) или (1.6), то есть  $\alpha_i \times r_i \to 0$  при  $t \to +\infty$ , (t=1, 2, 3).

Если  $\mathbf{z}_1 \longrightarrow r_1$ ,  $\mathbf{z}_2 \longrightarrow r_2$ ,  $\mathbf{z}_3 \longrightarrow r_1$  при  $t \to +\infty$ , то из (2.19) следовало бы — По из неравенства —  $V_{10} < 0$  вытекает, что во все время движения  $n_1(\mathbf{z}_1 + r_1)^2 + n_3(\mathbf{z}_1 + r_3)^2 > h > 0$ , то есть не стремится к нулю при  $t \to +\infty$ .

Это означает, что интегральные кривые, начинающиеся в сколь угодно малой окрестности выбранного положения равновесия, покидают некоторую фиксированную окрестность при возрастании времени, что свидетельствует о неустойчивости по Ляпунову.

Аналогичным путем факт неустойчивости можно установить и для остальных положений равновесия (2.17).

Таким образом, установлено следующее утверждение,

При управляющих воздействиях (2.4), приложенных к маховикам, где t > 0 (t = 1, 2, 3) сиязаны соотношениями

$$u_1 = u_2 k_1$$
,  $u_3 = u_3 k_3$ ,  $k_4 = k_1 k_3$ 

а величины  $\kappa_1, \, \kappa_2$  определяются из условии (2.15) (2.16), любое движение твердого тела либо является состоянием покоя, либо стремится к

такому состоянию, причем положение равновесия (1.0) асимплотически устойчиво по Ляпунову по отношению к переменным  $\vec{p}_n$ ,  $z_n - 1$ ,  $z_n$ , а любое другое положение равновесия (2.17), отличное от (1.6), обязательно будет пеустойчивым. При этом, управляющие воздействия (2.4) минимизируют функционал (2.1).

Нанденное управление (2.4) с точностью до постоянных множителей, совпадает с линейной частью управления, полученного в [2]

## ՊԻՆԳ ՄԱՐՄՆԻ ՀԱՎԱՍԱՐԱԿՇՌՈՒԹՑԱՆ ԳԻՐՔԻ ՈՊՏԻՄԱԼ ՍՏԱՐԻԼԻԶԱՑԻԱՆ ԹԱՓԱՆԻՎՆԵՐԻ ՄԻՋՈՑՈՎ

t. U. VOZUGBUY

## Unfonding

Ն. Ն. Կրասավակու թեորեմի հիման վրա լուծվում է պինց մարմնի հավասարակուության դիրքի օպտիմալ ստաթիլիզացիայի խնդիրը թեսփանիվների միջոցով։ Ստացված ղեկավարման օրենքը իրենից ներկայացնում է մարմնի արազության և կոորդինատների զձային ֆունկցիա։ Պարզվում է, որ դտած ղեկավարման օրենքի դեպքում ժարմնի մնացած հավասարակչուսթյան դիրընրը անկայուն են։

# OPTIMUM STABILIZATION OF THE POSITION OF EQUILIBRIUM OF THE SOLID SUBSTANCE WITH THE HELP OF HANDWHEELS

## L. S. SAHAKIAN

## Summary

On the basis of Crasovsky's theorem [1] the problem of optimum stabilization of the position of equilibrium of the solid substance with the help of handwheels is solved.

The obtained law of control is a linear function of velocities and coordinates of the substance. As it turns out, by means of the obtained law of control, the rest of the positions of equilibrium of the substance are unstable.

### ЛИТЕРАТУРА

- 1. Красовский Н. Н. Проблемы стабилизации управляемых движевий. В ки Теории устойчиности движения. Дин 4 М.: Наука, 1966
- Крементуло В. В. Стабилизации стационарных динжений твердого тела М Паука, 1977.
- Барбишин Е. А., Красонский Н. И. Об устойчивости движения в целом ДАН СССР, 1952, 86, № 3.
- 4. Зубов В. 11. Лекшин по теории управления М. Наука, 1975.

Ереванский государственный университет

> Поступила и редакцию 7.XII, 1983

Մեխանիկա

XXXVIII. № 6, 1985

Механика

УЛК 620.1 - 539.4

# ПОСТАНОВКА ЗАДАЧИ И НЕКОТОРЫЕ ОБЩИЕ РЕШЕНИЯ ДЛЯ ЦИЛИНДРИЧЕСКОГО РАСТУЩЕГО ТЕЛА

### тринчер в. к.

Постановки задачи об определении напряженно-деформированного состояния (НДС) растущих тел даны в ряде работ [1—8]. Однако, в указанных работах вводились более или менее существенные ограничения на модель среды и условия на растущей границе. Ниже рассматривается общая геометрическая линейная квазистатическая постановка задачи расчета растущих тел в приложении к растущему круговому цилиндру: дано доказательство корректности постановки. Для линейно-упругого цилиндра, находящегося в состоянии плоской деформации, решение задачи сведено к квадратурам. Для наиболее исследованного в литературе случая осесимметричного НДС [9—12] получено конечное решение задачи при произвольных условиях на растущей границе, а также общее решение обратной задачи, то есть задачи определения условий на растущей границе, обеспечивающих получение требуемого ПДС к концу роста тела.

Пусть в начальный момент времени ( 0 тело занимает объем

$$\Omega(0)$$
:  $r = x_1 \in [r_0, r_1], \quad 0 = x_2 \in [0, 2n], \quad z = x_3 \in [z_1, z_2]$ 

Растушая граница задана монотонной функцией одного переменного:

$$x_1 = f(t)$$
  $(f(0) = r_1)$  или  $t = t^*(x_1)$ .

Поле температур также задано: T = T(x, t). Постановка задачи включает в себя следующие соотношения:

1. Уравнения равновесия

$$\frac{\partial z_{11}}{\partial x_1} + \frac{1}{x_1} \frac{\partial z_{12}}{\partial x_2} + \frac{\partial z_{13}}{\partial x_3} + \frac{z_{11} - z_{12}}{x_3} = 0 \quad \text{if T. 2.}$$

2. Соотношения Коши для тензора скоростей полных деформаций

$$e_{11} = \frac{\partial u_1}{\partial x_1}, \quad e_{12} = \frac{1}{x_1} \frac{\partial u_1}{\partial x_2} + \frac{\partial u_2}{\partial x_1} - \frac{u_2}{x_1} \qquad \text{if } \tau. \text{ Д.}$$

$$\left(u(x, t) = \frac{\partial u(x, t)}{\partial t}\right) \tag{2}$$

Относительно этих соотношений см. замечания ниже.

Выраження для тензора скоростей силовых деформаций
 42

$$\dot{e}_{i} = \dot{e}_{ij} - \dot{e}_{ij}^{T} \tag{3}$$

где тензор скоростей температурных деформаций e<sub>1</sub> предполагается известным в силу заданности поля температуры и определяется, например, соотношениями

$$\vec{e}_{ij}^T = x_h(T) \delta_{ik} \delta_{kj} \vec{T}(\vec{x}, t)$$

4. Какие-либо уравнения состояния, для определенности примем соотношения нелинейной вязкоупругости

$$c_{ij} - A_{likl} \left( e_{mn}^c, T \right) e_{kl}^c = o\left( c_{ij} - B_{likl} e_{kl}^c \right) \tag{4}$$

(здесь заложено предположение, что полимй тензор силовых деформаций есть  $e_{i,-} = (e_{i,-}(x,\tau)d\tau,$  что является приблаженно верным равенством при малых деформациях; таким образом, речь идет о постановке задачи при малых деформациях и перемещениях).

Полная система уравнений (1)-(4) должна быть дополнена начальными и граничными условиями. В начальном объеме  $\Omega(0)$  условия при t=0 завнеят, как известно, от принимаемой модели среды; при модели среды типа (4) эти условия в общем случае могут быть записаны в виде (как в общем случае и для тела со стационарной границей)

$$\sigma_{ij}(x, 0) = \sigma_{ij}(x), \quad (x, 0) = e^{\pi}(x)$$
 (5')

$$e_{ij}(x, 0) = 0, \quad u_i(x, 0) = 0 \quad (r_0 \leqslant x_1 \leqslant r_1)$$
 (5")

При этом функции  $\mathfrak{s}^n(x)$  удовлетворяют уравнениям равновесия и соответственно независимыми среди них являются 3 функции; функции  $e^n(x)$  при модели среды типы (4) все являются независимыми. Соотношения (5") не существенны в этом смысле, что начальные значения величин  $e_n$  и  $u_1$  могут быть заданы и произвольными функциями от x; вид этих функций, как видно из системы (1) – (4), куда величины и  $u_1$  входят только их частными производными по t, не влияет на расчет величин  $\mathfrak{s}_{t,1}$   $e^n_{t,1}$  —  $e_n(x,t)$  —  $e_n(x,0)$ ,  $\mathfrak{s}_{t,1}$  —  $\mathfrak{s}_{t,2}$  —  $\mathfrak{s}_{t,3}$  —  $\mathfrak{s}_{t,4}$  —  $\mathfrak{s}_$ 

На стационарной части границы принимаются какие либо стандартные граничные условия, например:

$$i\sigma_{1l}(r_0, x_2, x_3, t) = u_1(r_0, x_1, x_3, t) = 0$$

$$\sigma_{3l}(x_1, x_2, z_1, t) = \sigma_{2l}(x_1, x_2, z_2, t) = 0$$
(6)

На растушей части границы необходимо задание полного НДС; для растушего тела с моделью среды типа (4), это означает

$$\sigma_{ij}(x, t^*(x_1)) = \sigma_{ij}(x), \quad e_{ij}^c(x, t^*(x_1)) = e^{\pi}(x)$$
 (7')

$$e_{ii}(x, t^*(x_1)) = 0, \quad u_i(x, t^*(x_1)) = 0, \quad (r_i < x_1)$$
 (7)

Для соотношений (7) полностью справедливы вышесделанные замечания относительно (5). Тензора  $z_I^n(x)$ ,  $e_i^n(x)$  при  $x_1 > r_1$  должны быть определены из технологии или физики роста теля до решения краевой адачи, как, вообще говоря, двеняднать независимых функций; при упругой молели среды независимыми являются шесть функций, например,  $z_I^n(x)$ . Необходимость задания волного НДС на растушей граници можно поясинть делующими сображениями непрерывный рост тела можно рассматривать как предельный случай сопряжения тел, и задание НДС на растушей границе («виутри» границы) соответствует заданию начального НДС в бесконечно малом объеме присоединяемому к телу в момент t за время dt. Па требования самоуравновенности НДС в бесконечно малом объеме не следует при  $x_1 > r_1$  ограничения испосредственно на величины  $z_I^n(x)$  (см. ниже).

Возможность независимого задания тензоров  $z^n(x)$  и  $e^n(x)$  на растушей границе можно произлюстрировать на следующем идеализированном технологическом процессе. Пусть растуший цилиндр образуется намоткой вязкоупругой ленты (с уравнением состояния типа (4)), причем лента после вхождения в контакт с растущим телом образует сплошную среду с уравнением состояния исходного материала. Компоненты тензора определяются натяжением ленты и давлением в среде, в которой происходит намотка, а компоненты тензора силовых деформаций  $e^n_{ij}(x)$  определяются временим нахождения ленты в нагруженном состоянии до вхождения в контакт с наматываемым цилиндром. Все компоненты тензоров  $z^n$  и  $e^n$  (кроме, очевидно, компонент, являющихся нулевыми в силу симметрии наматываемого тела) в данном случае легко определяются и могут независимо задаваться нарьированием параметров технологии намотки.

Для постановки задачи об определении НДС растушего тела сужественным является использование соотношений Коши в их первичном виде, то есть относительно скоростей тензора полных деформаций. Из этих соотношений следует приближенная справедливость соотношений Коши относительно тензора полных деформаций и для тела со стационарной границей. Действительно, имеем, например,

$$\frac{\partial u_1(\bar{x},t)}{\partial x_1} = \frac{\partial}{\partial x_1} \int_0^t u_1(\bar{x},\tau)d\tau = \int_0^t \frac{\partial u_1}{\partial x_1}d\tau = \int_0^t e_{11}d\tau = e_{11}(\bar{x},t)$$
 (8)

Для тела с растущей границей имеем, напротив, неравенство

$$\frac{\partial u_1(x,t)}{\partial x} = \frac{\partial}{\partial x_1} \int u_1 dx = e_{11}(x,t) - u_1(x,t) - u_1(x,t)$$
 (9)

Итак специфика постановки (1)—(7) задачи для растущего теля заключается: 1) в использовании соотношений Коши только в виде (2); 2) в формулировке граничных условий на растущей части граничы в виде (7).

Для доказательства корректности постановки (1)—(7) приведем ее к следующему эквивалентному виду: рассмотрим систему уравнений (2)—(4) и уравнения (1) взятого в продифференцированном по t виде. Относительно уравнения состояния (4) необходимо заметить, что если, в частности, имеем упругую модель среды, то уравнение состояния также берем в виде, продифференцированном по t. Так сформированную систему уравнений обозначим (1')—(4'). Граничные условия на стационарной части границы также продифференцируем по времени (в обозначим (6')).

Покажем теперь что из граничных условий (7) следуют стандартные граничные условия 2-го рода относительно компонент тензора Действительно, подставляя следующие из (7) равенства вида

$$\frac{\partial z_{11}(x, t^*(x_1))}{\partial x_1} = \frac{\partial z_{11}(x)}{\partial x_1} = z_{11}(x, t^*(x_1)) \frac{\partial t^*}{\partial x_1}, \quad \frac{\partial z_{12}}{\partial x_2} = \frac{\partial z_{12}}{\partial x_2} \quad \text{if } \tau \in A.$$

в уравнения равновесия, получаем

$$\frac{1}{\sigma_{11}(x, t^{*}(x_{1}))} = \frac{1}{dt^{*}/dx_{1}} \left| \frac{\partial a_{1}^{n}}{\partial x_{1}} + \frac{1}{x_{1}} \frac{\partial z_{1}^{n}}{\partial x_{2}} - \frac{\partial a_{13}^{n}}{\partial x_{3}} + \frac{z_{11} - z_{12}^{n}}{x_{1}} \right| = \Phi_{1}(x)$$

$$\sigma_{12}(x, t^{*}(x_{1})) = \frac{1}{dt^{*}/dx_{1}} \left| \frac{\partial z_{1}^{n}}{\partial x_{1}} - \frac{\partial z_{13}^{n}}{\partial x_{2}} - \frac{\partial z_{13}^{n}}{\partial x_{3}} + \frac{z_{11} - z_{12}^{n}}{x_{1}} \right| = \Phi_{1}(x)$$

$$= \Phi_{2}(x) \qquad (10)$$

Соотношения (10) определяют через заданные функции оп(x) компоненты вектора скоростей изменения напряжений на растущей части границы; таких соотношений 3 и только 3—по числу уравнений равновесия.

Система уравнений (1') (4') с грачичными условиями (6'), (10) в каждый момент времени t является корректной линсйной красной задачей относительно скоростей изменения НДС  $a_{tl}(x,t)$ ,  $u_{t}(x,t)$  и t. д. с уравнением состояния вида  $a_{tl} = A_{tlht}(x)e^{c}_{tl} + B_{tl}(x)$ . Эта задача заменой переменных  $a_{tl} = a_{tl} - B_{tl}(x)$  сводится к обычной задаче с массовыми силами с уравнением состояния вида  $a_{tl} = A_{tlht}(x)e^{c}_{hl}$ .

Второй варнант постяновки замыкается всегда корректными соотношениями;

$$\sigma_{ll}(x,t) = \int_{0}^{1} \sigma_{ll}(x,\tau)d\tau - \sigma_{ll}^{n}(x), \quad e_{ll}(x,t) = \int_{0}^{1} e_{ll}d\tau$$

$$e_{ll}(x,t) = \int_{0}^{1} \sigma_{ll}(x,\tau)d\tau - \sigma_{ll}^{n}(x), \quad e_{ll}(x,t) = \int_{0}^{1} u_{ll}d\tau \qquad (11)$$

Соотношения (II) записаны для приращенной части тела; для области  $\mathfrak{Q}(0)$  нижний предел в интегралах соотношений (II) следует заменить на нуль.

Применяя к тензору напряжений, представленному соотношением (11), оператор уравнения равновесия

$$L_k \sigma_{ij} = \int_{t^*(x_1)}^t L_k \sigma_{ij} d\tau - \sigma_{ik}(\vec{x}, t^*(x_1)) \frac{dt^*}{dx_1} + L_k \sigma_{ij}^*(\vec{x}) = 0$$

видим- что это равенство выполняется в силу уравнении (1) и (10) при любых функциях  $\sigma_n^\mu(x)$ .

Из постановки задачи в виде (1')—(4'), (6'), (10), (11) непосредственно вытекает и следующий метод решения—метод Эйлера по переменной t: имея НДС на временном слое  $t=t_n$  в области  $\Omega(t_n)$ , определяем скорости изменения НДС в области  $\Omega(t_n)$  из решения краевой задачи (1'), . . . (10). На временном слое  $t_{n+1}=t_n+4t_{n+1}$  НДС определяется соотношениями вида

$$\begin{aligned}
\sigma_{ij}(x, t_{n+1}) &= \sigma_{ij}(x, t_n) + \sigma_{ij}(x, t_n) \Delta t_{n+1}, \quad x \in \Omega(t_n) \\
\sigma_{ij}(x, t_{n+1}) &= \sigma^{ij}(x), \quad x \in \Delta \Omega(t_{n+1}) \quad \text{if if } \quad x_1 = f(t_{n+1})
\end{aligned} \tag{12}$$

после чего имеем необходимые данные для решения краевой задачи в области  $\Omega(t_{\tau-1})$ . Для решения краевых задач при каждом и применимы стандартные программы. Отметим, что при линейно-упругой моделя среды с модулями, возможно, зависящими от координаты x, но не от времени и, в частности, не от температуры T(x, t) краевые задачи (1') - (4'), (6'), (10) при каждом t являются пезависимыми; соответственно, в этом случае поле скоростей изменения НДС растущего тела может быть построено полностью без построения самого НДС.

В заключение рассмотрим две задачи для линейно-упругого растущего инлиндра.

1. Пусть цилиндр находится в состоянии плоской деформации и НДС осесимметрично, то есть рассмотрим многократио исследованную одномерную по координате задачу. Примем ортотропную модель среды с модулями, не зависимыми от координат.

$$a_{n} = ae_{n}^{c} + be_{\theta\theta}^{c}$$
,  $a_{\theta\theta} = be_{n}^{c} + ce_{\theta\theta}^{c}$ 

Здесь несущественные для задачи члены опущены. На стационарной границе  $r = r_0$  имеем

$$\lambda_{0,r}(r_0,t) - u(r_0,t) = 0$$

На растушей границе примем условия в общем для данной задачи виде

$$\sigma_{rr}(r, t^*(r)) := \sigma_{rr}^{n}(r), \quad \sigma_{80}(r, t^*(r)) := \sigma_{60}^{n}(r)$$

Граничные условия (10) имеют в рассматриваемом случае вид

$$\delta_{rr}(r, t^*(r)) = \frac{1}{dt^*/dr} \left| \frac{d\sigma_{rr}^*}{dr} + \frac{\sigma_{rr}^* - \sigma_{r\theta}}{r} \right| = \Phi(r)$$

Не снижая общности, для упругой задачи можно принять  $t^*(r) = r$ . Кроме того, примем 7 0,  $r_1 = r_0$ .

Общая постановка (1') — (4') сводится к уравнению

$$\frac{\partial^2 u(r,t)}{\partial r^2} = \frac{1}{r} \frac{\partial u(r,t)}{\partial r} = \frac{k^2}{r} u(r,t) = 0 \quad (k = \frac{\epsilon}{n})$$

имеющему общее решение

$$u(r, t) = A_1(t)r^k - A_2(t)r^{-k}$$

Соответственно, имеем

$$o_{rr}(r, t) = \frac{1}{r} [(ka+b)A_1(t)r^k - (ka-b)A_2(t)r^{-k}]$$

Подставляя последние выражения в граничные условия, получаем систему 2-х линейных алгебраических уравнений относительно  $A_t(t)$ , решением которой являются выражения

$$A_{1}(t) = r_{0}^{-k} \left[ 1 + \frac{1}{r_{0}} (ak - b) \right] t \Phi(t) F(t)$$

$$A_{1}(t) = -r_{0}^{-k} \left[ 1 - \frac{h}{r_{0}} (ak + b) \right] t \Phi(t) F(t)$$

где

$$F(t) = t^{k} \left[ ak + b + \frac{\lambda}{r_{0}} (c^{2} - b^{2}) \right] + t^{-k} \left[ ak - b - \frac{\lambda}{r_{0}} (c^{2} - b^{2}) \right]$$

Окончательно общее решение получаем в виде

$$z_{rt}(r,t) = \frac{1}{r}F(r)\int \frac{\tau\Phi(\tau)}{F(\tau)}d\tau + z_{rt}(r)$$

$$u(r,t) = \left[ \left(\frac{r}{r_0}\right)^{\frac{1}{r_0}} \right] + \left(\frac{r}{r_0}\right)^{-\frac{1}{r_0}} \left[ 1 - \frac{r}{r_0} \left(ak \cdot b\right) \right] \times \left[ \frac{\tau\Phi(\tau)}{F(\tau)} d\tau \right] \tag{13}$$

II T. J.

Оченидно, что и при Т≠0 общее решение вычисляется в квалратурах. Решение (13) можно считать принципиально новым, по-видимому, лишь постольку, поскольку эта задача не рассматривалась ранее с общими граничными условиями на растущей границе.

Перейдем к обратной задаче: какова должна быть программа нагружения, то есть функции  $\sigma_{r,r}^*(r)$ ,  $\sigma_{00}(r)$ , чтобы к концу процесса роста t=R в теле было заданное напряженное состояние  $\sigma_{r,r}^k(r)$ ,  $\sigma_{00}(r)$   $(r \in [r_0, R])$ .

Одно решение этой задачи можно счигать очевидным:

$$\sigma_{cr}^k(r)$$
,  $\sigma_{cr}^k(r)$ ,  $\sigma_{cr}^k(r)$ 

Естественно, оно следует и из общего решения (13), поскольку, в силу самоуравновещенности напряжений  $z_r^h$ ,  $z_{rs}^h$ , в этом случае  $\Phi(t) = 0$ . Получим общее решение задачи. Преобразуя равенство  $z_{rs}(r,R) = \sigma_{rs}^h(r)$ , имеем:

$$\int_{-F(\tau)}^{R} \frac{-\Phi(\tau)}{F(\tau)} d\tau = \frac{r(s_{rr}^{k}(r) - s_{rr}^{n}(r))}{F(r)}$$

Дифференцируя его по г, получаем уравнение

$$-\frac{rd\mathfrak{z}_{r}^{\mathfrak{n}}/dr+\mathfrak{z}_{r}^{\mathfrak{n}}-\mathfrak{z}_{\mathfrak{n}}^{\mathfrak{n}}}{F(r)}=\frac{\mathfrak{z}_{rr}^{\mathfrak{h}}-\mathfrak{z}_{\mathfrak{n}}^{\mathfrak{n}}}{F(r)}+\frac{r}{F(r)}\left(\frac{d\mathfrak{z}_{rr}^{\mathfrak{h}}}{dr}-\frac{d\mathfrak{z}_{rr}^{\mathfrak{h}}}{dr}\right)-\frac{r(\mathfrak{z}_{rr}^{\mathfrak{h}}-\mathfrak{z}_{rr}^{\mathfrak{n}})}{F^{2}(r)}\cdot\frac{dF}{dr}$$

из которого следует

$$r_{06} - \frac{r}{F(r)} \frac{dF}{dr} = -k - \frac{r}{F(r)} \frac{dF}{dr} = -k - (r)$$
 (14)

При любых функциях  $\sigma_{tot}^{tot}$ , удовлетворяющих уравнению (Н), к концу роста тела в нем будет заданное НДС; тривнальное решение, как видно, является решением этого уравнения. То же уравнение (14), естественно, можно получить и из равенства  $\sigma_{tot}^{tot}(r)$ , R1= $\sigma_{tot}^{tot}(r)$ ; выкладки при этом, однако, существенно более громоздки.

11. Рассмотрим теперь цилиндр, находящийся в состоянии двумерной плоской деформации. Для упрощения записей примем уравнения состояния в виде

$$a_{ij} = e_{ij}^i \quad (a_{ij} = e_{ij}^i - e_{ij})$$

п граничные условия при  $r = r_0$  в виде

$$u_1 = u = 0, \quad u_2 = v = 0$$

На растушей границе примем условия

$$\begin{aligned}
\sigma_{\eta}^{n}(r,\theta) &= \sigma_{r}(r) \sin m\theta \\
\sigma_{\eta \theta}(r,\theta) &= \sigma_{\theta}(r) \sin m\theta \quad (m \ge 2) \\
\sigma_{r\theta}^{n}(r,\theta) &= \tau(r) \cos m\theta
\end{aligned}$$

Соответственно, граничные условия (10) имеют вид 48

$$\sigma_{rr}(r,\theta,r) = e_{rr} = \left(\frac{dz_r}{dr} + \frac{-mz_+ z_r - z_0}{r}\right) \sin m\theta = \Phi_1(r) \sin m\theta$$

$$\sigma_{r\theta}(r,\theta,r) = e_{r\theta} = \left(\frac{dz_r}{dr} + \frac{mz_0 + 2z_1}{r}\right) \cos m\theta = \Phi_2(r) \cos m\theta$$

Решение задачи (1')—(4') для рассматриваемого случая находится в виде

$$\dot{u}(r,\theta,t) = (A_1(t)r^{m+1} + \dots + A_k(t)r^{m-1}) \sin m\theta$$

$$v(r,\theta,t) = (a_1A_1(t)r^{m+1} + \dots + k_kA_k(t)r^{-m-1}) \cos m\theta$$
(15)

где константы  $k_l(m)$  навестны. Соответственно, имеем

$$e_{rt}(r, \theta, t) = \frac{1}{r} [(m+1)A_1(t)r^{m+1} + \dots ] \sin m\theta$$

$$e_{r\theta}(r, \theta, t) = \frac{1}{r} [(k_1 + 1)mA_1(t)r^{m+1} + \dots ] \cos m\theta$$

$$e_{t\theta}(r, \theta, t) = \frac{1}{r} [(1 + mk_1)A_1(t)r^{m+1} + \dots ] \sin m\theta$$

Подставляя полученные выражения для и, в, от от в граничные условия, получаем линейную алгебранческую систему 4-х уравнений относительно функции

$$A_{1}(t)r_{0}^{m+1} + \dots = 0$$

$$\vdots$$

$$A_{1}(t)m(k_{1}+1) \cdot t^{m+1} + \dots = t\Phi_{2}(t)$$
(16)

Формулами (11), (15), где  $A_l(t)$  определены системой уравнений (16), решение задачи о плоской деформации цилиндра сведено к квадратурам.

# ዓኒԱՆԱՅԻՆ ԱՃՈՂ ՄԱՐՄՆԻ ՀԱՄԱՐ ԽՆԳՐԻ ԳՐՎ<mark>ԱԾՔԸ</mark> ԵՎ ՈՐՈՇ ԸՆԳՀԱՆՈՒՐ ԼՈՒԾՈՒՄՆԵՐ<mark>Ը</mark>

վ. Կ. ՏՐԻՆՉԵՐ

## Ամփոփում

Տրված է աճող մարմնում լարումների որոշման խնդրի դրվ<mark>ածքը միջա-</mark> վայրի մողելի և աճող նզրի պայմանների վրա տռանց էական սահմանափակումների։

Հարթ դեֆորմացիոն վիճակում գտնվող աճող դլանի Համար դծային առաձգական մոդնլի դնպքում խնդրի լուժումը ստացված է կվադրատուրաենրով։ Առանցքասիմետրիկ դնպքի համար ստացված է հակադարձ խնդրի լուծումը փակ տեսքով։

# FORMULATION AND SOME GENERAL SOLUTIONS OF THE PROBLEMS FOR CYLINDRICAL GROWING SOLIDS

### V. K. TRINCHER

## Summary

The formulation of the problem for stress state distribution in a growing solid is given without any significant restrictions on the model of the media and the condition on the growing boundary.

In the case of linear elastic media the analytic solution for the problem of deformation in a growing cylindrical body in plane state conditions is presented.

The closed solution of the inverse problem for an axisymmetrical case is given. The inverse problem is the problem of determination of conditions on the growing boundary which provide the given stress state to the end time growth.

#### ЛИТЕРАТУРА

- 1. Саусвелл Р. В. Введение в теорию упругости. М.: ИЛ, 1948.
- Рашбо Э. И. Определение напряжений в массивах от действия собственного веса с учетом порядка их позведения. Тр. ин-та строит. мех. АН СССР, 1953, № 18.
- Дятловицкий Л. И. Исследование напряжений в гравитационных пластинах.—ИМ, 1956, т. П. в. 2.
- Харлаб В. Д. Линейная теория ползучести наращиваемого тела. Тр. ЛИСИ, 1966, вып. 49.
- Пальмов В. А. О напряженнях, возникающих при затвердевании материалоп.—Пра. АП СССР, МТТ, 1967, № 4.
- Витловицкий Л. И., Вайнберг А. И. Формирование напряжений в гравитиционных плотинах. Киев: Наукова думка. 1975.
- 7. Аругюнян Н. Х. Краевая задача теории ползучести для наращиваемого тела.— ПММ, 1977. т. 41.
- Таркопольский Ю. М., Портнов Г. Г., Вейль А. И. Механика намотки композитов.—Изв. АН Латв. ССР, 1980, № 12.
- Портнов Г. Г., Вейль А. И. Модель для учета нелинейных свойств полуфабриката при силовом внализе намотки композитов. Механика полимеров, 1977, № 2.
- Турусов Р. А., Давтян С. П., Шкадинский Н. С., Розенберг Б. А., Андреенская С. Д., Ениколопян И. С. Механические ивления в условиях распространения фронта отверждения.—ДАН СССР, 1979, т. 247, № 1
- Аругюнян Н. Х., Зевин А. А. Задачи оптимизации в теории ползучести для нартщиваемых тел, подверженных старению.—МТТ, 1979, № 1.
- Арутюнян Н. Х., Метлов В. В. Нелинейные задачи теории ползучести неоднородно стареющих тел с изменяющейся границей,—ДАП СССР 1982, т. 246, № 6.

Пиститут механики МГУ

Поступила в редакцию 17.11. 1983

УДК 532.5

## НЕЛИНЕИНЫЕ ИЗГИБНЫЕ ВОЛНЫ В ПЛАСТИНЕ, НАХОДЯЩЕЙСЯ НА ПОВЕРХНОСТИ ЖИДКОСТИ КОНЕЧНОЙ ГЛУБИНЫ

#### ABAERH C. F.

В настоящей работе рассматриваются задачи о распространении воли с медленно меняющимися амилитувами и фазами [1] на поверхности раздела жидкости с физически ислинейной упругой пластиной по наличии изгибных воли в ней. Получается нелишейное лисперсионвое соотношение, играющее основную роль в условиях устойчивости решений уравнений модуляции амплитуд и фаз. Применяется вариа-<mark>ционны</mark>й принцип для системы жидкость-пластина путем сложения проинтегопрованных по глубине дагранживнов жидкости [1] и пластины [2]. Решение для бесконечно глубокой жидкости, покрытой пластиной, получено [4], где дается решение как указанным методом. так и путем прямого решения уравнения Лапласа для жидкости и удовлетворения граничных условий на границе раздела, причем решение ищется и формс разложения Стокса [1] в виде суммы последовательных гармоник. Совпадение решений, полученных последним и вариационным методами для бесконечно глубокой жидкости, дает уверенность в том, что метол настоящей работы является соответствующим рассматриваемой задаче. Показано, что наличие пластины увеличивает продольную и уменьшает поперечную устойчивость [3] модулированных воли в некотором диапазоне.

В работах [7, 8] имеется обзор задач распространения линейных и нелинейных воли по поверхности жидкости, покрытой упругой пластиюй. Линейная задача об изгибе пластины под действием сосредоточенной силы с нахождением асимптотики в виде воли с медленно меняющейся амилитудой решена в [6]. Исследование уточненных теорий для пластин, которое необходимо при высоких частотах, дано в работе [9]. Для жидкости конечной глубины со свободной понерхностью уравнения модуляции амплитуд и фаз квазимонохроматических волн и условие устойчивости волновых пакетов рассмотрены в [1].

Рассмотрим волим на поверхности жидкости конечной глубины, ограниченной нелинейной упругой пластиной. Для решения данной задачи применим вариационный принцип. Сущность задачи заключается в следующем: несжимаемая несомая жидкость конечной глуби-

ны  $h_0$  покрыта вдоль поверхности z=0 пластиной. С помощью вариационного подхода находится усредненный лагранжиан. Движение жидкости рассматривается в эйлеровых координатах X, Y, Z, а уравнение пластипы — в лагранжевых x, y, z. В силу того, что пренебрегается геометрическая нелинейность, уравнение пластины можно записывать также в эйлеровых координатах

$$X = x + u_{x_1}$$
  $Y = y + u_{y_1}$   $Z = z + u_{x_2}$  (1)

гле  $u_x$ ,  $u_x$ — компоненты перемещений точек срединиой плоскости пластины по направлению x, y, z. Надо отметить, что ось z направлена вверх. В силу симметрии задачи достаточно рассмотреть плоскость xz. Вариационный принцип дается равенством

$$\delta \int \int L \, dx \, dt = 0$$

гле L — осредненный по z лагранжиан. Для нашего случая лагранжиан равен сумме лагранжианов жидкости и пластины

$$L = L_x + L_y \tag{2}$$

Усредненный по фазе лагранжиан находится по формуле [1]

$$\mathcal{Z} = \frac{1}{2\pi} \int_{0}^{2\pi} L d\theta \tag{3}$$

где 9 - фазовая функция. Из (2) и (3) следует, что

$$\mathcal{Z} = \mathcal{Z}_a + \mathcal{Z}_a$$
 (4)

$$L_{\infty} = -\rho_0 \int_{-h_0}^{\eta} \left[ \varphi_t + \frac{1}{2} (\Delta \varphi)^2 + gz \right] dz \tag{5}$$

гле  $ho_0$ — плотность жидкости,  $\varphi$ — потенциал скоростей,  $\psi_t = \partial \varphi/\partial t$ . Наиболее общая форма периодического волнового пакета для одномерного случая такова:  $\varphi : = -\tau t + \Phi(\theta,z)$ ,  $\theta = kx - \omega t$ ,  $\eta = N(\theta)$ , где  $\eta = N(\theta)$ — уравнение поверхности z = 0.  $\Phi(\theta,z)$ , как и  $N(\theta)$ , периодические функции от  $\theta$ ,  $\omega$ — частота, k—волновое число. Параметр — средняя горизонтальная скорость  $\varphi$ , а величина  $\gamma$  связана со средней высотой воли. Подставляя значение  $\varphi$  и (5), получим

$$L = -\rho_0 \int_{-h_0}^{N} \left[ -\gamma - \omega \Phi_0 + \frac{1}{2} (\beta + k \Phi_0)^2 + \frac{1}{2} \Phi_1 + z \right] dz = \rho_0 \left( -\frac{1}{2} \beta^2 \right) (N + h_0) - \frac{1}{2} \rho_0 g (N^2 - h_0^2) + (\omega - 3k) \rho_0 \int_{-h_0}^{N} \Phi_0 dz - \rho_0 \int_{-h_0}^{N} \left( \frac{1}{2} \Phi_2^2 + \frac{1}{2} k^2 \Phi_1^2 \right) dz$$

Нижними индексами обозначены производные по  $\theta$  и z соответственно. Периодические функции  $\Phi(\theta,z)$  и  $N(\theta)$  представляются в видерядон Фурье

$$\Phi(\theta, z) = \sum_{n=1}^{\infty} \frac{A}{n} \operatorname{ch} kn(z_{n} \cdot h_{0}) \sin n\theta$$
 (6)

$$N(\theta) = b + a \cos \theta + \sum_{n=0}^{\infty} a_n \cos n \theta \tag{7}$$

где a—амплитудный параметр, а b—средняя высота поверхности волы. Так как для наших целей достаточно первых нелинейных членов в  $\mathcal{L}$ , то удовлетворимся членами порядка  $a^a$  включительно, поэтому из (6) и (7) принимаем

$$\Phi = A_1 \operatorname{ch} k(z + h_0) \sin \theta + \frac{A_2}{2} \operatorname{ch} 2k(z + h_0) \sin 2\theta$$

$$N = b + a_1 \cos\theta + a_2 \cos 2\theta$$

где  $a_1 = a$ . После соответствующих вычислений получаем

$$\begin{split} L_{H} &= g_{0} \left( \gamma - \frac{1}{2} \beta^{2} \right) (b + h_{0} + a_{1} \cos \theta + a_{2} \cos 2\theta) - \frac{1}{2} g_{0} g | (b + a_{1} \cos \theta + a_{2} \cos 2\theta) + a_{2} \cos 2\theta)^{2} - h_{0}^{2} | + \frac{(-3k)g_{0}}{k} | A_{1} \cos \theta \sin k(b - h_{0} + a_{1} \cos \theta + a_{2} \cos 2\theta) + \\ &+ \frac{A_{2}}{2} \cos 2\theta \sin 2k(b + h_{0} + a_{1} \cos \theta + a_{2} \cos 2\theta) | - \frac{g_{0}k^{2}}{2} \left\{ \frac{A_{1}^{2}}{4k} \sin 2k(b + h_{0} + a_{1} \cos \theta + a_{2} \cos 2\theta) + a_{2} \cos 2\theta \right\} \cos 2\theta + \\ &+ a_{1} \cos \theta - a_{2} \cos 2\theta + \frac{A_{1}^{2}}{2} (2h_{0} + b + a_{1} \cos \theta + a_{2} \cos 2\theta) \cos 2\theta + \\ &+ \frac{A_{2}^{2}}{3k} \sin 4k(b + h_{0} + a_{1} \cos \theta + a_{2} \cos 2\theta) + \frac{A_{2}^{2}}{2} (2h_{0} + b + a_{1} \cos \theta + a_{2} \cos 2\theta) + \\ &+ a_{2} \cos 2\theta \cos 4\theta + \frac{1}{3} A_{1} A_{2} \cos \theta \sin 3k(b + h_{0} + a_{1} \cos \theta + a_{2} \cos 2\theta) + \end{split}$$

Обозначая  $h = b + h_0$ , будем иметь

$$-\frac{2}{p_0} = \left(\frac{1}{2}\beta^2 - \gamma\right)h + \frac{1}{2}gb^2 - \frac{1}{2}gh_0^2 + \frac{1}{4}ga_1^2 + \frac{1}{4}ga_2^2 - \frac{(\omega - 3k)}{k}(\mu_1 A_1 + \mu_2 A_2) + k\left(\frac{1}{2}\mu_{11}A_1^2 + \mu_{12}A_1A_2 + \frac{1}{2}\mu_{22}A_2\right) + O(a_1)$$
 (8)

 $+A_1A_2\cos 3\theta \sinh(b+h_0+a_1\cos\theta+a_2\cos 2\theta)$ 

гле

$$\mu_1 = \frac{1}{2} k a_1 \cosh kh - \frac{1}{4} k^2 a_1 a_2 \sinh kh + \frac{1}{16} k^3 a_1 \cosh kh$$

$$\mu_2 = \frac{1}{2} k a_2 \cosh 2kh + \frac{1}{4} k^2 a_1^2 \sinh 2kh$$

$$\mu_{11} = \frac{1}{4} \sinh 2kh + \frac{1}{4} k^{2} a^{2} \sinh 2kh + \frac{1}{4} ka_{1}$$

$$\mu_{12} = \frac{1}{4} ka_{1} \cosh 3kh, \qquad \mu_{22} = \frac{1}{8} \sinh 4kh$$

Для нахождения  $A_1$  и  $A_3$  (8) варьируем по  $A_1$  и  $A_4$ , при этом получим

$$\mathcal{L}_{\kappa_{A_1}} = \mu_{11} A_1 + \mu_{12} A_1 - \frac{\omega - \frac{1}{2}}{h^2} \mu_1 = 0, \qquad \mathcal{L}_{\kappa_{A_1}} = \mu_{11} A_1 + \mu_{12} A_1 - \frac{\omega - \frac{1}{2}}{h^2} \mu_2 = 0$$

Подставляя  $A_1$  и  $A_2$  в  $\mathcal{L}_{\mathbf{x}_1}$  можно получить

$$-\mathcal{L}_{2} = \rho_{0} \left( \frac{1}{2} \beta^{3} - \gamma \right) h + \frac{1}{2} \rho_{0} k b^{2} - \frac{1}{2} \rho_{0} g h_{0}^{2} + \frac{1}{4} \rho_{0} g a_{1}^{2} + \frac{1}{4} \rho_{0} g a_{2}^{2} - \frac{1}{4} \rho_{0} \frac{(\omega - 3k)^{2}}{kT} \left[ a_{1}^{2} - \frac{2T^{2} - 1}{4T^{2}} k^{2} a_{1}^{4} - \frac{3 - T^{2}}{2T} k a_{1}^{2} a_{2} + (1 + T^{2}) a_{2}^{2} \right]$$

где  $T = \operatorname{th} kh$ . Как известно, лагранжиан равен разности кинетической и потенциальной энергий. Тогда лагранжиан пластины будет

$$L_{n} = K - \Pi \tag{9}$$

где K—кинетическая энергия пластины, а  $\Pi$ —потенциальная энергия. Пусть срединная плоскость пластинки в недеформированном состоянии совпадает с плоскостью z=0. Кинетическая энергия пластинки вычисляется по формуле

$$K = \frac{1}{2} \rho \int_{-\overline{h}/2}^{\overline{h}/2} \left[ \left( \frac{\partial u_x}{\partial t} \right)^2 + \left( \frac{\partial u_y}{\partial t} \right)^3 + \left( \frac{\partial u_x}{\partial t} \right)^4 \right] dz \qquad (10)$$

так как скорости частиц  $V=\frac{\partial u}{\partial t}$ ,  $V_y=\frac{\partial u}{\partial t}$ ,  $V_z=\frac{\partial u}{\partial t}$ , причем производные вычисляются в лагранжевых координатах, где p—плотность пластины, h—толщина. Из теории пластинок известно [2], что потенциальная энергия пластины имеет следующий вид:

$$\Pi = \int_{-\tilde{h}/2}^{\tilde{h}/2} \frac{9}{2} K_1 \epsilon_0^2 + 3K_1 \kappa_1 \epsilon_0^3 + \frac{3}{4} G \psi_0^2 + \frac{3}{8} G \gamma_5 \psi_0^4 \right) dz \tag{11}$$

где  $K_1$ —модуль объемного сжатия, G—модуль сдвига,  $*_1$ —функция удлинения,  $*_2$ —функция сдвига,  $*_0$ —интенсивность деформации сдвига

$$\epsilon_0 = \frac{2}{\sqrt{3}} \sqrt{\frac{2}{3} (\epsilon_x^2 + \epsilon_y + \epsilon_z^2 - \epsilon_x \epsilon_y - \epsilon_y \epsilon_z - \epsilon_z \epsilon_x) + \frac{1}{2} \dot{\varphi}_{xy}^2}$$
(12)

Как и в линейной теории упругой среды, примем, что поперечное удлинение правно  $\varepsilon_2 = -\frac{1}{1-\epsilon}(\varepsilon_x + \varepsilon_y)$ , где инсоффициент Пуассона Для среднего удлинения имеем

$$\varepsilon_0 = -\frac{1}{3} \frac{1-2v}{1-v} z \Delta u_c$$

где  $\Delta-$  оператор Лапласа, равный  $\Delta=\frac{\partial^2}{\partial x^2}+\frac{\partial^2}{\partial y^2}$ . Исходя на линейной теории тонких пластинок при небольших прогибах и предполагая, что  $u_x=0$ ,  $u_y=0$ , получим [2]

$$\varepsilon_{\tau} = -z \frac{\partial^2 u_z}{\partial x^2}, \quad \varepsilon_{y} = -z \frac{\partial^2 u_z}{\partial y^2}, \quad \varepsilon_{z} = -2z \frac{\partial^2 u_z}{\partial x \partial y}$$

Тогда из (12) квадрат интенсивности деформации сдвига булет

$$v_0 = \frac{8}{9} \left[ \left[ \left( \frac{\partial^2 u_z}{\partial x^2} \right)^2 + \left( \frac{\partial^2 u_z}{\partial y^2} \right)^4 \right] + \left[ \frac{\partial^2 u_z}{\partial x^4} \frac{\partial^2 u_z}{\partial y^2} + 2 \left( \frac{\partial^2 u_z}{\partial x \partial y} \right)^2 \right] z^2$$

где 
$$v_1 = \frac{v}{(1-v)^2} + 1$$
,  $v_2 = \frac{2v}{(1-v)^2} - 1$ 

Имея в виду соотношение  $v=\frac{1}{2}\,\frac{3K_1-G}{3K_1+G},\;\;G=\frac{E}{2(1+v)},\;\;$ из (11) по-

$$\Pi = \int_{-h/2}^{h/2} \left\{ \frac{E(1-2v)}{6(1-v)^3} z^2 \left( \frac{\partial^2 u_z}{\partial x^2} + \frac{\partial^2 u_z}{\partial y^2} \right)^2 - \frac{Ex_1}{1-2v} \frac{1}{27} \frac{(1-2v)^3}{(1-v)^3} \left( \frac{\partial^2 u_z}{\partial x^4} + \frac{\partial^2 u_z}{\partial y^2} \right)^3 + \frac{Ez^2}{3(1+v)} \left[ \frac{1-v+v^2}{(1-v)^2} \left( \frac{\partial^2 u_z}{\partial x^2} \right)^2 + \frac{1-v+v^2}{(1-v)^2} \left( \frac{\partial^3 u_z}{\partial y^4} \right)^2 - \frac{4v-1-v^2}{(1-v)^2} \cdot \frac{\partial^2 u_z}{\partial x^2} \cdot \frac{\partial^3 u_z}{\partial y^2} + \frac{3v^2}{(1-v)^2} \left( \frac{\partial^2 u_z}{\partial x^2} \right)^2 \right] - \frac{8}{27} G_{12} \cdot \left[ \frac{1-v+v^2}{(1-v)^3} \left( \frac{\partial^2 u_z}{\partial y^2} \right)^2 + \frac{1-v+v^2}{(1-v)^2} \left( \frac{\partial^2 u_z}{\partial y^2} \right)^2 + \frac{4v-1-v^2}{(1-v)^2} \left( \frac{\partial^2 u_z}{\partial y^2} \right)^2 \right] \right\} dz$$

После интегрирования имеем

$$\Pi = \frac{Eh^{3}}{24(1-v^{2})} \left[ \left( \frac{\partial^{2} u_{z}}{\partial x^{2}} \right)^{2} + \left( \frac{\partial^{2} u_{z}}{\partial y^{2}} \right)^{2} \right] + \frac{Eh^{3}v}{12(1-v^{2})} \frac{\partial^{2} u_{z}}{\partial x^{2}} \frac{\partial^{2} u_{z}}{\partial y^{2}} + \frac{Eh^{3}v}{12(1-v^{2})} \left[ \left( \frac{\partial^{2} u_{z}}{\partial x^{2}} \right)^{2} + \left( \frac{\partial^{2} u_{z}}{\partial y^{2}} \right)^{2} \right] + \frac{Eh^{3}v}{12(1+v)} \left[ \left( \frac{\partial^{2} u_{z}}{\partial x^{2}} \right)^{2} + \left( \frac{\partial^{2} u_{z}}{\partial y^{2}} \right)^{2} \right] + \frac{Eh^{3}v}{12(1-v)^{2}} \left[ \left( \frac{\partial^{2} u_{z}}{\partial x^{2}} \right)^{2} + \left( \frac{\partial^{2} u_{z}}{\partial y^{2}} \right)^{2} \right] + \frac{Eh^{3}v}{12(1-v)^{2}} \left[ \left( \frac{\partial^{2} u_{z}}{\partial x^{2}} \right)^{2} + \left( \frac{\partial^{2} u_{z}}{\partial y^{2}} \right)^{2} \right] + \frac{Eh^{3}v}{12(1-v)^{2}} \left[ \left( \frac{\partial^{2} u_{z}}{\partial x^{2}} \right)^{2} + \left( \frac{\partial^{2} u_{z}}{\partial y^{2}} \right)^{2} \right] + \frac{Eh^{3}v}{12(1-v)^{2}} \left[ \left( \frac{\partial^{2} u_{z}}{\partial x^{2}} \right)^{2} + \left( \frac{\partial^{2} u_{z}}{\partial y^{2}} \right)^{2} \right] + \frac{Eh^{3}v}{12(1-v)} \left[ \left( \frac{\partial^{2} u_{z}}{\partial x^{2}} \right)^{2} + \left( \frac{\partial^{2} u_{z}}{\partial y^{2}} \right)^{2} \right] + \frac{Eh^{3}v}{12(1-v)} \left[ \left( \frac{\partial^{2} u_{z}}{\partial x^{2}} \right)^{2} + \left( \frac{\partial^{2} u_{z}}{\partial y^{2}} \right)^{2} \right] + \frac{Eh^{3}v}{12(1-v)} \left[ \left( \frac{\partial^{2} u_{z}}{\partial x^{2}} \right)^{2} + \left( \frac{\partial^{2} u_{z}}{\partial y^{2}} \right)^{2} \right] + \frac{Eh^{3}v}{12(1-v)} \left[ \left( \frac{\partial^{2} u_{z}}{\partial x^{2}} \right)^{2} + \left( \frac{\partial^{2} u_{z}}{\partial y^{2}} \right)^{2} \right] + \frac{Eh^{3}v}{12(1-v)} \left[ \left( \frac{\partial^{2} u_{z}}{\partial x^{2}} \right)^{2} + \left( \frac{\partial^{2} u_{z}}{\partial y^{2}} \right)^{2} \right] + \frac{Eh^{3}v}{12(1-v)} \left[ \left( \frac{\partial^{2} u_{z}}{\partial x^{2}} \right)^{2} + \left( \frac{\partial^{2} u_{z}}{\partial y^{2}} \right)^{2} \right] + \frac{Eh^{3}v}{12(1-v)} \left[ \left( \frac{\partial^{2} u_{z}}{\partial x^{2}} \right)^{2} + \left( \frac{\partial^{2} u_{z}}{\partial y^{2}} \right)^{2} \right] + \frac{Eh^{3}v}{12(1-v)} \left[ \left( \frac{\partial^{2} u_{z}}{\partial x^{2}} \right)^{2} + \left( \frac{\partial^{2} u_{z}}{\partial y^{2}} \right)^{2} \right] + \frac{Eh^{3}v}{12(1-v)} \left[ \left( \frac{\partial^{2} u_{z}}{\partial x^{2}} \right)^{2} + \left( \frac{\partial^{2} u_{z}}{\partial y^{2}} \right)^{2} \right] + \frac{Eh^{3}v}{12(1-v)} \left[ \left( \frac{\partial^{2} u_{z}}{\partial x^{2}} \right)^{2} + \left( \frac{\partial^{2} u_{z}}{\partial y^{2}} \right)^{2} \right] + \frac{Eh^{3}v}{12(1-v)} \left[ \left( \frac{\partial^{2} u_{z}}{\partial x^{2}} \right)^{2} + \left( \frac{\partial^{2} u_{z}}{\partial y^{2}} \right)^{2} \right] + \frac{Eh^{3}v}{12(1-v)} \left[ \left( \frac{\partial^{2} u_{z}}{\partial y^{2}} \right)^{2} + \left( \frac{\partial^{2} u_{z}}{\partial y^{2}} \right)^{2} \right] + \frac{Eh^{3}v}{12(1-v)} \left[ \left( \frac{\partial^{2} u_{z}}{\partial y^{2}} \right] + \left( \frac{\partial^{2} u_{z}}{\partial y^{2}$$

Учитывая тот факт, что  $u_x = 0$ ,  $u_y = 0$ , из (10) после интегрирования для кинетической энергии пластины будем иметь

$$K = \frac{1}{2} \rho \bar{h} \left( \frac{\partial u_z}{\partial t} \right)^2 \tag{14}$$

Подставляя (13) н (14) в (9), получим

$$L_{\bullet} = \frac{1}{2} \left[ \frac{1}{2} \left( \frac{\partial u_{z}}{\partial t} \right)^{2} - \frac{Gh^{3}}{12(1-v)} \left[ \left( \frac{\partial^{3}u_{z}}{\partial x^{3}} \right)^{2} - \left( \frac{\partial^{3}u_{z}}{\partial x^{3}} \right)^{2} \right] - \frac{Gh^{3}}{6} \left( \frac{\partial^{2}u_{z}}{\partial x \partial y} \right)^{2} - \frac{Gh^{3}}{6} \left( \frac{\partial^{2}u_{z}}{\partial x \partial y} \right)^{2} - \frac{Gh^{3}}{6(1-v)} \left[ \frac{\partial^{3}u_{z}}{\partial x^{2}} \frac{\partial^{3}u_{z}}{\partial y^{3}} - \frac{G\gamma_{z}h^{5}}{270} \left\{ \frac{1-v+v^{2}}{(1-v)^{2}} \left[ \left( \frac{\partial^{3}u_{z}}{\partial x^{2}} \right)^{2} + \left( \frac{\partial^{2}u_{z}}{\partial y^{3}} \right) \right] + \frac{4v-1-v^{3}}{(1-v)^{2}} \left[ \frac{\partial^{3}u_{z}}{\partial x^{2}} \frac{\partial^{3}u_{z}}{\partial y^{3}} + \left( \frac{\partial^{3}u_{z}}{\partial x \partial y} \right)^{2} \right]^{2}$$

Имея в виду, что  $a=b+a_1\cos\theta+a_2\cos2\theta$ ,  $\theta-kx=\omega t$ , после нычисления по (3) усредненный лагранживи пластины можно записать в следующем виде:

$$= \frac{1}{4} \rho \overline{h} \omega^{8} (a_{1}^{2} + 4a_{2}^{2}) - \frac{Gh^{3}k^{4}}{24(1-v)} (a^{2} + 16a^{2}) - \frac{G\gamma_{8}h^{3}}{270} \frac{(1-v-v^{2})^{8}}{(1-v)^{4}} k^{8}$$

При решении рассматринался одномерный случай. Полягая  $0 = \alpha_1 x + \alpha_2 y = \omega t$ , нетрудно показать, что t для пространственного случая двется в одномерном виде, где нужно полагать  $k^2 = \alpha + \alpha^2$ . Из (4) для общего усредненного лагранживия будем иметь

$$\mathcal{L} = -\rho_0 \left( \frac{1}{2} \beta^3 - \gamma \right) - \frac{1}{2} \rho_0 g h^3 - \frac{1}{2} = h_0 - \frac{1}{4} \exp_1 - \frac{1}{4} \exp_2 + \frac{1}{4} \rho_0 \frac{(\omega - \beta k)^3}{T} \left[ a_1^2 - \frac{2T^3 - 1}{4T^2} k^2 a_1^4 - \frac{3 - T^2}{2T} k a_1^2 a_2 + (1 + T^2) a_2^2 \right] + \frac{1}{4} \exp_1 \left( a_1^2 + 4a_2^2 \right) - \frac{G h^4}{2(1 - 1)} \left( a_1^2 + 48a_1^2 a_2^2 \right)$$

$$\times \left( \frac{3}{8} a_1^4 + 48a_1^2 a_2^2 \right)$$
(15)

В общем случае изменение средних значений  $\tau$ , 3, h связано с волновым движением, и, как показывается [1], изменения этих неличин имеют порядок  $O(a_1^2)$ . Поэтому в членах с  $a_1^4$  можно считать  $T = T_0$  = th  $kh_0$ . Варьируя по  $a_2$  (15), получим

$$\mathcal{L}_{\sigma_0} = 0; \quad -\frac{\rho_0 g \, a_0}{2} - \frac{1}{4H} \left[ \frac{1}{2} k a_1^2 - 2(1+T^2) a_2 \right] + 2 \rho \widetilde{h} a_2^2 a_2 - \frac{4}{3} \frac{G \widetilde{h}^3 k^4}{1-2} a_2 = 0$$

Отсюда  $a_1 = xa_1^2$ , гле

$$= -\frac{3-T_0^2}{4T_0} \frac{\rho_0(\omega-3k)^2k}{\rho_0gkT_0-4\rho hkT_0\omega^2-\rho_0(\omega-3k)^2(1+T_0^2)+\frac{8}{3}\frac{Gh^2k^2T_0}{(1-\nu)}}$$

Дисперсионное соотношение  $\mathscr{Z}_{\sigma_1^2} = 0$  из (15) двет

$$-\frac{\rho_0 g}{4} + \frac{\rho_0}{4} \frac{(\omega - 3k)^2}{kT_0} \left(1 - \frac{2T_0^2 - 1}{2T_0^2} k^2 a_1^2 - \frac{3 - T^2}{2T_0} k a_2\right) + \frac{1}{4} \rho \overline{h} \omega^2 - \frac{G \eta_0 h}{24(1 - \nu)} - \frac{G \eta_2 h^5}{360} \frac{(1 - \nu + \nu^2)^2}{(1 - \nu)^4} k a_2$$
(16)

При нулевом среднем значении  $\eta=0$ ,  $\varphi_x=0$  имеем  $a_1=0$ ,  $\theta=0$  и из (16) получится частота линейной теории

$$= \frac{g\rho_0 + Gh^3k^4/6(1-\nu)}{\rho h + \rho_0/kT_0}$$

Подставляя в (16)  $a_2 = xa^2$  и нолагая  $\omega_0 + \left(\frac{\partial \omega}{\partial a_1^2}\right) a_1^2$ , получим

$$\rho_{0}g - \frac{2}{kT_{0}} \left[ \omega_{0} - 3k + \left( \frac{\partial \omega}{\partial a_{1}^{2}} \right) a_{1}^{2} \left[ \left( 1 - \frac{2T_{0}^{2} - 1}{2T_{0}^{2}} k^{2} a_{1}^{2} - \frac{3 - T}{2T_{0}} k^{2} a_{1}^{2} \right] \right] - \frac{1}{2} \left[ \left( \frac{\partial \omega}{\partial a_{1}^{2}} \right) a_{1}^{2} \left[ \left( 1 - \frac{2T_{0}^{2} - 1}{2T_{0}^{2}} k^{2} a_{1}^{2} - \frac{3 - T}{2T_{0}^{2}} k^{2} a_{1}^{2} \right] \right] - \frac{1}{2} \left[ \left( \frac{\partial \omega}{\partial a_{1}^{2}} \right) a_{1}^{2} \left[ \left( 1 - \frac{2T_{0}^{2} - 1}{2T_{0}^{2}} k^{2} a_{1}^{2} - \frac{3 - T}{2T_{0}^{2}} k^{2} a_{1}^{2} \right] \right] - \frac{1}{2} \left[ \left( \frac{\partial \omega}{\partial a_{1}^{2}} \right) a_{1}^{2} \left[ \left( 1 - \frac{2T_{0}^{2} - 1}{2T_{0}^{2}} k^{2} a_{1}^{2} - \frac{3 - T}{2T_{0}^{2}} k^{2} a_{1}^{2} \right] \right] - \frac{1}{2} \left[ \left( \frac{\partial \omega}{\partial a_{1}^{2}} \right) a_{1}^{2} \left[ \left( 1 - \frac{2T_{0}^{2} - 1}{2T_{0}^{2}} k^{2} a_{1}^{2} - \frac{3 - T}{2T_{0}^{2}} k^{2} a_{1}^{2} \right] \right] - \frac{1}{2} \left[ \left( \frac{\partial \omega}{\partial a_{1}^{2}} \right) a_{1}^{2} \left[ \left( 1 - \frac{2T_{0}^{2} - 1}{2T_{0}^{2}} k^{2} a_{1}^{2} - \frac{3 - T}{2T_{0}^{2}} k^{2} a_{1}^{2} \right] \right] - \frac{1}{2} \left[ \left( \frac{\partial \omega}{\partial a_{1}^{2}} \right) a_{1}^{2} \left[ \left( 1 - \frac{2T_{0}^{2} - 1}{2T_{0}^{2}} k^{2} a_{1}^{2} + \frac{3 - T}{2T_{0}^{2}} k^{2} a_{1}^{2} + \frac{3 - T}{2T_{0}^{2}} k^{2} a_{1}^{2} \right] \right] - \frac{1}{2} \left[ \left( \frac{\partial \omega}{\partial a_{1}^{2}} \right) a_{1}^{2} \left[ \left( 1 - \frac{2T_{0}^{2} - 1}{2T_{0}^{2}} k^{2} a_{1}^{2} + \frac{3 - T}{2T_{0}^{2}} k^{2} a_{1}^{2} \right) \right] \right] - \frac{1}{2} \left[ \left( 1 - \frac{2T_{0}^{2} - 1}{2T_{0}^{2}} k^{2} a_{1}^{2} + \frac{3 - T}{2T_{0}^{2}} k^{2} a_{1}^{2} + \frac{3 - T}{2T_{0}^{2}} k^{2} a_{1}^{2} \right] \right] - \frac{1}{2} \left[ \left( 1 - \frac{2T_{0}^{2} - 1}{2T_{0}^{2}} k^{2} a_{1}^{2} + \frac{3 - T}{2T_{0}^{2}} k^{2} a_{1}^{2} + \frac{3 - T}{2T_{0}^{2}} k^{2} a_{1}^{2} \right] \right] - \frac{1}{2} \left[ \left( 1 - \frac{2T_{0}^{2} - 1}{2T_{0}^{2}} k^{2} a_{1}^{2} + \frac{3 - T}{2T_{0}^{2}} k^{2} a_{1}^{2} + \frac{3 - T}{2T_{0}^{2}} k^{2} a_{1}^{2} \right] \right] - \frac{1}{2} \left[ \left( 1 - \frac{2T_{0}^{2} - 1}{2T_{0}^{2}} k^{2} a_{1}^{2} + \frac{3 - T}{2T_{0}^{2}} k^{2} a_{1}^{2} + \frac{3 - T}{2T_{0}^{2}} k^{2} a_{1}^{2} \right] \right] - \frac{1}{2} \left[ \left( 1 - \frac{2T_{0}^{2} - 1}{2T_{0}^{2}} k^{2} a_{1}^{2} + \frac{3 - T}{2T_{0}^{2}} k^{2} a_{1}^{2} + \frac{3 - T}{2T_{0}^{2}} k^{2} a_{1}^{2} + \frac{3 - T}{2T_{0}^{2}} k^{2} a_{1}^{2$$

Отсюда

$$\left(\frac{\partial \omega}{\partial a_1}\right)_0 = \frac{\frac{\rho_0 \omega}{2T_0} \left(\frac{2T_0^2 - 1}{2T_0} k + \frac{3 - T_0^2}{2T}\right) - \frac{G_{72}h^5}{180} \frac{(1 - \nu + \nu^4)^4}{(1 - \nu)^4} k^8 - \frac{\rho_0 \omega_0 \beta}{T_0 \alpha_1^2}}{\rho h \omega_0 + \rho_0 \omega_0 / k T_0}$$
 (17)

Нам остается найти значение 3. Для этой цели используем следующие соотношения:

$$\mathcal{L}_{b} = 0, \quad -\rho_{0}gb + \rho_{0}\gamma - \frac{\rho_{0}\omega_{0}^{2}\alpha_{1}^{2}}{4\sinh^{3}kh_{0}} = 0, \quad -\frac{\partial}{\partial t}\mathcal{L}_{1} + \frac{\partial}{\partial x}\mathcal{L}_{3} = 0, \quad \frac{\partial^{3}}{\partial t} + \frac{\partial\gamma}{\partial x} = 0$$
(18)

$$-\frac{\partial}{\partial t} = -\frac{\partial}{\partial x} \mathcal{I}_k = 0, \qquad \frac{\partial k}{\partial t} + \frac{\partial u}{\partial x} = 0 \tag{19}$$

нмеем

$$\mathcal{L}_{1} = (h_{0} + b)\varrho_{0}, \qquad \qquad -3h\varrho_{0} - \frac{\varrho_{0}\omega_{0}}{2T}a_{1}^{2}, \quad \mathcal{L}_{-} = \left(\frac{\rho_{0}}{2T} + \frac{\varrho h}{2}\right)\omega_{0}a_{1}^{2} \tag{20}$$

Для воли, движущихся по спокойной воде глубиной  $h_0$ , можно предположить, что  $\theta$  и  $b=h-h_0$  малы и линеаризовать уравиения (18), (19), после чего, решая все совместно, получим, имея в виду, что  $\frac{d}{dt} = C_0(h) \frac{dt}{dt}$ 

$$\beta = -\frac{\frac{g w_0}{2T_0} + \frac{w_0^2 C_0(h)}{4 \sin^2 k h_0}}{g h_0 - C_0^2(k)}$$
(21)

где  $C_{\mathbf{0}}(k)$ —групповая скорость, которая равна  $C_{\mathbf{0}}(k)=rac{\partial \omega_{\mathbf{0}}}{\partial k}$ , то есть

$$C_{\bullet}(k) = \frac{1}{2} c_{0}(k) \left( \frac{4Dk^{4}}{g \varphi_{0} + Dk^{4}} + \frac{c_{0} + \frac{2\varphi_{0}kh_{0}}{\sinh 2kh_{0}}}{\varphi_{0} + \varphi \ \bar{h}k \ T_{0}} \right)$$

где  $c_{\mathfrak{p}}(k)$  - фазовая скорость

$$c_0(k) = \sqrt{\frac{(g\varphi_0 + Dk^4)T_0}{k(\varphi_0 + \varphi \overline{h}kT_0)}}$$

D—цилиндрическая жесткость пластины  $D = \frac{Gh^3}{6(1-r)}$ . Подставляя значение 3 из (21) в (17), получим

$$\frac{\left(\frac{\partial \omega}{\partial a_{1}^{2}}\right)_{0}}{\frac{2T_{0}-1}{2T_{0}^{2}}} \left(\frac{2T_{0}-1}{2T_{0}^{2}}k + \frac{3-T_{0}}{2T_{0}} x\right) + \frac{G_{72}h^{3}}{180} \frac{(1-v)^{4}}{(1-v)^{4}} k^{8} - \frac{\frac{g\omega_{0}}{2T_{0}} + \frac{\omega_{0}C_{0}(k)}{4\sinh^{2}kh_{0}}}{gh_{0}-C_{0}^{2}(k)} \frac{g\omega_{0}}{T_{0}}}{gh_{0}-C_{0}^{2}(k)} + \frac{g\omega_{0}}{2} \frac{g\omega_{0}}{h_{0}} + \frac{g\omega_{0}}{h_{0}} + \frac{g\omega_{0}}{h_{0}} \frac{g\omega_{0}}{h_{0}} \frac{g\omega_{0}}{h_{0}} + \frac{g\omega_{0}}{h_{0}} \frac{g\omega_{0}}{h_{0}} \frac{g\omega_{0}}{h_{0}} + \frac{g\omega_{0}}{h_{0}} \frac{g\omega_{0}}{h_{0}} \frac{g\omega_{0}}{h_{0}} + \frac{g\omega_{0}}{h_{0}} \frac{g\omega_{0}}{h_{0}} \frac{g\omega_{0}}{h_{0}} + \frac{g\omega_{0}}{h_{0}} \frac{g\omega_{0}}{h_{0}} \frac{g\omega_{0}}{h_{0}} + \frac{g\omega_{0}}{$$

Полученное соотношение необходимо при определении условий устойчивости волновых пакетов, представляющих решения вила (6), (7) уравнений для медленных изменений амплитуд  $A_6$ ,  $a_1$ , b и фаз нелинейных волн [1]. Дадим вывод уравнений для амплитуд  $a_1$  и волновых чисел и квазимонохроматических воли, обобщающих уравнения [1] на неоднородную среду и выведем из них условия устойчивости решений полученных уравнений, причем для рассматриваемой изотропной среды получаются, в частности, условия продольной и поперечной устойчивости [3]. Пусть имеем фазовую функцию  $\theta(X,t)$ , где  $X=(x_1,x_2,x_3)$ , тогда частота  $\omega$  и волновые числа  $t_1$  оп-

ределяются формулами  $\omega=-rac{\partial 0}{\partial t},\;k_i=\partial 6\;\partial x_i.$  Очеви дно тогда равенство

$$\frac{\partial \omega}{\partial x_i} + \frac{\partial k_i}{\partial t} = 0 \tag{22}$$

Имеем еще следующее соотношение:

$$-\frac{\partial}{\partial t} \mathcal{L}_{w} + \frac{\partial}{\partial x_{i}} \mathcal{L}_{k_{i}} = 0 \tag{23}$$

Так как  $\frac{\partial}{\partial t} = -C_t \frac{\partial}{\partial x}$ , то получится  $\mathcal{L}_{k_t} = -C_t w$  где  $C_t = \frac{\partial w_0}{\partial k_t} - C_t w$  групповая скорость. Из (20)

$$\mathcal{L}_{-}=qa_{1}^{2}, \quad \text{rae} \quad q=\frac{1}{2}\rho\bar{h}\,\omega_{0}+\frac{p_{0}\omega_{0}}{2kT_{0}}$$

С учетом последних значений У. и У получим из (23)

$$a_{1}^{2}\frac{\partial q}{\partial t} - q\frac{\partial a_{1}}{\partial t} + q\frac{\partial \omega_{0}}{\partial t}\frac{\partial a_{1}^{2}}{\partial x_{1}} + a_{1}^{2}\frac{\partial \omega_{0}}{\partial k_{1}}\frac{\partial q}{\partial x_{1}} + a_{1}^{2}q\frac{\partial^{2}\omega_{0}}{\partial k_{1}\partial x_{1}} = 0$$

После соответствующих выклалок, полагая, что

$$\frac{\partial q}{\partial x_i} = \frac{\partial q}{\partial x_i}\Big|_{x_i = \text{const}} + \frac{\partial q}{\partial k_i} \frac{\partial k_i}{\partial x_i}; \quad \frac{\partial \omega_0}{\partial x_i} = \frac{\partial \omega_0}{\partial x_i}\Big|_{k_i = \text{const}} + \frac{\partial \omega_0}{\partial k_i} \frac{\partial k_i}{\partial x_j}$$

получим

$$\frac{\partial a_1^2}{\partial t} + \frac{\partial \omega_0}{\partial k_i} \frac{\partial a_1^2}{\partial x_i} + a_1^2 \frac{\partial^2 \omega_0}{\partial x_i \partial k_i} - \frac{a_1^2}{q} \left( \frac{\partial \omega_0}{\partial k_i} \frac{\partial q}{\partial x_i} - \frac{\partial \omega_0}{\partial x_i} \frac{\partial q}{\partial k_i} \right) = 0$$

Для однородной среды  $\frac{\partial q}{\partial x_i} = \frac{\partial w_i}{\partial x_i} \sim 0$  и будем иметь

$$\frac{\partial a_1^2}{\partial t} = \frac{\partial \omega_0}{\partial k_i} \frac{\partial a^2}{\partial x_1} + a_1 \frac{\partial^2 \omega_0}{\partial k_i \partial k_j} \frac{\partial k_j}{\partial x_j} = 0$$
 (24)

Выведем условия устойчивости. Полагая в (22) и (24)  $k_1 = k_1$ , три;  $a_1^2 = a^2 + a'$  и линеаризируя относительно малых значении ри, a', а также полагая  $a' = A \exp \left[i(\Omega t - k_1'x_1)\right]$ , ри  $= K_t \exp \left[i(\Omega t - k_1'x_1)\right]$ , получим  $\Omega$ , которое является вещественным при выполнении соотношения

$$\frac{\partial^{0}\omega_{0}}{\partial k_{i}\partial k_{i}}\left(\frac{\partial \omega}{\partial a^{2}}\right)_{0}k_{i}k_{j}>0$$

Выберем ось  $x_1$  по нормали к волне и учтем малость  $k_2$ ,  $k_3$ . Полагая  $k=V[k]+k_2^2+k_3^2$ , получим условия устойчивости

$$\frac{\partial^2 \omega_0}{\partial k^2} \left( \frac{\partial \omega}{\partial a_1^2} \right)_0 = \frac{1}{k} \frac{\partial \omega_0}{\partial k} \left( \frac{\partial \omega}{\partial a_1^2} \right)_0 (k_2^2 + k_3^2) > 0$$

Для продольной устойчивости  $k_2 = 0$ ,  $k_3 = 0$  и поэтому получим  $\frac{\partial^2 \omega_0}{\partial k^2} \left( \frac{\partial \omega}{\partial a_1^2} \right)_0 > 0$ 

Для поперечной устойчивости  $k_1 = 0$ , поэтому  $\left(\frac{\partial \omega}{\partial a^2}\right) > 0$ .

Ταδλυμα Ι

														M O JEIL	Mrs. 1
F	4 • 101														
E	102			8 - 10			4 - 10			10.0			0.001		
ų.	0+1			0,12			0.2			10			100		
$kh_0$	1	2	00	1	2	100	1	2	200	1	2	00	1	2	00
$\left(\frac{\partial \omega}{\partial a^2}\right)_0 \frac{1}{\omega_0 k^2}$	-0.18	0.14	W 0	-0.5	60.00	0.34	-0.74	90.0-	-0.002	.0980.	-39(03,936	-39603,9	-399600-	-3896064	-3996004
$\frac{\partial^3 \omega_0}{\partial h^2} \left( \frac{\partial^{\omega}}{\partial a_1^2} \right)_0 \frac{1}{g^k}$	19,62	-5,35	7.54	22,08	3,92	-3.53	39.88	4.74	0.04	795 8	7679.88	-7696.41	-8005	-79526	-79648
4=	ihk Po	E	$=\frac{g_1}{D}$	le 4.	F-	30(	-)1	(1-	_v)3	1)2					50

Численное решение задачи для устойчивости приведено в табл. 1, откуда следует, что с уменьшением глубины и с увеличением параметра Ч поперечная устойчивость уменьшается и, наоборот, с уменьшением глубины и с увеличением Ч продольная устойчивость увеличивается, где Ч обкро. Следует отметить, что в табл. 1 знаки коэффициентов, характеризующих продольную и поперечную устойчивости, противоположные, причем для малых значений параметра Ч для бесконечной глубины имеется продольная неустойчивость и поперечная устойчивость, а для больших Ч имеет место обратное явление. Таким образом, наличие пластины для глубокой жидкости изменяет характер устойчивости.

# ՎԵՐՋԱՎՈՐ ԽՈՐՈՒԹՅԱՆ ՀԵՂՈՒԿԻ ՄԱԿԵՐԵՎՈՒՅԹԻ ՎՐԱ ԳՏՆՎՈՂ ՍԱԼՈՒՄ ՈՉ ԳԾԱՅԻՆ ԾՈՄԱՆ ԱԼԻՔՆԵՐԸ

แ. ร. แสนรรมน

## Ամփոփում

Դիտարկվում են անահղմելի կշիս ունեցող հեղուկը ծածկող սալում կվագիմոնոխրոմատիկ ալիքները։ Նշված համակարգի համար ձևակերպվում է վարիացիոն սկզրունքը։ Ներմուծվում է ըստ փուլի միջինացված լագրանժիանը և նրա համար Ուիզեմի մեթոդով գրվում է ամպլիտուդի և ալիքային թվի վարիացիոն հավասարումները։

Ստացված է ոչ դծային դիսպերսիոն հարաբերակցություն, որը բնութագրում է ալիքների պարուրիչների համար դանված հավասարումների կայունությունը։

Ցույց է տրված, որ սալի առկայությունը, որևէ դիապազոնում, բերում է երկայնական կալունության տիրույթի մեծացման և փորրացման՝ լայնական կայունության Համար։

# NONLINEAR BENDING WAVES IN PLATE ON SURFACE OF FINITE DEPTH FLUID

S. G. AVACIAN

Summary

The quasimonocromatic waves in plate contacting with ponderable incompressible fluid are considered.

The variational principle for the mentioned system is formulated. The averaged on phase Lagrangian is introduced and by means of the method of Whitham the variational equations for amplitudes and wave numbers are written for it.

The nonlinear dispersion relation characteristing the stability of the revealed equations for envelope waves is obtained. The presence of the plate in some interval causes the increase of the region of longitudinal stability and the decrease of transversal stability.

#### ЛИТЕРАТУРА

- 1. Уизем Дж. Б. Линейные и нелинейные воляы М.: Мир. 1977. 622 с.
- 2 Каудерер Г. Пелинейная механика, М.: ИЛ, 1961, 777 с.
- 3 *Кариман В. И.* Пелинейные волны и диспертирующих средах М.: Наука, 1973, 175 с.
- Багдоен А. Г., Монсиски Л. А. Некоторые вопросы распространения квазимонохроматических нелинейных волн в пластинах и оболочках. В км.: Труды XII Всесоюзной конференции по теории оболочек и пластин, т. 1. Ереван: Изд-во Ереванского университета, 1980, с. 106—112.
- 5 Багдоев А. Г. Пространственные нестационарные движения сплошной среды с ударными волнами. Ереван: Изд-во АН Арм. ССР, 1961, 275 с.
- 6. Слепян Л. И. Пестационарные упругие волны. Л. Судостроение, 1972, 374 с.
- 7. Григолюк Э. И. п Горшков А. Г. Взаимодействие слабых ударных воли с упругим конструкциями. М.: Изд во МГУ. Ин-т механики. Научи. труды № 13, 1971. 180 с.
- 8. Григолиок Э. И., Горшкой А. Г. Динамика твердых тел и тонких оболочек вращения, взаимодействующих с жидкостью. М.: Изд-во МГУ, 1975. 179 с
- 9 Григолок Э. И., Селеров И. Т. Неклассические геории колебаний стержней, пластии и оболочек, М.; ВИНИТИ, 1973 272 с.

Институт механики АН Армянской ССР

Поступила в редакцию 7.V. 1983